

PRZEMYSŁ CHEMICZNY

ORGAN CHEMICZNEGO INSTYTUTU BADAWCZEGO I POLSKIEGO TOWARZYSTWA CHEMICZNEGO
WYDAWANY Z ZASIŁKIEM WYDZIAŁU NAUKI MINISTERSTWA WYZNAŃ RELIGIJNYCH I OŚWIECENIA PUBLICZNEGO

ROCZNIK XX

SIERPIEŃ — WRZESIEŃ 1936

8 — 9

REDAKTOR: PROF. DR. KAZIMIERZ KLING

SEKRETARZ: DR. LECH SUCHOWIAK

Barwienie lnu czerwienią Kongo

La teinture du lin au rouge Congo

Inż. ANDRZEJ KLECZKOWSKI

Zakład Chemii Fizycznej Uniwersytetu Poznańskiego

Nadeszło 21 stycznia 1936

Politechnika Wroclawska
Biblioteka Wydziału Chemicznego
Wybrzeże Śl. Wyspiańskiego 27
50-370 Wrocław
Tel. (071) 320-35-15

1. Wstęp.

Charakter koloidalny włókna i barwnika.

W ostatnich latach dało się zauważyć w przemyśle polskim duże zainteresowanie wyrobami lnianymi, uwidoczniające się szerszym zastosowaniem włókien lnianych do przemysłu tekstylnego. Zastosowanie to ma na celu zużytkowanie produktu krajowego i zmniejszenie przez to importu bawełny, którą len, choć częściowo ma zastąpić.

Równocześnie z tem, wystąpiły jednak pewne trudności natury technicznej, w szczególności w barwieniu tkanin lnianych.

Porównując bowiem procesy barwienia lnu i bawełny, napotykamy na stosunkowo duże różnice w przyjmowaniu barwnika przez włókna. Włókna lniane barwią się gorzej od włókien bawełnianych.

Różnice te, w pierwszym rzędzie zależne są od samej budowy morfologicznej włókien lnu i bawełny.

Jak wynika z badań przeprowadzonych na bawełnie przez M. Lüdtkego¹⁾*) i dla lnu podanych przez J. Wiertelaka²⁾, różnice w budowie morfologicznej obu włókien są znaczne.

Lodyga lnu poddana fermentacji lub innym zastępującym ją procesom (T. P. Haughey³⁾ i D. R. Nanji i D. M. Stewart⁴⁾), dostarcza właściwych włókien lnianych dla przemysłu włókienniczego. Włókna te, jak podaje J. Wiertelak²⁾, składają się z pojedynczych włókienek o długości 30—45 mm, a średnicy 0,030 do 0,025 mm.

Włókno lniane przedstawia, podobnie jak bawełna, budowę spiralną z tą tylko różnicą, że fibryle lnu według A. Nowakowskiego⁵⁾ skręcone spiralnie pod kątami 10° i 5°, przedstawiają kąt mniejszy, niż fibryle bawełny.

Równolegle z mniejszym kątem nachylenia występuje większa spoistość włókna, sa-

me fibryle lniane, złożone są, jak podaje w swych badaniach rentgenowskich A. Nowakowski⁵⁾, z kryształków celulozy, nazwanych przez R. O. Herzoga⁶⁾ krystalitami, lub micelami.

W stosunku więc do spoistości włókna, reakcje chemiczne lub chemiczno-koloidalne będą przez większą spoistość utrudniane i na odwrót. Wykazał to już w swych pracach E. Elöd⁷⁾ podając, że włókna lniane trudniej ulegają estryfikacji, niż bawełniane, pomimo, że identyczność komórki elementarnej celulozy bawełny i lnu została stwierdzona przez J. Sandersa i F. Camerona⁸⁾.

Dotychczas stosunkowo mało zajmowano się zagadnieniem barwienia lnu z punktu widzenia fizyko-chemicznego.

W związku z tem wykonałem szereg pomiarów adsorpcji, względnie barwienia lnu czerwienią Kongo jako barwnikiem bezpośrednim, które, stanowią tylko część moich doświadczeń nad barwieniem lnu, w tej pracy jednak nie podanych.

Można śmiało powiedzieć, że podczas barwienia włókien roślinnych barwnikami bezpośrednimi—mamy do czynienia z dwiema substancjami koloidalnymi.

C. Nägeli⁹⁾, już w roku 1870, wypowiedział twierdzenie, że substancja uorganizowana, nie przedstawia połączeń cząsteczkowych, lecz stanowi zespół wielu grup cząsteczkowych, nazwanych przez niego micelami, które przy pęcznieniu mniej lub więcej do siebie zbliżają się lub oddalają. Woda nie przenika do miceli samej, lecz wchodzi pomiędzy micelle. W roztworze substancje uorganizowane nie przedstawiają się pod formą dyspersyj molekularnych, lecz w stanie koloidalnym. Większe micelle rozdziela się i tworzą tak zwany dziś roztwór koloidalny.

Wszystkie włókna roślinne, a więc także i len, mają podobną budowę.

Nowsze prace R. O. Herzoga¹⁶⁾ potwierdzają teorię koloidalnego układu włókna lnianego.

*) Literatura podana jest na końcu pracy.

Podobnie i barwniki bezpośrednio mogą być podciągnięte pod roztwory koloidalne.

P. Ruggli¹⁰⁾ oznaczył, że naogół wszystkie barwniki bezpośrednio—a więc także i czerwien Kongo, są koloidami. Roztwory wodne mogą być dializowane i pod wpływem różnych czynników, zmieniają stopień dyspersji. To też Teague i Buxton¹¹⁾, zarówno jak Pelet i Jolivet¹²⁾, umieścili barwniki bezpośrednio w grupie barwników nie przechodzących podczas dializy.

Wo. Ostwald i A. Quast¹³⁾ określili barwniki bezpośrednio, jako stanowiące przejście—co do wielkości cząstek w roztworze—pomiędzy roztworami w ścisłym tego słowa znaczeniu, a roztworami koloidalnymi.

Stopień dyspersji, jak to już zauważono, może zmieniać się dla barwników bezpośrednio, pod wpływem różnych czynników. Tak np. wpływ temperatury na wielkość cząstek czerwieni Kongo został już stwierdzony przez R. Hallera¹⁴⁾. Zauważył on, że czerwien Kongo, rozpuszczona na zimno w wodzie i ultrasączona, dawała roztwór o wysokim stężeniu micelarnem—podczas gdy ta sama ilość czerwieni Kongo, rozpuszczona w gotującej się wodzie i przesączona, wykazała mniejszą liczbę cząstek nieprzechodzących przez ultrasączek.

Nietylko zmiana temperatury wpływa na wielkość cząstek czerwieni Kongo w roztworze. Wibitną rolę grają tu elektrolity. Badania Hallera i Nowaka nad zmianami się wielkości cząstek, wykazały, że małe ilości soli w roztworze barwnika, zwiększają stopień jego dyspersji, a większe zmniejszają go, powodując nawet koagulację.

Prace Wo. Ostwalda i A. Quasta¹⁵⁾ wykazały również, że w różnoprocentowych roztworach wody i alkoholu, czerwien Kongo, w nich rozpuszczana, występuje pod postacią cząstek o różnej wielkości. Do oznaczania wielkości cząstek używali Wo. Ostwald i A. Quast metody dyfuzji barwników w wodzie.

Przystępując więc do zagadnienia barwienia lnu przez barwniki bezpośrednio, zauważyć trzeba, że ma się tu do czynienia z reakcjami koloido-chemicznymi. Systematyczne badania barwienia natrafiają na duże trudności. Charakter koloidalny barwnika, jak też i samego włókna, wymaga zwrócenia szczególnej uwagi na liczne czynniki, mogące ten stan zmieniać. Z drugiej strony—jak słusznie zauważył W. Weltzien¹⁷⁾, czynniki te, mogą być mało znanej natury koloidalnej.

Teorie barwienia barwnikami bezpośrednio.

Istnieją różne teorie barwienia barwnikami bezpośrednio, z których wymienić można teorie:

- 1) połączeń chemicznych między barwnikiem a włóknem,
- 2) adsorbcji barwnika przez włókno,
- 3) rozpuszczalności barwnika w włóknie.

Adsorbcję zazwyczaj interpretujemy jako zwiększenie stężenia na granicy powierzchni zetknięcia adsorbentu z adsorbentem.

Każda z wyżej wymienionych teorii może przedstawiać pewną wartość—lecz nie można wykluczyć tego, że w procesie barwienia różne zjawiska mogą oddzielnie, kolejno, lub nawet równocześnie występować, ułatwiając barwienie.

Według N. J. Duclaux¹⁸⁾, barwnik w procesie barwienia rozpuszczałby się w celulozie. Badania roentgenograficzne F. Bion¹⁹⁾, wykazały, że organiczne barwniki, przedstawiające interferencję krystaliczną, zdają się być adsorbowane, albo rozpuszczone w powierzchniowej warstwie miceli tak, że nie przedstawiają już interferencji.

P. Ruggli¹⁰⁾ wyklucza istnienie samej adsorbcji barwnika przez bawełnę. Według niego bawełna barwiona przez czerwien Kongo powinna ulegać wypłokaniu z barwnika po barwieniu, co niema miejsca. Jest możliwe zmniejszenie się stopnia dyspersji po adsorbcji, lub „mechaniczna koagulacja” w sensie G. Wiegnera, J. Magasanika i H. Gessnera²⁰⁾.

Czynników wpływających na barwienie włókna jest dużo. Przytoczyć można już to, że każda zmiana temperatury kąpieli wpływa znacznie na barwienie. R. Auerbach²¹⁾ przytacza w swych pracach ten czynnik, podając optymalny stopień dyspersji barwnika dla barwienia włókien, który osiągnąć można przez optymalną temperaturę kąpieli. Cząstki barwnika w roztworze, posiadające odpowiednią wielkość, według R. Hallera¹⁴⁾, który stosuje w swej pracy teorię Nägeliego, mogą dostać się do wnętrza włókna—a nawet w przestrzenie intermicelarne i w ten sposób następuje barwienie. Innymi słowy, stopień dyspersji barwnika odgrywałby główną rolę, podobnie jak w założeniu R. Auerbacha²²⁾, który podaje w swojej pracy tabelę dyfuzji różnych barwników, dzieląc je z kolei na grupę szybko dyfundujących (3,0 mm na dzień w 20°), a zarazem łatwo barwiących—i na grupę barwników wolno dyfundujących (0,9 mm na dzień), które trudniej barwią bawełnę.

W. Weltzien i K. Schultze²³⁾ twierdzą, że w barwieniu, główną rolę gra nietyle stopień dyspersji barwnika—ile jego konstytucja. Jednak według P. Ruggli¹⁰⁾ konstytucja ma bezpośredni związek ze stopniem dyspersji barwnika.

Jak już wynika z wyżej wymienionej teorii Nägeliego i R. Hallera, też i wielkość kanalików w włóknie odgrywa rolę w barwie-

niu, jeżeli przyjmiemy temperaturę barwienia za stałą, a co zatem idzie stałą dyspersję, a więc i wielkość cząstek barwnika w roztworze wodnym. W związku z tem R. Bartunek²⁴⁾ wydał pracę o barwieniu bawełny, lnu i konopij—i wykazał, że włókna te przyjmują w barwieniu różne ilości tego samego barwnika—przy identycznych warunkach barwienia. Autor tłumaczy to różnicami wielkości kanalików, a nawet różnym oddaleniem od siebie cząsteczek włókna.

W. Weltzien¹⁷⁾ podaje, że już przy czyszczeniu włókna występuje korozja włókna, a z nią i zmiana powierzchni nawet wewnętrznych. CO_2 z powietrza, jak i inne kwasy, łączące się z celulozą, według tego samego autora, odgrywają pewną rolę.

W przypadku wolnych od soli barwników wylania się jeszcze kwestja zawartości popiołu w włóknie—która jest zależna od czyszczenia i płókania włókien, o czem mówi W. Weltzien i Schulze²³⁾, a jeszcze wcześniej stwierdzają to na innych przykładach P. Rona i L. Michaelis²⁵⁾, jak również J. M. Kolthof²⁶⁾.

Chcąc więc uzyskać warunki niezmiennie we wszystkich pomiarach adsorpcji—względnie barwienia—powinno się w szczególności używać jednakowych roztworów barwnika i włókien roślinnych ściśle określonych i oczyszczanych w identycznych warunkach—a najlepiej pochodzących z jednej i tej samej serji czyszczenia.

II. CZĘŚĆ DOŚWIADCZALNA

A. Preparatyka

Preparatyka lnu.

Len, którego używałem w ciągu moich badań, był sprowadzony z Centrali Spółdzielni Rolniczo-Handlowej w Wilnie.

Był on w postaci włókien dartych z kory, lecz nieczyszczony chemicznie. Len ten poddałem najpierw czyszczeniu mechanicznemu. Przez wstrząsanie, czesanie i wybieranie pozostałych paździerz, uzyskałem czyste włókno lniane, które z kolei poddałem czyszczeniu chemicznemu.

Czyszczenie to, przeprowadzałem analogicznie do tego, które zastosował do bawełny A. Lottermoser i W. Hönsch²⁷⁾, z tą tylko różnicą, że roztworu sody użyłem 2,5% a nie 5%, aby zmniejszyć możliwość utworzenia oksycelulozy. Len poddawałem moczeniu w autoklawie, w 2,5% roztworze Na_2CO_3 , pod ciśnieniem 1,5 atm, przez 2 godz. Następnie po wypłókanii lnu w płynącej wodzie, gotowałem go przez 2 godz. w roztworze mydła marsylskiego. Celem usunięcia wosku i tłuszczów, moczyłem len przez 1 godz. w 96% alkoholu, a następnie, tak długo w wodzie gotowałem, aż nie było za-

pachu alkoholu. Zkolei poddałem go płókanii w płynącej wodzie przez dwa dni. Len suszyłem w suszarce w 30°, a następnie pozostawiałem na powietrzu, aby mógł osiągnąć właściwą sobie zawartość wody.

Jak wynika z prac A. Lottermosera i W. Hönscha, zawartość wody włókna pozostaje niezmienna. Len w ten sposób oczyszczony, lecz niebielony był w ciągu mej pracy z jednej i tej samej próby używany. Zaznaczam to dlatego, że len, jako materiał wyjściowy, był we wszystkich następnych doświadczeniach moich przyjmowany za identyczny.

Preparatyka roztworów barwnika.

Jako barwników, używałem do mej pracy specjalnie czystych barwników „Ciba”, dostarczonych mi przez Pabjanickie Towarzystwo Przemysłu Chemicznego.*)

W ciągu moich doświadczeń, starałem się uniknąć możliwie, wszelkich czynników zmieniających wielkość cząstek barwnika w roztworze, a pozostawić jedynie wpływ temperatury rozpuszczania barwnika w wodzie.

Mając na celu wykazanie ewentualnych wpływów wielkości cząstek tego samego barwnika, na barwienie włókien lnianych, musiałem uzyskać roztwory czerwieni Kongo o temsamem stężeniu, lecz różnych wielkościach cząstek, w stale tej samej temperaturze kąpieli barwnika.

Używając do barwienia roztworu czerwieni Kongo bez dodatku soli, nie mogłem wpływać dodatkiem elektrolitów do roztworu, na zmianę wielkości cząstek barwnika. Wobec tego, zmieniałem jedynie temperaturę rozpuszczania barwnika w wodzie, w granicach od 20°—90°.

Aby możliwie jaknajbardziej i najdłużej zachować w normalnej temperaturze warunki uzyskane przy rozpuszczaniu barwnika w temperaturach wyższych, roztwory barwnika poddawałem nagłemu chłodzeniu.

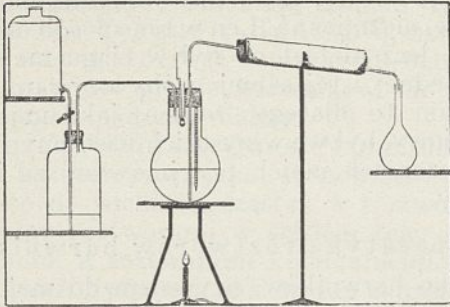
Aparatura i metoda preparatyki roztworów.

Aparatura, która służyła mi do tego celu, była następująca:

Jenajska kolba 2 litrowa (rycina 1), zatkana była korkiem gumowym z trzema otworami. Przez jeden z nich przechodziła aż do dna rurka ze szkła jenajskiego, prowadząca do metalowej chłodnicy, w której znajdowała się mieszanina lodu ze solą, mająca na celu chłodzenie przepływającego przez chłodnicę, już gotowego roztworu barwnika. Rurka ta, wychodząca z kolby i przechodząca przez

*) Za bezinteresowne dostarczenie barwników do moich badań składam na tem miejscu Szan. Zarządowi Pabjanickiego Tow. Przemysłu Chemicznego serdeczne podziękowanie.

plaszcz metalowy chłodnicy, była zrobiona z jednej całości, aby uniknąć zetknięcia się roztworu barwnika, z ewentualnymi połączeniami gumowymi rurki. Poza chłodnicą znajdowała się kolba miarowa na 1 litr, do której zbierany był roztwór czerwieni Kongo.



Rycina 1.

Przez inny otwór w korku gumowym kolby przechodziła druga rurka, kończąca się w kolbie tuż poza korkiem. Przez rurkę tę w odpowiedniej chwili wpuszczałem powietrze z dwóch naczyń połączonych, mając na celu wytworzenie nadciśnienia w kolbie, aby przeprowadzić roztwór barwnika przez chłodnicę, do kolby miarowej.

W trzecim otworze korka, znajdowała się szersza rurka szklana, do której dopasowane było naczynko ze szkła jenajskiego (rycina 2) zamknięte korkiem, do którego przymocowany był drut. W ten sposób, nie otwierając kolby, można było w dowolnej chwili, przez pociągnięcie drucika odkorkować naczynko i zarazem je uwolnić. Naczynko z barwnikiem spadało wtedy do znajdującej się w odpowiedniej temperaturze wody.

Technika preparatyki była następująca:

Do kolby nalewałem 800 cm³ wody, podwójnie przez srebrną chłodnicę destylowanej i nad poziomem tej wody, w zamkniętym naczynku, umieszczałem 0,20 g czerwieni Kongo poprzednio odważonej.

W kolbie znajdował się termometr przymocowany do wewnętrznej powierzchni korka. Kolba z wodą grzana była przez płytkę azbestową palnikiem gazowym do temperatury 20°, 50° lub 90°. Po osiągnięciu wymaganej temperatury i odczekaniu przez około 1 godz., aby temperatura się ustaliła, przez pociągnięcie drucika otwierałem i uwalniałem zawieszone naczynko z czerwienią Kongo. W ten sposób, barwnik był rozpuszczony w ściśle określonej i stałej temperaturze.

Czas rozpuszczania barwnika w kolbie był w temperaturze 20°—4 godz., w 50°—3 godz., w 90°—2 godz.

Po upływie przewidzianego czasu rozpuszczania plyn podnosił się w rurce (skutkiem utworzenia nadciśnienia w kolbie), i przechodził przez chłodnicę do kolby miarowej.

Kolba, zarówno jak i rurka były następnie przepłukiwane wodą podwójnie destylowaną, aby zebrać do kolby miarowej pozostały roztwór czerwieni Kongo. Kolba miarowa była w końcu dopełniana do kreski w termostacie w 20°.

B. Wielkość cząstek w roztworze.

Oznaczanie wielkości cząstek; dyfuzja.

Roztwory czerwieni Kongo w ten sposób otrzymane, zostały poddane szeregowi badań, mających na celu oznaczenie wielkości ich cząstek.

Cząstki czerwieni Kongo nie przechodziły przez ultraszczelki kolodionowy, sporządzony według przepisu A. Gałęckiego²⁸⁾.

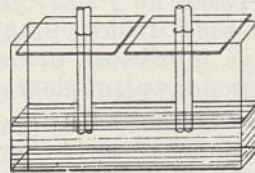
Pod ultramikroskopem cząstki czerwieni Kongo były widoczne.

Do właściwych pomiarów wielkości cząstek, użyłem metody dyfuzji, podobnie jak Wo. Ostwald. (loc. cit.)

Jako ośrodek dyfuzji obrałem wodę podwójnie destylowaną, czyli ośrodek właściwy roztworu czerwieni Kongo. Do tego celu użyłem naczynka prostokątnego szklanego o wymiarach: długości: 5,7 cm, szerokości: 1,9 cm, wysokości: 6,5 cm. Naczynko to zawierało 18,5 cm³ badanego roztworu.

Dopasowano doń dwie pary rurek szklanych, o średnicy 2 mm, tak, aby, zawieszony na górnych ściankach naczynka, sięgały do równej głębokości. Każda para rurek, zatopionych z jednej strony, składała się z jednej rurki otworem na dół zwróconej, a drugiej—ku górze. Obie rurki były w swej górnej części sklezione lakiem i zawieszony na płytce szklanej w ten sposób, aby znajdowały się w samym środku odstępu, znajdującego się pomiędzy dwiema równoległymi, bliższymi, ściankami naczynka.

Ponieważ oddalenie rurek od ścianek naczynka było dość duże, mogłem w ten sposób łatwiej uniknąć prądów konwekcyjnych, mogących mieć wpływ na dyfuzję.



Rycina 3.

Rurkę zwróconą otworem ku dołowi napełniałem wodą (podwójnie destylowaną) o temperaturze 20°, w której następnie odbywała się dyfuzja.

Druga rurka, porównawcza, napełniana była tym samym roztworem czerwieni Kongo, tylko czterokrotnie rozcieńczonym.

Naczynko do pomiarów dyfuzji było umieszczone w termostacie szklanym, składającym się z trzech izolowanych korkami prostokątnych komór szklanych. W wewnętrznej komorze, na podstawie korkowej, umieszczone było samo naczynko.

Stałość temperatury została uprzednio stwierdzona.

Wysokość dyfuzji mierzyłem katetometrem ze szczeliną. Jako punkt zerowy przyjmowałem dolną, zanurzoną krawędź rurek, w których odbywała się dyfuzja. Obie rurki, będąc bardzo blisko siebie—zarówno jak i szczelina w katetometrze, ułatwiały ustalenie równych pól kolorowych w obu rurkach.

Czas trwania dyfuzji liczyłem od chwili zanurzenia rurek w roztworze.

Pomiary i obliczenia dyfuzji.

Do moich pomiarów, jako czas dyfuzji, obrałem 24 godz, a jako temperaturę 20°.

W obliczeniach używałem wzoru R. Fürtha²⁹⁾,

$$D = \frac{x^2}{t} f(v),$$

gdzie: D oznacza dyfuzję, x —wysokość (w mm) dyfuzyjnego wzniesienia barwnika w rurce, t —czas (w sek) trwania dyfuzji, a $f(v)$ —funkcję rozcieńczenia roztworu w rurce porównawczej.

W obliczeniu dyfuzji przyjąłem zastrzeżenie R. Fürtha, że funkcję rozcieńczenia zakłada się i oblicza podwójnie. W moim wypadku czterokrotnego rozcieńczenia wziąłem więc z tablic R. Fürtha (loc. cit.)

nie $f(4v)$ lecz $f(8v)$.

$$f(8v) = 0,379.$$

Do obliczenia wielkości cząstek użyłem wzoru Einsteina-Smoluchowskiego³⁰⁾:

$$D = \frac{R}{N} T \frac{1}{6 \cdot \eta \pi a},$$

gdzie D oznacza dyfuzję, $R=1,99$, $N=6,06 \cdot 10^8$, T —temperatura Kelvina, η —lepkość ośrodka dyfuzji, a —średnica cząstki.

Jako η dla wody w temperaturze 20°, przyjąłem 0,010143.

W niżej podanej tabelicy, umieściłem uzyskane wyniki pomiarów dyfuzji, przeprowadzonych na trzech roztworach czerwieni Kongo, o stężeniu 0,20 g/l. Czerwień Kongo w poszczególnych roztworach była w innej temperaturze rozpuszczana.

Dla każdego roztworu czerwieni Kongo, przeprowadzałem równocześnie dwie próby dyfuzji i dla każdej z nich robiłem 10 odczytań na katetometrze.

TABLICA 1.

Czerwień Kongo: Stężenie 0,20 g/l. Temper. dyf. 20°.

Temperatura rozpuszczania barwnika	wysokość dyfuzji x w mm	dyfuzja 20°	średnica cząstek a w μ
20°	6,80	2,028	2,511
50°	7,52	2,481	2,030
90°	8,21	2,957	1,703

Według zestawienia, umieszczonego w tabelicy 1, otrzymałem 3 roztwory, o wielkości cząstek w granicy od 1,703 μ do 2,511 μ .

Wielkość cząstek zmienia się jednak z biegiem czasu i tak np. wykonane przezemnie pomiary dyfuzji po 7 dniach, na roztworze czerwieni Kongo rozpuszczanej w 50°, a zawierającej cząstki o średnicy 2,030 μ , wykazały, że cząstki się zwiększyły. Wysokość wzniesienia barwnika po tym czasie zmniejszyła się do 6,49 mm, a średnica cząstek wynosiła 2,499 μ .

Ponieważ roztwory te, służyły mi do barwienia lnu i pomiarów adsorbencji czerwieni Kongo przez len, dyfuzję nastawiałem w ten sposób, aby mniej więcej w połowie czasu trwania dyfuzji móc zrobić pomiary adsorbencji badanego roztworu i uzyskać przeto średnią wielkość cząstek, gdyby nawet, w czasie dyfuzji, mogły zająć zmiany wielkości cząstek w roztworze. W ten sposób, mogłem przyjąć wielkość cząstek w używanym do adsorbencji roztworze za odpowiadającą wynikom pomiarów dyfuzji.

Jakby wynikało z wyżej wymienionych pomiarów wielkości cząstek za pomocą dyfuzji, wielkość cząstek w moich roztworach byłaby w granicach od 1,703 μ do 2,511 μ , średnicy, ale nie więcej. Stoi to jednak w pewnej sprzeczności z poprzednio robionymi przezemnie próbami. I tak, roztwór czerwieni Kongo, zawierający nawet te największe cząstki, winien być przecież amikroskopowy. Mojem zdaniem, dałoby się tę sprzeczność wytłómaczyć.

W. Weltzien i K. Schulze podają, że roztwory barwników bezpośrednich przedstawiają układ poldispersyjny. Podobnie R. Haller jeszcze wcześniej zauważył, że czerwień Kongo w roztworze wodnym zawiera tylko część cząstek o wielkościach micelarnych—podczas gdy reszta jest amikronowa

Można więc wytłómaczyć, dlaczego pod ultramikroskopem widoczne są cząstki czerwieni Kongo. Widoczną jednak, byłaby tylko ta część cząstek, które według R. Hallera, posiadają wielkość micelarną.

W drugim przypadku, to znaczy przy ultrasączeniu roztworu czerwieni Kongo, mogłoby być możliwym, że następuje pewien związek chemiczny między barwnikiem a

sączkiem kolodjonowym, lub zachodzi adsorb-
cja barwnika. W danym przypadku, cząstki
amikronowe też przez sączek nie przechodzi-
łyby.

Wreszcie „mechaniczna koagulacja”, w
sensie G. Wiegnera, J. Magasanika i H.
Gessnera, mogłaby też być wzięta pod
uwagę.

Wracając do pomiarów dyfuzji, R. Auer-
bach³¹⁾ wykazał już w swoich pracach nad
dyfuzją w żelatynie, że im cząstki w roz-
tworze są większe, tem trudniej difundują—
i na odwrót.

Roztwór czerwieni Kongo, będąc poli-
dispersoidem, zawiera cząstki o różnych
wielkościach, to też cząstki te różnie będą
dyfundowały. W pomiarach dyfuzji domi-
nującą rolę odgrywać będą cząstki najmnie-
jsze, podczas gdy cząstki większe, grać będą
rolę tylko drugorzędną. Wynika więc z te-
go, że obliczając wielkość cząstek polidysper-
soidu metodą dyfuzji, przyjąć musimy tyl-
ko pewną średnią, uzyskaną z pomiarów,
która niekoniecznie musi przedstawiać śred-
nią wielkości wszystkich cząstek w roztwo-
rze badanym.

Równoległe do oznaczeń wielkości cząstek metodą dy-
fuzji barwnika wykonałem szereg pomiarów te-
żże wielkości cząstek, posługując się ultramikroskopem kardiodowym.

Podaję poniżej dla porównania wyniki trzech pomiarów
ultramikroskopowych dla barwnika rozpuszczonego w wo-
dzie.

Dla każdego oznaczenia brałem trzy próby i w każdej
z nich robiłem 10 liczeń cząstek, znajdujących się w 100
różnych polach, określonych przez siatkę mikrometryczną
okularową ultramikroskopu. Siatka wraz z głębokością sto-
sowanej kiuwetki określała objętość, w której oznaczałem liczbę
cząstek czerwieni Kongo. Objętość ta wynosiła: $8,5 \times 8,5 \times 3,5 \mu$.

Do obliczenia wielkości cząstek użyłem wzoru R. Zsig-
mondiego:

$$l = \sqrt[3]{\frac{A}{s \cdot n}}$$

gdzie: l oznacza wielkość linową cząstki;
 A —stężenie (w gramach) czerwieni Kongo w wyżej
podanej objętości;
 s —ciężar właściwy czerwieni Kongo;
 n —liczbę cząstek przypadających na daną objętość.

Stężenie roztworów było 0,20 g czerwieni Kongo na
1 l wody.

Dla barwnika rozpuszczanego w 20° otrzymałem:

$$\begin{aligned} n &= 0,165 \\ A &= 5,0575 \times 10^{-13} & l &= 56,15 \text{ m}\mu \\ s &= 1,742 \end{aligned}$$

Podobnie dla barwnika rozpuszczanego w 50°:

$$\begin{aligned} n &= 0,23 \\ A &= 5,0575 \times 10^{-13} & l &= 50,16 \text{ m}\mu \\ s &= 1,742 \end{aligned}$$

a wreszcie dla barwnika rozpuszczanego w 90°:

$$\begin{aligned} n &= 0,329 \\ A &= 5,0575 \times 10^{-13} & l &= 43,98 \text{ m}\mu \\ s &= 1,742 \end{aligned}$$

Ponieważ nie znalazłem w tablicach danych liczbowych
na ciężar właściwy czerwieni Kongo, więc musiałem sam
oznaczyć tę wartość ($s=1,742$).

Do tego celu posługiwałem się piknometrem Regnault a,
o pojemności 10 cm^3 , porównując ciężar czerwieni Kongo
z ciężarem czystego oleju rycynowego.

Pomimo, że czerwień Kongo nie rozpuszcza się w chlo-
roformie, eterze, toluenie, ksylenie i innych pochodnych ben-
zenu, nie mogłem jednak użyć tych odczynników, a to z dwóch
przyczyn:

1. na ogół są one bardzo łatwo parującymi cieczami;
2. woda, którą w sobie zawierają rozpuszcza czerwień
Kongo.

Aby zaś uzyskać ciecze zupełnie bezwodne, trzeba by
przejsz przez bardzo długie i mozolne przygotowania.

Ponieważ olej rycynowy nie rozpuszcza czerwieni Kon-
go i nie ulega szybkiemu parowaniu, użyłem go więc do
oznaczenia ciężaru właściwego czerwieni Kongo.

Do tego celu zastosowałem następującą metodę.

W piknometrze, poprzednio odważonym, umieszczałem
około 1 g czerwieni Kongo sproszkowanej i ważyłem na wa-
dze analitycznej, poczem zalewałem barwnik olejem rycyno-
wym, mniej więcej do połowy piknomietru.

Olej rycynowy był poprzednio przez dwa dni pozostawio-
ny w eksykatorze pod próżnią — aby uwolnić go od znaj-
dujących się w nim bąbelków powietrza.

Po zalaniu barwnika olejem rycynowym — z tychsamych
co poprzednio względów — pozostawiałem otwarty pikno-
metr w eksykatorze pod próżnią, przez 1 dzień. Piknometr
napeniałem olejem rycynowym tylko do połowy z tego po-
vodu, że pod próżnią powietrze zawarte w barwniku, wydo-
bywając się nagle na zewnątrz, mogło spowodować wylanie
się oleju z barwnikiem.

Po upływie jednego dnia bańki powietrza już się nie
wydobywały. Dolewałem wtedy do pełniści oleju rycynowe-
go i znowu pozostawiałem przez $\frac{1}{2}$ dnia w eksykatorze pod
próżnią.

Po tym czasie, umieszczałem piknometr w termostacie
w 20° i pozostawiałem go przez $\frac{1}{2}$ godz., aby uzyskać odpo-
wiadającą tej temperaturze zawartość w piknometrze oleju
rycynowego.

W ten sposób napełniony piknometr, ważyłem wraz
z barwnikiem i olejem.

Osobno odważałem tensam piknometr, napełniony w
20° samym olejem rycynowym, też uwolnionym od powietrza
w nim zawartego.

Ciężar właściwy oleju rycynowego oznaczyłem w 20°,
przez porównanie go z ciężarem właściwym wody destylo-
wanej.

Podaję poniżej liczby uzyskane z ważenia wody i oleju
w piknometrze:

piknometr sam	18,9944 g
piknometr+woda	9,0189 g
piknometr+olej rycynowy	9,4014 g

stąd ciężar właściwy oleju rycynowego:

$$d_{200} = 0,9616.$$

Przechodząc z kolei do oznaczania ciężaru właściwego
czerwieni Kongo, podaję niżej dwa wyniki pomiarów:

	I	2
piknometr sam	20,0617	18,9931
piknometr+barwnik	19,1182	18,0350
piknometr+barwnik+olej	10,1005	9,0152
piknometr+olej	10,4810	9,4014

Po obliczeniu otrzymałem ciężar właściwy czerwieni
Kongo w 20°, w stosunku do oleju rycynowego:

$$d'_{200} = 1,6758 \text{ i } 1,6753$$

przyjmując dla oleju rycynowego: $d_{200} = 0,9616$; ciężar
właściwy czerwieni Kongo będzie:

$$d_{200} = 1,7426 \text{ i } 1,7421.$$

C. Adsorbacja czerwieni Kongo przez len.

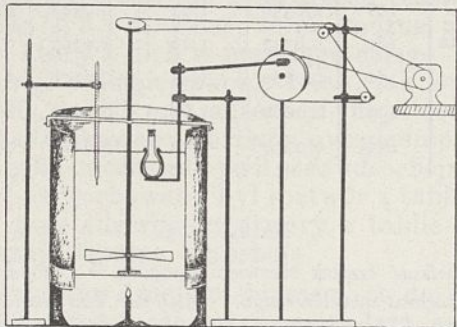
Technika pomiarów adsorbacji.

Do badań i pomiarów adsorbacji czerwieni
Kongo przez len używałem stale—jak to już

nadmieniłem—tego samego włókna lnianego, w tej samej ilości 2 g na jedną próbę i czerwieni Kongo „Ciba”.

Technika pomiarów adsorbcji była następująca.

Barwienie lnu przeprowadzałem w specjalnie do tego celu dostosowanym termostacie wodnym (rycina 4). W termostacie, poniżej poziomu wody, zanurzony był koszyk, składający się z metalowej podstawy i czterech odpowiednio wygiętych sprężyn stalowych, mających na celu przytrzymywanie kolby szklanej, w której odbywała się adsorbcja.



Rycina 4.

Koszyk ten wraz z kolbą szklaną, był wprawiany w ruch wahadłowy za pomocą specjalnych przekładni i koła ekscentrycznego, poruszanego przez motorek. Transmisja motorku, oprócz koła ekscentrycznego, poruszała równocześnie mieszkadło w termostacie. Dzięki ruchowi wahadłowemu koszyka barwnik wraz z lmem, znajdującym się w kolbie, był przez cały czas adsorbcji wstrząsany w stałej temperaturze. Termostat był ogrzewany palnikiem gazowym.

Przebieg samej adsorbcji był następujący:

Do 300 cm³ kolby ze szkła jenajskiego, zamkniętej korkiem, nalewałem 200 cm³ roztworu czerwieni Kongo, o stężeniu 0,20 g/l i umieszczałem w termostacie, ogrzanym już poprzednio do temperatury 20°. Aby barwnik nabrał odpowiedniej temperatury, kolba z barwnikiem wstrząsana była przez kwadrans w termostacie. Po upływie tego czasu za pomocą pręcika szklanego zanurzałem w barwniku 2 g lnu i, począwszy od chwili zanurzenia, liczyłem czas adsorbcji.

O oznaczonym czasie pobierałem z kolby próby po 10 cm³, celem oznaczenia stężenia barwnika w kąpieli. Próby te pobierałem po 10 min, 30 min, 1 godz, 1½ godz, 2 godz. i 3 godz. od chwili zanurzenia lnu w barwniku.

Do pobierania prób używałem za każdym razem tej samej pipety, aby zmniejszyć możliwie błędy, mogące powstać przez pobieranie nierównej liczby cm³ roztworu.

Każdą próbę odwirowywałem na centrifudze ręcznej, aby osadzić na dnie unoszące

się w roztworze barwnika drobne włókna lniane. W tej centrifudze roztwór barwnika pozostawał bez zmiany. W centrifudze elektrycznej o 8000 obrotach cząstki czerwieni Kongo z mego roztworu także nie osiadają na dnie próbowek.

Po odcentryfugowaniu, z tych samych co poprzednio względów stale tą samą pipetą, pobierałem z górnych warstw 5 cm³ roztworu. W tych 5 cm³ oznaczałem stężenie roztworu czerwieni Kongo, istniejące w kolbie po określonym czasie adsorbcji.

Metoda miareczkowania.

Do oznaczania stężenia czerwieni Kongo, użyłem podobnie jak A. Lottermoser i A. Csallner³²), metody miareczkowania czerwieni Kongo błękitem metylenowym. Zasadą tej metody jest zmiana barwy, w czasie dolewania błękitu metylenowego do czerwieni Kongo, czerwonej na niebieską, przez bezbarwny roztwór. Odbarwienie następuje w chwili zobojętnienia czerwieni Kongo przez błękit metylenowy. Przejście do roztworu bezbarwnego jest jednak bardzo trudne do uchwycenia z powodu osadu, który powstaje w czasie zobojętniania i to tem trudniejsze, im bardziej stężony jest roztwór czerwieni Kongo. Osad ten nie opada zaraz na dno naczynia, lecz tworzy zawiesinę koloru fioletowego, która utrudnia bardzo obserwację roztworu—a w szczególności jego barwy.

Aby uniknąć tej niedogodności i przyspieszyć zarazem pomiary, zastosowałem do miareczkowania zjawisko flotacji. Jako czynnika flotującego osadu czerwieni Kongo i błękitu metylenowego, użyłem specjalnie czystej, obojętnej nafty.

Sposób postępowania obrałem następujący: 5 cm³ badanego roztworu czerwieni Kongo nalewałem do próbki ze szkła jenajskiego z doszlifowanym korkiem, o pojemności około 30 cm³ i dolewałem do niego, też stale tą samą pipetą, 5 cm³ roztworu błękitu metylenowego, o stężeniu 0,20 g/l, a rozpuszczonego w wodzie podwójnie destylowanej. Ponieważ ciężar cząsteczkowy czerwieni Kongo jest 696,19, zaś błękitu metylenowego 319,67 a jedna cząsteczka czerwieni odpowiada dwóm cząsteczkom błękitu, dla roztworu czerwieni Kongo o stężeniu 0,20 g/l, te 5 cm³ błękitu, dolane, stanowią pewien nadmiar. Nadmiar ten dawał roztworowi zabarwienie niebieskie.

Po odczekaniu, aby osad się utworzył, dolewałem wody destylowanej około 5 cm³ i 2 cm³ nafty. Po zatknięciu próbki korkiem silnie nią wstrząsałem, a następnie czekałem, aż cały osad wypłynął na powierzchnię roztworu. Pod pływającym na powierzchni osadem znajdował się roztwór zabarwiony na niebiesko. Nadmiar błękitu metylenowego

miareczkowałem roztworem czerwieni Kongo 0,20 g/l, posługując się do tego celu mikrobiureta z podziałką na 0,01 cm³.

Po każdym dolaniu czerwieni Kongo, wstrząsałem probówką i po odczekaniu, aż osad wypłynął na powierzchnię, obserwowałem zabarwienie cieczy, na tle mlecznej szybki. Zbliżając się do granicy zobojętnienia wprowadzałem po 0,01 cm³ czerwieni Kongo. Płyn znajdujący się w próbówce, w chwili zupełnego zobojętnienia był bezbarwny. Aby uniknąć ewentualnych błędów, mogących powstać w obserwacji odcienia cieczy, na który wpływać może odbłask kolorowego osadu, miareczkowałem stale w świetle dziennem.

Jedno takie miareczkowanie zabierało około 5 min czasu.

Stężenie roztworu czerwieni Kongo (5 cm³) (wagowo nastawionego) przyjmowałem za stałe. W ten sposób, przed każdym pomiarem adsorpcji 5 cm³ roztworu miareczkowałem i oznaczałem, ilu cm³ czerwieni Kongo odpowiada 5 cm³ roztworu błękitu metylenowego. W tej oznaczonej liczbie cm³ czerwieni Kongo przyjmowałem za stałe, stężenie odpowiadające roztworowi 0,20 g czerwieni, na 1 l wody.

W następnych więc miareczkowaniach, w ciągu adsorpcji, przyjmowałem do obliczeń ciężar cząsteczkowy czerwieni Kongo za 696,19, a ciężar cząsteczkowy błękitu metylenowego obliczałem na podstawie próbnego miareczkowania, stosowanego roztworu czerwieni Kongo.

W ten sposób chciałem uniknąć błędów, które mogła spowodować ewentualna zmiana roztworu błękitu metylenowego.

Obliczając stężenie po adsorpcji, trwającej 10 min, przyjmowałem ilość roztworu barwnika 200 cm³. Za każdą następną próbą, obliczałem stężenie początkowe kąpieli w stosunku do 190, 180, 170 i t. d. cm³, odliczając w ten sposób ilość roztworu czerwieni Kongo pobraną na każdą próbę.

Pomiary adsorpcji.

Przystępując do właściwych pomiarów adsorpcji czerwieni Kongo przez włókno lniane, zrobiłem próby barwienia roztworami barwnika, posiadającymi w roztworze o temsamym stężeniu różne wielkości cząstek.

Barwienie przeprowadzałem w roztworze wodnym barwnika bez dodatku soli. Do tego celu służyły mi poprzednio wymienione roztwory czerwieni Kongo.

Wyniki pomiarów podaję w tablicach 2, 3 i 4.

Jak widać z liczb podanych w tablicach, różnice w adsorpcji trzech roztworów czerwieni Kongo są małe i nieodpowiadają różnicom wielkości cząstek w roztworach.

TABLICA 2.

Wielkość cząstek czerwieni Kongo $a = 1,703 \text{ m}\mu$.
5 cm³ błękitu metylenowego. 5,53 cm³ czerwieni Kongo.

Czas adsorpcji	Kąpiel adsorbensu w cm ³	Czerwieni Kongo:			
		Zawartość w każdorazowej kąpeli			Ilość zaadsorbowana przez 1 g lnu
		przed adsorpcją	po adsorpcji		
		zużyto na miareczk. cm ³	czerwieni Kongo w g		
10 min	200	0,0400	0,84	0,0375	0,0012
30 „	190	0,0356	1,02	0,0342	0,0019
1 godz	180	0,0323	1,26	0,0307	0,0027
1,5 „	170	0,0290	1,43	0,0278	0,0033
2 „	160	0,0262	1,63	0,0249	0,0039
3 „	150	0,0234	1,96	0,0214	0,0049

TABLICA 3.

Wielkość cząstek czerwieni Kongo $a = 2,030 \text{ m}\mu$.
5 cm³ błękitu metylenowego. 5,59 cm³ czerwieni Kongo.

Czas adsorpcji	Kąpiel adsorbensu w cm ³	Czerwieni Kongo:			
		Zawartość w każdorazowej kąpeli			Ilość zaadsorbowana przez 1 g lnu
		przed adsorpcją	po adsorpcji		
		zużyto na miareczk. cm ³	czerwieni Kongo w g		
10 min	200	0,0400	0,85	0,0379	0,0010
30 „	190	0,0360	1,06	0,0344	0,0018
1 godz	180	0,0326	1,31	0,0308	0,0027
1,5 „	170	0,0291	1,49	0,0278	0,0033
2 „	160	0,0262	1,67	0,0250	0,0039
3 „	150	0,0235	2,07	0,0211	0,0051

TABLICA 4.

Wielkość cząstek czerwieni Kongo: $a = 2,511 \text{ m}\mu$.
5 cm³ błękitu metylenowego. 5,59 cm³ czerwieni Kongo.

Czas adsorpcji	Kąpiel adsorbensu w cm ³	Czerwieni Kongo:			
		Zawartość w każdorazowej kąpeli			Ilość zaadsorbowana przez 1 g lnu
		przed adsorpcją	po adsorpcji		
		zużyto na miareczk. cm ³	czerwieni Kongo w g		
10 min	200	0,0400	0,87	0,0377	0,0011
30 „	190	0,0358	1,07	0,0343	0,0018
1 godz	180	0,0325	1,28	0,0310	0,0026
1,5 „	170	0,0293	1,46	0,0280	0,0032
2 „	160	0,0264	1,63	0,0253	0,0038
3 „	150	0,0237	1,98	0,0216	0,0048

Stosując teorię Nägeliego, R. Auerbacha i R. Hallera możnaby się było spodziewać, że roztwór zawierający cząstki barwnika o średnicy 1,703 $m\mu$, będzie lepiej barwił włókno, aniżeli ten, który posiada cząstki o średnicy 2,511 $m\mu$ — szczególnie, że Auerbach, umieścił czerwień Kongo w grupie barwników, barwiących na gorąco. W innym przypadku roztwór o wielkości cząstek 2,030 $m\mu$ powinien być lepiej barwić, niż roztwór o wielkości cząstek 2,511 $m\mu$, a gorzej niż roztwór posiadający cząstki o średnicy 1,703 $m\mu$. Zestawiając jednak wyniki pomiarów adsorbcji dla tych trzech roztworów z tablic 2, 3 i 4, widać, że nie można powiedzieć, który z nich w przeciągu całego czasu adsorbcji najlepiej barwi. I tak, jak wynika z tablic, po 30 *min* adsorbcji, najwięcej został zadsorbowany roztwór uwzględniony w tablicy 2 podczas gdy po 3 *godz* adsorbcji, najwięcej zadsorbowany był roztwór z tablicy 3. Po 1 *godz* adsorbcji roztwory z tablic 2 i 3 wykazują tęsamą adsorbcję.

Wniosków, mojem zdaniem, co do wpływów wielkości cząstek (a więc tem samym stopnia dyspersji barwnika) na zabarwienie, wyciągać jednak nie można. Możliwe jest, że różnica wielkości cząstek, pomiędzy 1,703 a 2,511 $m\mu$, jest za mała, by mogła wpływać znacznie na zwiększenie lub zmniejszenie adsorbcji.

Z drugiej strony, stan roztworu czerwieni Kongo mógł już ulec zmianie, przez samo zanurzenie w nim włókien lnianych. Wtedy oznaczona wielkość cząstek dla roztworu nie odpowiadałaby wielkości cząstek biorących udział w samym procesie adsorbcji—względnie barwienia. Zmiana dyspersji barwnika mogłaby być powodowana substancjami znajdującymi się we włóknie. W ten sposób oznaby też wytłomaczyć wykazany przez W. Weltziena wpływ zawartości popiołu we włóknie—na jego barwienie.

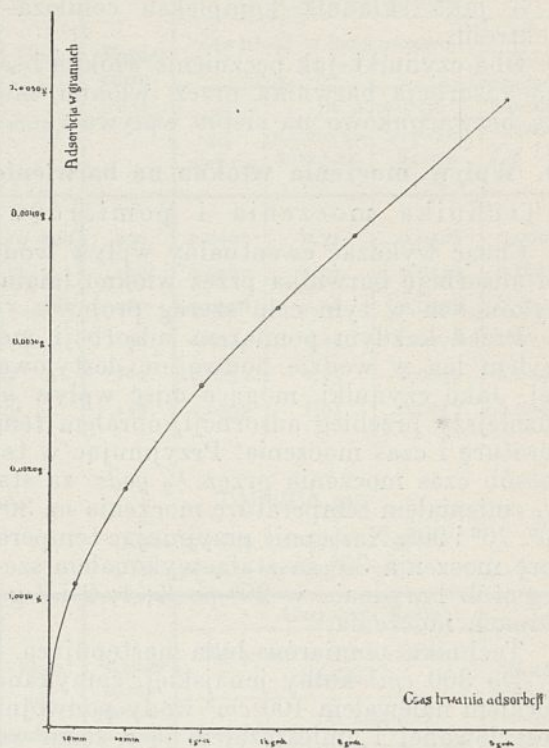
Z tablic 2, 3 i 4 wzięłem średnią pomiarów adsorbcji do wykreślenia krzywej adsorbcji (wykres na rycinie 5) którą przyjąłem za krzywą adsorbcji czerwieni Kongo z roztworu wodnego o stężeniu 0,20 *gl* przez 1 *g* lnu w temperaturze 20°.

W wykresach krzywych uwzględniłem dla adsorbcji piąte miejsca po przecinku, których jednak w tablicach nie podaje.

W wykresie na osi rzędnych podałem czas trwania adsorbcji—a na osi odciętych ilość w gramach czerwieni Kongo, zadsorbowanej przez 1 *g* lnu.

Jak już widać z wykreślonej krzywej, nie posiada ona kształtu krzywych adsorbcji w ścisłym tego słowa znaczeniu. Logarytmiczna krzywa Freundlicha nie przedstawia się w danym wypadku jako prosta.

Zgadzałoby się to z twierdzeniem P. Ruggiego, że zjawisko barwienia włókna barwnikiem Kongo nie jest czystą adsorbacją.



Rycina 5.

Przemawiałoby za tem też i to, że naogół właściwa adsorbacja trwa względnie krótko i nie osiąga czasu trzech, a nawet i więcej godzin.

W procesie barwienia występują więc i inne czynniki, każdy z nich z osobna, lub nawet równocześnie wpływa na ilość pobranego przez włókno barwnika.

Zasadniczym czynnikiem, mojem zdaniem, jest już to, że adsorbens zmienia się w ciągu samego procesu barwienia. Już pod wpływem wody włókno pęcznieje i zmienia przez to swą powierzchnię nawet wewnętrzną budowę.

A. Lottermoser i A. Csallner wypowiedzieli twierdzenie, że nietylko stopień dyspersji odgrywa rolę w barwieniu, lecz też zawartość elektrolitów w wodzie—a w szczególności pęcznienie włókna.

Barwiąc len w roztworze wodnym, stajemy już przed dwoma zjawiskami: 1) wpływem wody na włókno i 2) ewentualnej adsorbcji barwnika przez włókno. Adsorbacja może więc być różna, gdy stan pęcznienia włókna zbiegiem czasu adsorbcji będzie się zmieniał.

Jak podaje R. O. Herzog, przy pęcznieniu włókna woda może znajdować się pod trzema postaciami:

1) dzięki swemu momentowi dipolowemu zostaje przyciągnięta przez cząstki koloidalne lub krystalit włókna;

2) jako powłoka adsorbowanych jonów;

3) jako składnik kompleksu celuloza—elektrolit.

Oba czynniki, jak pęcznienie włókna i sama adsorbcja barwnika przez włókno, muszą bezwarunkowo na siebie wpływać.

D. Wpływ moczenia włókna na barwienie.

Technika moczenia i pomiarów.

Chcąc wykazać ewentualny wpływ wody na adsorbcję barwnika przez włókno lniane, wykonałem w tym celu szereg prób.

Przed każdym pomiarem adsorbcji moczyłem len w wodzie podwójnie destylowanej. Jako czynniki, mogące mieć wpływ na późniejszy przebieg adsorbcji, obrałem temperaturę i czas moczenia. Przyjmując w ten sposób czas moczenia przez $\frac{1}{2}$ godz za stałą, zmieniałem temperaturę moczenia na 30° , 50° , 70° i 90° . Następnie przyjmując temperaturę moczenia 30° za stałą, wykonałem szereg prób barwienia w 20° po $\frac{1}{2}$; 1; 2 i 3 godzinach moczenia.

Technika pomiarów była następująca.

Do 300 cm^3 kolby jenajskiej, zamykanej korkiem nalewałem 100 cm^3 wody podwójnie destylowanej i umieszczałem ją w łaźni wodnej, o wymaganej temperaturze. Kolbę z wodą, zamkniętą korkiem owiniętym staniolem, pozostawiałem przez $\frac{1}{2}$ godz w łaźni wodnej aby woda nabrała odpowiedniej temperatury. Po upływie tego czasu, zanurzałem w tych 100 cm^3 wody 2 g lnu. Od tej chwili liczyłem czas trwania moczenia. W ten sposób len był moczony w określonej temperaturze i czasie. Po upływie oznaczonego na moczenie czasu, przez przeciąg $\frac{1}{4}$ godz kolbę wraz z lnem i wodą ochładzałem pod płynącą wodą i umieszczałem w koszyku wstrząsarki termostatycznej, aby nabrała temperatury 20° . Następnie dolewałem do kolby 100 cm^3 roztworu czerwieni Kongo o stężeniu $0,40\text{ g/l}$. Stężenie to obrałem dla tego, aby len był barwiony w tej samej liczbie cm^3 roztworu (200 cm^3) i tej samej ilości barwnika ($0,040\text{ g}$), jakich używałem do poprzednich moich pomiarów adsorbcji. W ten sposób mogłem porównać wyniki z poprzednio otrzymanymi.

Barwnik był rozpuszczany w temperaturze 20° i pozostawał w tej temperaturze w termostacie przez 6 godz .

Pomiary adsorbcji.

Technika pomiarów adsorbcji była ta sama co w poprzednich moich doświadczeniach z tą tylko różnicą, że czas trwania adsorbcji liczyłem od chwili wiania roztworu barwnika.

Stężenie roztworu barwnika oznaczałem tak jak poprzednio przez miareczkowanie błękitem metylenowym o stężeniu $0,20\text{ g}$ na litr.

5 cm^3 błękitu odpowiada $5,54\text{ cm}^3$ czerwieni Kongo. Wyniki pomiarów adsorbcji podaję w tablicach 5—12.

Wykres (rycina 6) przedstawia krzywe adsorbcji 1, 2, 3 i 4 wykreślone na podstawie tablic 5—8. Dla wszystkich czterech krzywych czas moczenia przed barwieniem wynosił $\frac{1}{2}$ godz. Dla krzywej 1 temperatura moczenia wynosiła 30° ; dla krzywej 2 wynosiła 50° , dla krzywej 3 wynosiła 70° , a dla krzywej 4 wynosiła 90° .

W wykresie tym na osi rzędnych podałem czas trwania adsorbcji w 20° ; a na osi odciętych ilość w gramach czerwieni Kongo zaadsorbowanej przez 1 g lnu.

Na podstawie tych krzywych podaję wykres (rycina 7) uwidaczniający wpływ temperatury moczenia przez $0,5\text{ godz}$, na

TABLICA 5.

Czas trwania moczenia: $\frac{1}{2}$ godz.
Temperatura moczenia: 30° .

Czas adsorbcji	Kąpiel adsorbensu w cm^3	Czerwieni Kongo:				Ilość zaadsorbowana przez 1 g lnu
		Zawartość w każdorazowej kąpeli			Ilość zaadsorbowana przez 1 g lnu	
		przed adsorbcją	po adsorbcji zużyto na miareczk. cm^3	czerwieni Kongo w g		
10 min	200	0,0400	0,77	0,0381	0,0009	
30 „	190	0,0362	0,99	0,0349	0,0017	
1 godz	180	0,0327	1,20	0,0312	0,0025	
1,5 „	170	0,0295	1,35	0,0285	0,0030	
2 „	160	0,0268	1,56	0,0254	0,0037	
3 „	150	0,0238	1,87	0,0220	0,0046	

TABLICA 6.

Czas trwania moczenia: $\frac{1}{2}$ godz.
Temperatura moczenia: 50° .

Czas adsorbcji	Kąpiel adsorbensu w cm^3	Czerwieni Kongo:				Ilość zaadsorbowana przez 1 g lnu
		Zawartość w każdorazowej kąpeli			Ilość zaadsorbowana przez 1 g lnu	
		przed adsorbcją	po adsorbcji zużyto na miareczk. cm^3	czerwieni Kongo w g		
10 min	200	0,0400	0,76	0,0382	0,0008	
30 „	190	0,0363	0,93	0,0350	0,0015	
1 godz	180	0,0331	1,16	0,0315	0,0023	
1,5 „	170	0,0297	1,34	0,0285	0,0029	
2 „	160	0,0268	1,47	0,0260	0,0033	
3 „	150	0,0244	1,70	0,0230	0,0040	

TABLICA 7.

Czas trwania moczenia: $\frac{1}{2}$ godz.
Temperatura moczenia: 70° .

Czas adsorbcji	Kąpiel adsorbensu w cm^3	Czerwieni Kongo:			Ilość zaadsorbowana przez 1 g lnu
		Zawartość w każdorazowej kąpeli			
		przed adsorbcją	po adsorbcji		
		zużyto na miareczk. cm^3	czerwieni Kongo w g		
10 min	200	0,0400	0,72	0,0385	0,0007
30 „	190	0,0366	0,88	0,0354	0,0013
1 godz	180	0,0335	1,12	0,0318	0,0022
1,5 „	170	0,0300	1,23	0,0293	0,0025
2 „	160	0,0275	1,36	0,0267	0,0029
3 „	150	0,0250	1,56	0,0238	0,0035

TABLICA 9.

Czas trwania moczenia: 1 godz.
Temperatura moczenia: 30° .

Czas adsorbcji	Kąpiel adsorbensu w cm^3	Czerwieni Kongo:			Ilość zaadsorbowana przez 1 g lnu
		Zawartość w każdorazowej kąpeli			
		przed adsorbcją	po adsorbcji		
		zużyto na miareczk. cm^3	czerwieni Kongo w g		
10 min	200	0,0400	0,71	0,0386	0,0006
30 „	190	0,0367	1,01	0,0344	0,0018
1 godz	180	0,0326	1,26	0,0308	0,0027
1,5 „	170	0,0291	1,48	0,0276	0,0034
2 „	160	0,0259	1,65	0,0249	0,0040
3 „	150	0,0233	1,91	0,0217	0,0048

TABLICA 8.

Czas trwania moczenia: $\frac{1}{2}$ godz.
Temperatura moczenia: 90° .

Czas adsorbcji	Kąpiel adsorbensu w cm^3	Czerwieni Kongo:			Ilość zaadsorbowana przez 1 g lnu
		Zawartość w każdorazowej kąpeli			
		przed adsorbcją	po adsorbcji		
		zużyto na miareczk. cm^3	czerwieni Kongo w g		
10 min	200	0,0400	0,74	0,0384	0,0008
30 „	190	0,0364	0,91	0,0351	0,0014
1 godz	180	0,0333	1,14	0,0316	0,0023
1,5 „	170	0,0298	1,32	0,0287	0,0028
2 „	160	0,0270	1,42	0,0263	0,0032
3 „	150	0,0247	1,63	0,0235	0,0037

TABLICA 9a.

Czas trwania moczenia: 1 godz.
Temperatura moczenia: 30° .

Czas adsorbcji	Kąpiel adsorbensu w cm^3	Czerwieni Kongo:			Ilość zaadsorbowana przez 1 g lnu
		Zawartość w każdorazowej kąpeli			
		przed adsorbcją	po adsorbcji		
		zużyto na miareczk. cm^3	czerwieni Kongo w g		
10 min	200	0,0400	0,72	0,0385	0,0007
30 „	190	0,0366	1,01	0,0344	0,0018
1 godz	180	0,0326	1,25	0,0308	0,0026
1,5 „	170	0,0291	1,48	0,0276	0,0034
2 „	160	0,0259	1,64	0,0249	0,0039
3 „	150	0,0234	1,91	0,0217	0,0048

TABLICA 8a.

Czas trwania moczenia: $\frac{1}{2}$ godz.
Temperatura moczenia: 90° .

Czas adsorbcji	Kąpiel adsorbensu w cm^3	Czerwieni Kongo:			Ilość zaadsorbowana przez 1 g lnu
		Zawartość w każdorazowej kąpeli			
		przed adsorbcją	po adsorbcji		
		zużyto na miareczk. cm^3	czerwieni Kongo w g		
10 min	200	0,0400	0,74	0,0384	0,0008
30 „	190	0,0364	0,80	0,0353	0,0013
1 godz	180	0,0334	1,14	0,0316	0,0023
1,5 „	170	0,0298	1,29	0,0289	0,0027
2 „	160	0,0272	1,43	0,0263	0,0032
3 „	150	0,0246	1,69	0,0234	0,0038

TABLICA 10.

Czas trwania moczenia: 2 godz.
Temperatura moczenia: 30° .

Czas adsorbcji	Kąpiel adsorbensu w cm^3	Czerwieni Kongo:			Ilość zaadsorbowana przez 1 g lnu
		Zawartość w każdorazowej kąpeli			
		przed adsorbcją	po adsorbcji		
		zużyto na miareczk. cm^3	czerwieni Kongo w g		
10 min	200	0,0400	0,77	0,0381	0,0009
30 „	190	0,0362	0,99	0,0345	0,0017
1 godz	180	0,0327	1,24	0,0309	0,0026
1,5 „	170	0,0292	1,41	0,0280	0,0032
2 „	160	0,0264	1,61	0,0251	0,0038
3 „	150	0,0235	1,88	0,0219	0,0046

TABLICA 11.

Czas trwania moczenia: 3 godz.
Temperatura moczenia: 30°.

Czas ad-sorbcji	Kąpiel adsorbensu w cm^3	Czerwieni Kongo:			Ilość zaadsorbowana przez 1 g lnu
		Zawartość w każdorazowej kąpeli			
		przed ad-sorbcją	po adsorbcji		
		zużyto na miareczk. cm^3	czerwieni Kongo w g		
10 min	200	0,0400	0,72	0,0385	0,0007
30 „	190	0,0386	0,97	0,0347	0,0016
1 godz	180	0,0329	1,19	0,0313	0,0024
1,5 „	170	0,0295	1,37	0,0283	0,0030
2 „	160	0,0266	1,52	0,0257	0,0035
3 „	150	0,0241	1,82	0,0223	0,0044

TABLICA 12.

Czas trwania moczenia: 1 godz.
Temperatura moczenia: 50°.

Czas ad-sorbcji	Kąpiel adsorbensu w cm^3	Czerwieni Kongo:			Ilość zaadsorbowana przez 1 g lnu
		Zawartość w każdorazowej kąpeli			
		przed ad-sorbcją	po adsorbcji		
		zużyto na miareczk. cm^3	czerwieni Kongo w g		
10 min	200	0,0400	0,72	0,0385	0,0007
30 „	190	0,0366	0,93	0,0350	0,0015
1 godz	180	0,0331	1,17	0,0314	0,0023
1,5 „	170	0,0297	1,37	0,0283	0,0030
2 „	160	0,0266	1,53	0,0256	0,0035
3 „	150	0,0240	1,82	0,0223	0,0044

barwieniu 1 g lnu przez roztwór czerwieni Kongo 0,20 g/l w 20°.

Krzywe 1, 2, 3, 4, 5 i 6 odpowiadają czasom barwienia 10 i 30 min, i 1, 2 i 3 godz

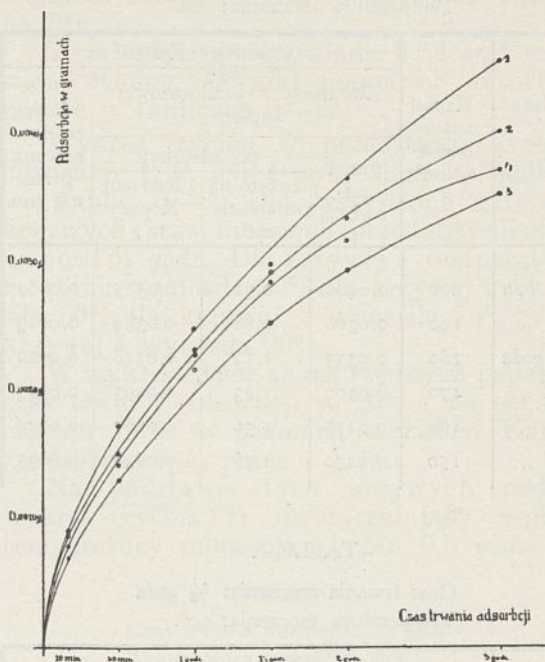
Na osi odciętych umieściłem dla porównania punkty połączone z krzywymi, linjami kropkowanymi, a odpowiadające ilości zaadsorbowanego barwnika przez 1 g lnu bez uprzedniego moczenia.

Jak wynika z wykresu, wszystkie punkty krzywych znajdują się poniżej odpowiadających im punktów adsorbcji bez moczenia.

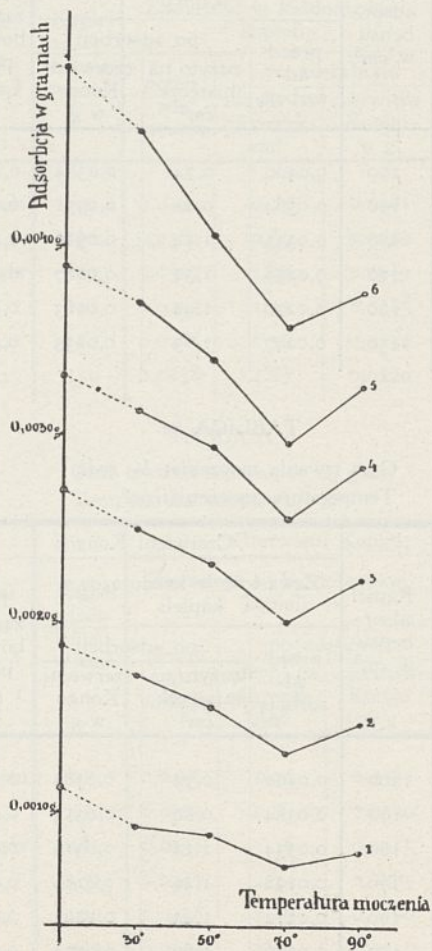
Do 70° adsorbcja stale się zmniejsza a różnica ta staje się coraz bardziej widoczna w ciągu procesu barwienia. W temperaturze moczenia wyższej, a więc 90°, adsorbcja barwnika przez włókno lniane się zwiększa.

W wykresie (rycina 8) podałem krzywe 1 i 2 przedstawiające przebieg barwienia dla tego samego czasu moczenia 1 godz. przed barwieniem lecz w różnych temperaturach.

Krzywa 1 przedstawia przebieg adsorbcji barwnika przez 1 g lnu poprzednio moczo-

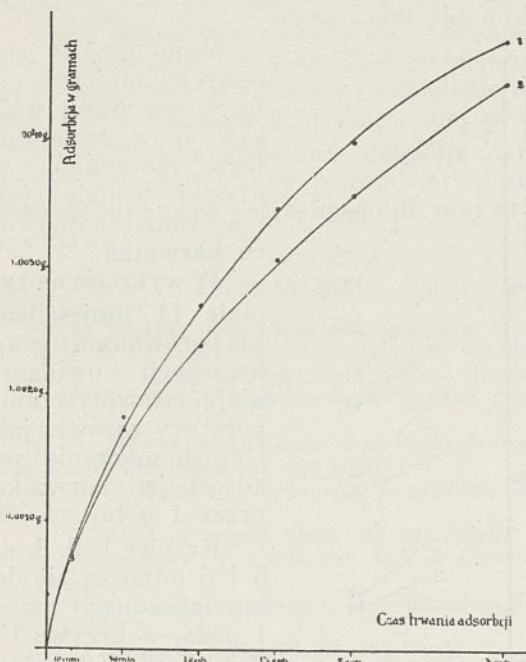


Rycina 6.



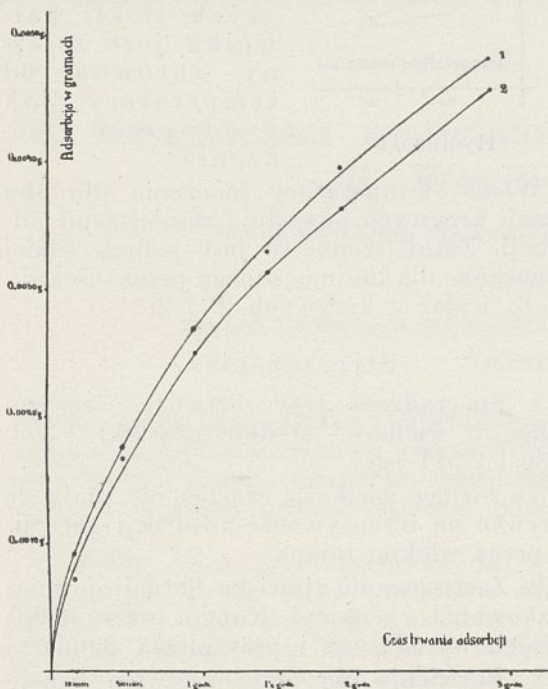
Rycina 7.

nego w 30°. Dla krzywej 2 len moczyłem w 50°.



Rycina 8.

Jak widać z podanego wykresu, adsorbcja dla lnu moczonego w 50°, jest mniejsza niż dla lnu moczonego w 30°. Wykres na rycinie 9 przedstawia dwie krzywe adsorbcji



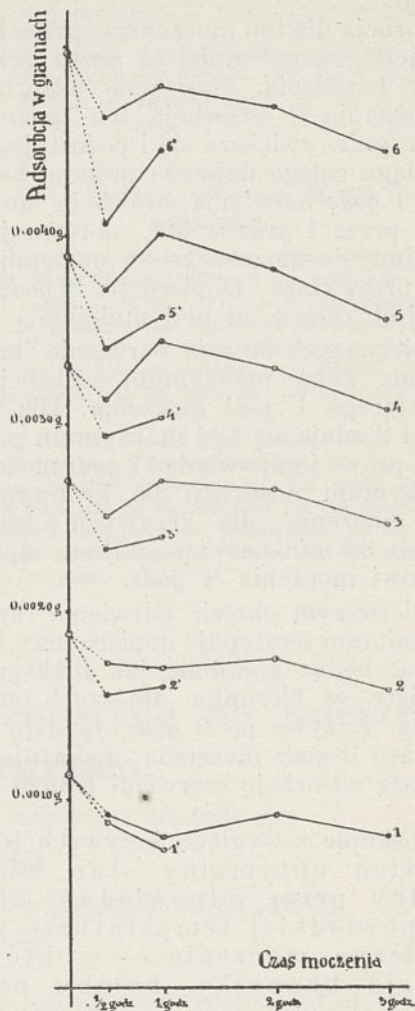
Rycina 9.

1 i 2 w odniesieniu do trwania adsorbcji dla 1 g lnu, moczonego w 30°.

Krzywa 1 przedstawia przebieg barwienia lnu moczonego poprzednio przez 2 godz w 30°; zaś krzywa 2 przebieg barwienia po moczeniu lnu w tej samej temperaturze lecz przez 3 godz.

Z wykresu tego widać, że adsorbcja barwnika dla lnu przez dłuższy czas moczonego w 30° jest mniejsza.

Wykres na rycinie 10 jest zestawieniem uwidaczniającym wpływ czasu moczenia lnu w 30° na przebieg późniejszej adsorbcji barwnika.



Rycina 10.

Na osi rzędnych podałem czas moczenia lnu przed barwieniem a na osi odciętych ilość w g czerwieni, zaadsorbowanej przez 1 g lnu.

Krzywe 1, 2, 3, 4, 5 i 6 odpowiadają czasom trwania barwienia przez 10 i 30 min 1, 1½, 2 i 3 godz.

Krzywe 1', 2', 3', 4', 5' i 6' umieszczone dla porównania odpowiadają temu samemu czasowi trwania barwienia dla 1 g lnu moczonego przed barwieniem w 50°.

Punkty oznaczone na osi odciętych a połączone linjami kropkowanymi z wyżej wymienionymi krzywymi — przedstawiają ilość w gramach, czerwieni Kongo, zaadsorbowaną przez 1 g lnu w ciągu barwienia, bez uprzedniego moczenia lnu w wodzie.

Jak widać z wykresu wszystkich krzywych, adsorbacja barwnika przez len moczony przez pół godziny jest mniejsza, niż adsorbacja dla lnu niemoczonego. Adsorbacja jest tem mniejsza, im wyższa jest temperatura moczenia. Różnica ta staje się coraz bardziej wyraźna z biegiem czasu trwania adsorbacji.

Adsorbacja dla lnu moczonego przez 1 godz w 30° jest jeszcze mniejsza przez przeciąg ½ godz barwienia. Następnie adsorbacja — w porównaniu z adsorbacją lnu moczonego przez ½ godz, zwiększa się i pozostaje większą w ciągu całego dalszego procesu barwienia. Po 1 godz barwienia adsorbacja lnu, moczonego przez 1 godz w 30°, dorównuje adsorbacji lnu nie moczonego — a następnie nawet ją przewyższa. Dopiero po 3 godz barwienia jest znowu od niej mniejsza.

W pierwszych 30 min barwienia (krzywe 1 i 2) nie widać maksimum adsorbacji, odpowiadającego 1 godz moczenia. Dla krzywych 1 i 2 zdaje się być maksimum przesunięte na prawo i odpowiadać 2 godz moczenia.

Maksimum adsorbacji po krótszym, niż 3 godz moczeniu, dla krzywych adsorbacji, dłużej niż 30 min barwionego lnu, odpowiada czasowi moczenia ½ godz.

W pierwszym okresie barwienia (krzywe 1 i 2) minimum występuje dopiero przy 1 godz moczenia, będąc podobnie jak maksimum, przesunięte w kierunku dłuższych czasów moczenia. Krzywe po 2 godz opadają stale i dla czasu 3 godz moczenia, wykazują najmocniejszą adsorbację czerwieni Kongo przez len.

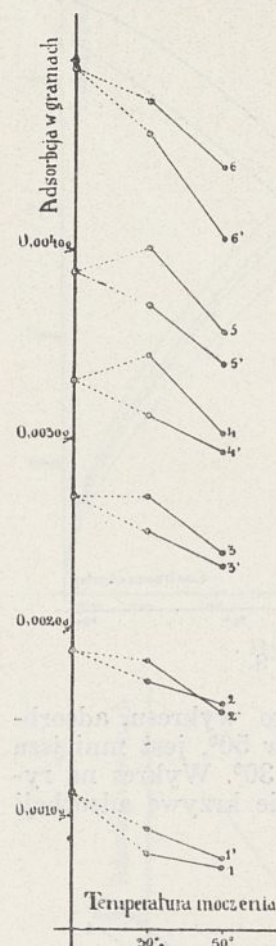
Wnioskując z wyglądu krzywych, istniałby pewien optymalny stan włókna osiągalny przez odpowiednio długie i w odpowiedniej temperaturze przeprowadzane moczenie — w którym, adsorbacja barwnika, byłaby najsilniejsza.

Trzeba jednak wziąć jeszcze pod uwagę to, że w czasie barwienia lnu moczenie jego nadal się odbywa.

Nachylenie pierwszego odcinka krzywych 3, 4, 5 i 6, jako też drugiego odcinka krzywych 1 i 2 wykazywałoby, że adsorbacja barwnika napotyka na pewien opór do pokonania.

Opór ten wcześniej występuje w procesie barwienia, jeżeli len dłużej lub w wyższej temperaturze był moczony. Istniałby więc pewien moment, w którym stan moczonego włókna utrudniałby bardzo adsorbację bar-

wnika — jak również inny moment, w którym adsorbacja byłaby tak ułatwiona, że wykazywałaby silniejsze natężenie od adsorbacji włókna nie moczonego.



Rycina 11.

Momenty te zależałyby, moim zdaniem, od stanu włókna spowodowanego jego moczeniem w czystej wodzie, jak i w wodzie z roztworem barwnika.

W wykresie na rycinie 11 umieściłem dla porównania 6 grup krzywych uwidaczniających wpływ temperatury, zarówno jak i czasu moczenia, na adsorbację barwnika przez 1 g lnu.

Krzywe 1, 2, 3, 4, 5 i 6 odnoszą się do lnu moczonego przez 1 godz — a krzywe 1', 2', 3', 4', 5' i 6' — do lnu moczonego przez 0,5 godz.

Jak wynika z powyższych krzywych, optymalny stan włókna do przyjmowania największych ilości barwnika jest zależny zarówno od temperatury jak i od czasu moczenia.

Wzrost temperatury moczenia dla obu rodzajów krzywych powoduje zmniejszenie adsorbacji. Zmniejszenie to jest jednak silniej zaznaczone dla lnu moczonego przez 0,5 godz, jak to widać z krzywych 2' i 2.

Streszczenie.

1. Sporządzono trzy roztwory czerwieni Kongo o wielkości średnic cząstek: 1,703; 2,030 i 2,511 μ .

Te różnice wielkości cząstek nie zdają się wpływać na intensywność adsorbacji barwnika przez włókno lniane.

2. Zastosowanie zjawiska flotacji do miareczkowania czerwieni Kongo przez błękit metelenowy ułatwia i przyspiesza pomiary.

3. Barwienie lnu przez czerwień Kongo nie przedstawia zjawiska czystej adsorbacji.

4. Został wykazany wpływ moczenia lnu w wodzie na późniejszą adsorbację barwnika. Przy moczeniu lnu zdaje się istnieć pewien

optymalny moment w stosunku do temperatury i czasu trwania moczenia, w którym włókno przyjmuje najwięcej barwnika z roztworu.

Panu Profesorowi Doktorowi Antoniemu Gałęckiemu składam serdeczne podziękowanie za wskazanie mi tematu i udzielanie cennych rad i wskazówek w ciągu mej pracy.

Równocześnie serdecznie dziękuję Zarządowi Funduszu Kultury Narodowej za umożliwienie mi kupna potrzebnego do mej pracy autoklawu.

LITERATURA.

- 1) M. Lüdtkke, Ann. Chim. **466**, 35 (1928).
- 2) J. Wiertelak, Arch. chem. farm. **2**, 27 (1934).
- 3) T. P. Haughey, Pat. amer. 1814155 (1931).
- 4) D. R. Nanji i D. M. Stewart, Pat. amer. 1796718 (1931).
- 5) A. Nowakowski, Prace I-go Polskiego Naukowego Zjazdu Leśniczego. str. 527 (1935).
- 6) R. O. Herzog i W. Jancke, Z. physikal. Chem. **139**, 235 (1928).
- 7) E. Elöd, Z. angew. Chem. **47**, 465 (1935).
- 8) J. Sanders i F. Cameron, Ind. & Chem. **25**, 1371 (1933).
- 9) Nägeli i Schwendener, Das Mikroskop. Lipsk (1877) 422.
- 10) P. Ruggli, Kolloid-Z. **63**, 129 (1933).
- 11) O. Teague i B. B. Buxton, Z. physikal. Chem. **60**, 489 (1907).
- 12) Pelet i Jolivet, Färbreiprozess. str. 33.
- 13) Wo. Ostwald i A. Quast, Kolloid-Z. **48**, 83 (1929).
- 14) R. Haller, Kolloid-Z. **20**, 127 (1917).
- 15) Wo. Ostwald i A. Quast, Kolloid Z. **51**, 273 (1930).
- 16) R. O. Herzog, Technologie der Textilfasern. tom V. rozzd. I. Der Flachs. Berlin. Verl. Chemie (1932).

- 17) W. Weltzien, Kolloid-Z. **51**, 172 (1930).
- 18) N. J. Duclaux i A. Dobry, Bull. soc. chim. **51**, 1172 (1932).
- 19) F. Bion, Helv. Phys. Acta **1**, 165 (1929).
- 20) G. Wiegner, J. Magasanik i H. Gessner, Kolloid-Z. **30**, 145 (1922).
- 21) R. Auerbach, Kolloid-Z. **34**, 109 (1924).
- 22) R. Auerbach, Kolloid-Z. **29**, 190 (1921).
- 23) W. Weltzien i K. Schulze, Kolloid-Z. **62**, 40 (1933).
- 24) R. Bartunek, Kolloid-Z. **34**, 181 (1924).
- 25) P. Rona i L. Michaelis, Biochem. Z. **103**, 19 (1920).
- 26) J. M. Kolthof, Kol. Pharm. Weekblad **57**, 1510, 1571 (1920).
- 27) A. Lottermoser i W. Hönsch, Kolloid-Z. **57**, 206 (1931).
- 28) R. Zsigmondy, E. Wilke-Dörfurt i A. v. Gałęcki, Ber. **45**, 579 (1902).
- 29) R. Fürth, Kolloid-Z. **41**, 300 (1927).
- 30) Einstein, Ann. Physik. **17**, 549 (1905).
- 31) R. Auerbach, Kolloid-Z. **35**, 202 (1924).
- 32) A. Lottermoser i A. Csallner, Kolloid-Z. **56**, 324 (1931).
- 33) Freundlich, Kapillarchemie.
- 34) R. O. Herzog, Kolloid-Z. **39**, 102 (1926).

RÉSUMÉ.

1. L'auteur a préparé trois solutions aqueuses, différentes du rouge Congo contenant des particules du colorant de: 1,703; 2,030 et 2,511 μ de diamètre. Cette différence de grandeur des particules du colorant ne semble pas avoir d'effet sur son adsorption par les fibres du lin.
2. Pour faciliter les dosages on a adapté au précipité du rouge Congo par le bleu de méthylène la méthode de flottation.
3. La teinture du lin par le rouge Congo ne présente pas un phénomène d'adsorption pure.
4. Le trempage dans l'eau du lin avant sa teinture influence l'adsorption du colorant par les fibres. Il semble y avoir un optimum de température et de durée du bain d'eau, pour lequel les fibres du lin adsorbent le mieux le colorant.

O wrażliwości materiałów wybuchowych na uderzenie II. Wrażliwość mieszanin.

Sur la sensibilité des explosifs au choc. II. Sensibilité des mélanges.

TADEUSZ URBAŃSKI

Zakład Technologji Materiałów Wybuchowych Politechniki Warszawskiej

Nadeszło 20 stycznia 1936

W dalszym ciągu badań nad wrażliwością materiałów wybuchowych na uderzenie, zbadać czułość szeregu mieszanin dwuskładnikowych, stosując metodę opisaną poprzednio *).

Jednak przed przystąpieniem do opisu uzyskanych przez siebie wyników autor uważał za celowe zebranie spostrzeżeń dotychczas opisanych w literaturze, dotyczących wpływu rozmaitych czynników: chemicznych i fizycznych na wrażliwość na uderzenie (czułość) materiałów wybuchowych.

W ten sposób wyczerpany zostaje opis istniejącego w literaturze materiału doświadczalnego, dotyczącego zagadnienia, które nas interesuje.

Wpływ budowy chemicznej substancji wybuchowych na ich wrażliwość na uderzenie.

Doświadczenia nad rozklasyfikowaniem wszystkich materiałów wybuchowych na grupy według ich wrażliwości na uderzenie pochodzą już z czasów pierwszych badań nad własnościami różnych substancji wybuchowych. Tak więc zauważono wielką wrażliwość

*) Literatura na końcu pracy.

substancji inicjujących, mieszanek chlora-
nowych, estrów kwasu azotowego i małą
wrażliwość nitrozwiązków aromatycznych.

Pierwsze systematyczne badania w tym
kierunku wykonał Will (2), wprowadzając
podział materiałów wybuchowych na kilka
grup pod względem ich bezpieczeństwa przy
transporcie.

W szczególności, badając wrażliwość na
uderzenie, Will podaje klasyfikację na na-
stępujące grupy (badano uderzenia 2 kg
ciężaru):

Grupa I: substancje wybuchające od ude-
rzenia z wysokości 7 cm i mniejszej. Należy
tu większość materiałów wybuchowych ini-
cjujących, nitrogliceryna, pikryniany metali
ciężkich. Substancje te są niedozwolone do
transportu.

Grupa II: wybuchająca od uderzenia
z wysokości 7—25 cm. Należy tu bawełna
strzelnicza, dynamity.

Grupa III: wysokość 26—100 cm. Do tej
kategorji zalicza się (uszeregowane w kierun-
ku zmniejszającej się wrażliwości): proch
czarny, materiały wybuchowe chlora-
nowe, część nitrozwiązków aromatycznych (np. te-
tryl, heksyl, kwas pikrynowy), bawełna strze-
lnicza z 15% wilgoci, proch bezdymny.

Grupa IV: wysokość 100—200 cm. Ba-
wełna strzelnicza z 20% wilgoci, amono-
salertrane materiały wybuchowe, większość ni-
trozwiązków aromatycznych (trotyl, trójni-
troksylen, trójnitronaftalen).

W przytoczonej już poprzednio pracy
Muraoura (1917) (3) znajdujemy również
dane, dotyczące wrażliwości na uderzenie
wielu substancji i mieszanek wybuchowych.

Na podstawie uzyskanego materiału au-
tor dzieli zbadane materiały wybuchowe na
trzy kategorie.

¹ Do pierwszej należą materiały wybu-
chowe bardzo wrażliwe na uderzenia (np.
materiały wybuchowe inicjujące oraz chlo-
ranowe mieszanki i pentryt). Charakteryzuje
je to, że niewielka zmiana wysokości powo-
duje już dużą zmianę procentowej liczby wy-
buchów — krzywa S na rycinie 2 (praca
poprzednia) ma bieg bardzo stromy.

² W grupie drugiej, charakteryzującej
się biegiem krzywej bardziej stromym znaj-
dujemy: proch czarny, bawełnę strzelni-
czą i najwrażliwsze z pośród nitrozwiązków
aromatycznych — tetryl, czteronitroanilinę
i sześciornitrodwufenyloaminę.

³ Do grupy trzeciej należą większość
nitrozwiązków aromatycznych, jak również
sznajderyt. Charakterystyczny dla tej grupy
jest bieg krzywej S, która wykazuje, że po
dojściu do wysokości, przy której mamy 50%
wybuchów, dalsze zwiększenie wysokości nie
powoduje widocznego wzrostu procentowej
liczby wybuchów.

W związku z tem autor sądzi, że w przy-
padku tych materiałów wybuchowych okre-
ślenie wyłącznie tylko wysokości, przy której
następuje 50% wybuchów nie daje właściwe-
go obrazu wrażliwości materiałów wybucho-
wych na uderzenie: należy wyznaczyć cał-
kowitą zależność zachowania się materiału
wybuchowego przy różnych wysokościach,
zmieniając wysokość co 10 cm albo zgrubsz-
ając co 20 cm. Jak dalece ważna jest znajomość
krzywej, widać z przypadku sznajderytu:
część krzywej, wyrażająca prawdopodobień-
stwo 50% wybuchów jest ściśle pozioma.

Z pośród dalszych obserwacji Muraoura
zasługują na szczególną uwagę następujące:
trójnitroksylen jest bardziej wrażliwy; zaś
trójnitroanizol jest mniej wrażliwy niż trój-
nitrotoluen. Niewielka domieszka piasku
(0,5%) do substancji względnie mało wrażli-
wej (np. trotyl) wystarcza, aby substancję tę
zamienić w ciało bardzo wrażliwe (zbliżone
pod tym względem do szedytu).

C. F. van Duin i B. C. Roeters van
Lennep (4) badając własności całego szere-
gu nitrozwiązków aromatycznych, przeważ-
nie wysokonitrowanych amin, określają rów-
nież wrażliwość na uderzenie, posilując się
zwykłym kafarkiem; stosują przytem tetryl
jako materiał wybuchowy wzorcowy.

Autorzy wyprowadzają wniosek, że wpro-
wadzenie grupy metylo-nitro-aminowej
oraz czwartej grupy nitrowej podwyższa
wyraźnie wrażliwość na uderzenie, natomiast
wprowadzenie grupy aminowej obniża tę
wrażliwość. Podstawienie w grupie fenolowej
wodoru metylem lub etylem również znacz-
nie zmniejsza wrażliwość.

Poza naturą samej grupy, jej ruchliwość
również wpływa na wzrost wrażliwości na
uderzenie. Wskutek tego aminotrójnitrofeny-
lometylonitroamina jest bardziej wrażliwa
niż tetryl pomimo obecności grupy aminowej.
Większa wrażliwość wywołana jest większą
ruchliwością grupy metylo-nitro-aminowej w
pierwszym z tych połączeń. Przesunięcie gru-
py NO_2 z położenia symetrycznego w niesy-
metryczne, a więc bardziej ruchliwe, zdaje
się powiększać wrażliwość substancji na
uderzenie, jak to można sądzić z porównania
dwóch sześciornitrodwufenyloamin (2,4,6-2,4,6
i 2,4,6-2,3,4).

Z pomocą opisanego poprzednio urządze-
nia Rottera wykonano w Arsenale w Wool-
wich szereg oznaczeń wrażliwości różnych
substancji wybuchowych (5).

Zgodnie z temi danymi, zwiększenie lic-
by grup NO_2 w pierścieniu benzenowym
zwiększa wrażliwość na uderzenie. Wpro-
wadzenie grupy OH w trójnitrowych pocho-
dnych również zwiększa ich wrażliwość.
Wreszcie niesymetryczne rozmieszczenie grup

NO_2 w trójnitrotoluenie powoduje zwiększenie wrażliwości na uderzenie.

Na większą czułość β -trójnitrotoluen, a mniejszą α - w porównaniu do γ -trójnitrotoluen wskazywał już Will (6). Wszystkie te spostrzeżenia zgadzają się między sobą.

Pozatem wydaje się, że istnieje pewien związek między wrażliwością podobnych związków wybuchowych, a ciepłem ich tworzenia się. Według badań W. E. Garnera i C. L. Abernethy (7) mamy następujące ciepła tworzenia się izometrycznych trójnitrotoluenów:

izomer	kal	Wrażliwość na uderzenie według Robertsona (5)
2,4,6	-- 10,2	115
2,3,5	-- 7,1	108
2,3,6	-- 5,6	111
2,4,5	-- 5,3	102
3,4,5	-- 2,8	102
2,3,4	-- 2,0	92

Im bardziej egzotermiczne jest połączenie, tem mniejszą wykazuje wrażliwość na uderzenie. Endotermiczny β -trójnitrotoluen jest najwrażliwszy.

Z drugiej strony badania Wöhlera i Martina (8) doprowadzają do spostrzeżenia, że wrażliwość zbadanych przez nich materiałów inicjujących nie zawsze idzie w parze z termochemicznymi ich własnościami, t. j. ciepłem tworzenia się. Porównanie czułości poszczególnych materiałów inicjujących było tu jednak utrudnione ze względu na duże różnice własności fizycznych (postać krystaliczna, wielkość, twardość i elastyczność kryształów i t. p.), które maskowałyby subtelne różnice czułości.

Najbardziej szczegółowe badania nad wpływem budowy nitrozwiązków aromatycznych na ich wrażliwość wobec uderzenia dokonał z pomocą udoskonalonej przez siebie metody Wöhler i Wenzelberg (9).

Ogólny wniosek autorzy streszczają w sposób następujący: wrażliwość nitropochodnych benzenu zwiększa się w miarę zwiększenia liczby grup podstawionych w benzenie i jego homologach. Rodzaj i pozycja grup nie ma większego znaczenia, jedynie grupa metylowa ma mniejszy wpływ niż inne.

Pozatem między wrażliwością na uderzenie, a siłą materiału wybuchowego zależność jest bardzo luźna, podobna do tej, jaka istnieje między szybkością reakcji, a swobodną energią.

Oto kilka najważniejszych spostrzeżeń dokonanych przez autorów:

Najmniej wrażliwym nitrozwiązkiem jest dwunitrobenzen. Przejście od dwu i trójnitro pochodnych benzenu do dwu i trójnitro pochodnych toluenu, ksylenu, mezytylenu łączy

się ze wzrostem czułości. To samo dotyczy przejścia od pochodnych benzenu do pochodnych fenolu, rezorcyny, pochodnych chloru i dwuchlorobenzenu, pochodnych aniliny. Wprowadzenie nowej grupy $-NO_2$ powoduje wzrost czułości.

Przy jednakowej liczbie ogólnej grup podstawionych czułość jest mniej więcej jednokowa.

Tak więc dwunitro-chlorobenzen, -anilina, -fenol, -anizol i trójnitrobenzen wykazują mniej więcej jednokową czułość. Dwunitro-dwuchlorobenzen, dwunitrorezorcyna, trójnitroanilina i trójnitrotoluen są substancjami o mniej więcej jednokowej czułości.

Wreszcie Wöhler i Wenzelberg spostrzegają nieco większą wrażliwość niesymetrycznych połączeń (dwu i trójnitrotoluenów, dwunitrofenoli), co potwierdza poprzednio dokonane spostrzeżenia innych autorów.

Wpływ czynników fizycznych.

a) Ilość badanej substancji — wpływ ten był podany już poprzednio (1).

b) Stan skupienia — w stanie ciekłym substancje są bardziej wrażliwe na uderzenie niż w stanie stałym. Brak tu jednak bliższych danych doświadczalnych. Częściowo można to przypisać wyższej temperaturze używanej przy badaniu ciekłych substancji w porównaniu do stałych. Obserwacja ta jest oparta na przykładzie nitrogliceryny: ciekła nitrogliceryna jest bardziej wrażliwa na uderzenie niż zestalona, co zgodnie zauważa szereg autorów: Nobel (10), Mowbray (11), Beckerhinn (12), Hess (13), Will (14), Hackel (15).

c) Silne sprasowanie może wywołać zmniejszenie czułości materiału wybuchowego. Fakt ten znany jest szczególnie fabrykantom spłonek zapalających. Ścisłejszych danych w literaturze brak.

d) Budowa krystaliczna. Na przykładzie nitrogliceryny stwierdzono różną wrażliwość dwóch odmian krystalicznych tej substancji. Hibbert (16) podaje, że postać nietrwała (o t. t. 20°) jest nieco mniej czuła niż postać trwała (t. t. $13,2^\circ$). Potwierdzenie tego spostrzeżenia dał ostatnio Hackel (15) w pracy nad własnościami dwóch odmian nitrogliceryny*).

e) Wielkość kryształów, stopień ich rozdrobnienia ma bardzo duży wpływ na czułość substancji wybuchowych. Już Lenze (17) podaje, że w przypadku kwasu pikrynowego najczulszą okazała się substancja stopiona i następnie sproszkowana; najmniej czułą — substancją grubokrystaliczną. Snitko (18) potwierdza te spostrzeżenia na przykładzie trotylu i tetrylu.

*) Praca wykonana w Zakładzie Technologii Materiałów Wybuchowych Politechniki Warszawskiej.

Przeciwnie Wenzelberg (19) znajduje, że w przypadku nitrozwiazków takich jak: trotyl, kwas pikrynowy, trójnitrorezorcyna, chlorek pikrylu, dwunitrofenol, niema wyraźnej różnicy między czułością substancji drobno sproszkowanej i gruboziarnistej.

Wpływ wielkości kryształów jest zato wyraźnie widoczny w przypadku substancji bardzo czułych np. materiałów inicjujących. Jest on przytem odwrotny do zanotowanego wyżej.

Tak więc np. Wöhler (20) znajduje, że zwiększenie wielkości kryształów azotku ołowiu powoduje wzrost czułości. Kryształy azotku rtęci długości 3 mm grubości 0,25 mm wybuchają przy przełamaniu lub od dotknięcia piórkim. Kryształy mniejsze, grubości 0;1 mm wybuchają dopiero od uderzenia ciężaru 0,600 kg z wysokości 65 mm. Bardzo drobny pył potrzebuje już wysokości 200 mm.

Różnice wielkości kryształów azotków rozmaitych metali utrudniały też porównywanie wrażliwości ich na uderzenie i uzależnianie jej od wewnętrznej energii substancji, co też Wöhler zaznacza w swych badaniach.

f) Wpływ temperatury na czułość był zanotowany już w 1894 przez Cronquista (21), który z pomocą prymitywnego karkarka, znajduje nieco większą czułość nitrogliceryny w 15° niż w 30°.

Według Gody (22) dla nitrogliceryny: w 16° potrzeba 0,2 kgm, w 94° — 0,1 kgm, w 182° wystarczy bardzo lekkie uderzenie.

Bardziej szczegółowe dane przytacza Will (23) dla szeregu nitroglicerynowych materiałów wybuchowych: dynamitu okrzemkowego, żelatyny wybuchowej, dynamitu żelatynowego. Lenze (17) znajduje taksamo, że *Donaryl* wybuchu w 30 — 40° pod wpływem słabszego uderzenia, niż w 12—14°.

Taylor i Weale (24) zbadali zależność czułości piorunianu rtęci oraz tetrazenu od temperatury, znajdując następujące dane: Piorunian rtęci wybuchu w 37° od pracy 46 uncyj. cal, a w 157,5° od — 10 uncyj. cal. Tetrazen wybuchu w 15° od pracy 76, a w 113° od — 20 uncyj. cal.

g) 1. Wpływ domieszek nieczynnych pod względem wybuchowym.

Jest rzeczą powszechnie wiadomą, że domieszka substancji twardych, utworzonych z ziaren o ostrych krawędziach (piasek, szkło mielone, wiórki metalu) w bardzo znacznym stopniu zwiększa czułość materiałów wybuchowych na bodźce mechaniczne — uderzenie i tarcie, co znalazło też praktyczne zastosowanie przy sporządzaniu mas służących do napełniania spłonek zapalających, wybuchających pod wpływem uderzenia oraz zapalników tarcowych, działających pod wpływem tarcia.

Brunswig (25) podaje, że dwunitronaftalen nie wybuchu od uderzenia ciężaru 2 kg, padającego z wysokości 2 m; jeżeli do substancji tej dodać 10% ostrego piasku — wówczas wybuch częściowy następuje pod wpływem uderzenia z wysokości 70 cm.

Snitko (26) przytacza następujące wyniki badań dokonanych w Akademii Artyleryjskiej (w Z. S. R. R.) na trotylu, zawierającym piasek:

zawartość piasku	% wybuchów od uderzenia 10 kg z wysokości 25 cm
0,01 — 0,05%	6%
0,10 — 0,15%	20%
0,20 — 0,25%	29%

Taksamo dodanie sproszkowanych metali, szczególnie cynku, cyny i ołowiu do prochu czarnego zwiększa jego czułość.

Istnieją również substancje niewybuchowe, których domieszka powoduje zmniejszenie czułości materiałów wybuchowych. Do substancji tych, zwanych pospolicie „flegmatyzatorami” należą takie jak parafina, waselina, wosk, tłuszcze roślinne i zwierzęce, sole wyższych kwasów tłuszczowych, ciecze takie jak woda, alkohol, gliceryna i t. p. Niektóre z nich znalazły zastosowanie praktyczne.

Tak więc trotyl z woskiem japońskim kwas pikrynowy z parafiną stosowany jest do napełniania pocisków przeciwpancernych, których ładunek kruszący powinien odznaczać się bardzo małą wrażliwością na uderzenie.

Bawełna strzelnicza z zawartością 20—30% wody uznawana jest za bezpieczną w transporcie, a bawełna kolodjonowa może być dopuszczona do przewozu kolejowego, o ile zawiera taką samą ilość alkoholu metylowego lub etylowego i t. p.

g) 2. Wpływ domieszek czynnych.

Pomimo, że w praktyce stosujemy przeważnie mieszanki materiałów wybuchowych, a nie czyste substancje, badania systematyczne takich mieszanek są bardzo nieliczne. W szczególności badania wrażliwości na uderzenie w zależności od składu mieszanek nie były zupełnie dokonane.

Spotykamy jedynie drobne wzmianki w tym zakresie. Tak więc Cronquist (21) znalazł, że mieszanina ciekłej gliceryny z krystaliczną posiada większą czułość, niż każdy z tych składników osobno. Badania wykonane przez *Chemisch Technische Reichsanstalt* (27) wykazały, że mieszanina 80% pentrytu z 20% nitrogliceryny jest bardziej wrażliwa na uderzenie, niż czysty pentryt.

Celem pracy niniejszej było uzupełnienie istniejącej luki w literaturze i określenie czułości szeregu mieszanek, utworzonych z rozmaitych składników — przedewszystkiem wybuchowych.

Część doświadczalna.*)

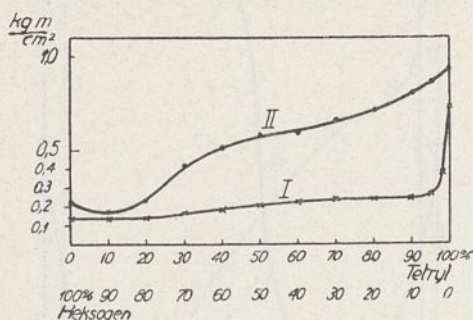
Przy wykonywaniu doświadczeń autor stosował metodę dokładnie opisaną w pracy poprzedniej (1).

Przyrządzenie mieszanin badanych było dokonywane w ten sposób, że odważone ilości składników mieszano i rozcierano dokładnie w moździerzu aż do osiągnięcia jednolitej masy, utworzonej z ziarenek średnicy od 0,1 do 0,2 mm, poczem wstawiano je do eksykatora na 1 dzień.

Badanie polegało przedewszystkiem na określeniu czułości kilku nitrozwiązków aromatycznych pod wpływem dodawania do nich heksogenu i pentrytu. Pozatem zbadano czułość mieszanin heksogenu z saletrą potasową oraz chlorkiem potasu.

I. Nitrozwiązki z heksogenem.

1. Mieszaniny tetrylu i heksogenu (tablica 1, rycina 1).



Rycina 1.

Na rysunku podane są dwie krzywe: dolna — I wyraża zależność minimalnej pracy, dającej prawdopodobieństwo 10% wybuchów, od składu mieszanek; górna — II wyraża zależność maksymalnej pracy, dającej prawdopodobieństwo 50% wybuchów od składu mieszanek.

Na wszystkich dalszych wykresach zachowujemy te same oznaczenia.

Bieg obu krzywych jest bardzo charakterystyczny i jak się okazuje wspólny wszystkim zbadanym mieszanek nitrozwiązków z bardziej czułymi substancjami wybuchowymi — heksogenem, pentrytem i nitroerytrytem.

Rozpatrzmy szczegółowo przypadek podany na rycinie 1. Dodanie do heksogenu substancji wybuchowej mniej czułej, jaką jest tetryl, powoduje niezwykle ciekawe zjawisko początkowo wyraźnego wzrostu czułości, charakteryzującego się minimum krzywej II przy zawartości 10% tetrylu. Zarazem obydwie krzywe: II i I zbliżają się do siebie bardzo, co świadczy o tem, że krzywa S, (Muraoura*) wyrażająca procentową liczbę wy-

buchów, zależną od pracy uderzenia jest krzywą bardzo stromą i minimalne zwiększenie pracy powoduje bardzo znaczne zwiększenie prawdopodobieństwa wybuchów.

Dalsze zwiększenie zawartości tetrylu zmniejsza czułość mieszanek, jednocześnie krzywe II i I stopniowo oddalają się od siebie, co jest identyczne ze zmniejszeniem kąta pochylenia krzywej S.

Bardzo charakterystyczne (w innych mieszanekach występuje ono silniej) jest zagięcie obu krzywych w pobliżu zawartości 50 — 60% tetrylu. W przypadku krzywej I zagięcie jest słabe, w przypadku krzywej II — silniejsze.

Badając bieg obu krzywych od strony czystego tetrylu znajdujemy, że dodanie niewielkiej ilości heksogenu powoduje raptowny spadek czułości, wyrażony krzywą I, natomiast krzywa II wyraża spadek względnie łagodny.

Linia S czystego tetrylu jest znów znacznie bardziej stroma niż mieszanek, zawierających nieznaczne ilości heksogenu. Obydwie krzywe składają się z trzech części. Tak więc krzywa II w części odpowiadającej mieszanekom od 0 do 30% tetrylu odpowiada dużej wrażliwości (wrażliwości czulszego składnika); w granicach zawartości 30 — 80% mamy wrażliwość średnią, wreszcie dla mieszanek zawierających 80 — 100% tetrylu znajdujemy wrażliwość mniej czułego składnika. W innych mieszanekach istnienie tych trzech części krzywej II jest bardziej wyraźne.

W przypadku krzywej I znajdujemy zasadniczo te same trzy odcinki, jednak granice ich są wyraźnie przesunięte w kierunku większych ilości tetrylu (0 — 50%, 50 — 95%, 95 — 100%).

2. Mieszaniny kwasu pikrynowego z heksogenem. — badanie wykonane przy współudziale Dr. Zb. Kapuścińskiego (tablica 2, rycina 2).

Znajdujemy zasadniczo ten sam bieg krzywych co i na rycinie 1, jedynie znacznie mniej wyraźnie występuje zagięcie krzywej II w pobliżu 50%-wych mieszanek. Pozatem dostrzegamy: zwiększenie czułości heksogenu przez dodanie do niego kwasu pikrynowego w ilości do 15%, oraz bardzo silne zwiększenie czułości kwasu pikrynowego przez dodanie do niego 10% heksogenu.

Podobnie jak w przypadku mieszanin tetrylu z heksogenem tak i tutaj krzywa S (Muraoura) jest bardzo stroma w pobliżu 90% heksogenu, następnie pochyla się coraz silniej ku osi, wyrażającej pracę uderzenia. W przypadku czystego kwasu pikrynowego kąt pochylenia jest znacznie mniejszy, niż w przypadku wszelkich mieszanek tej substancji z heksogenem.

*) Referowana w Towarzystwie Wojskowo Technicznym dn. 9/XI-35 r.

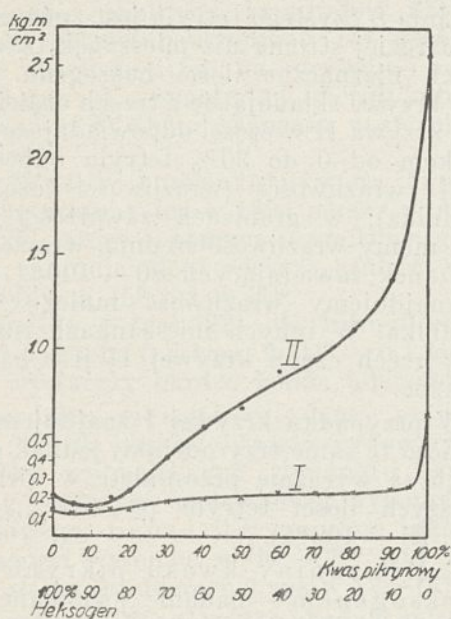
*) Patrz rycina z poprzedniej pracy¹⁾.

3. Mieszanki trójnitrotoluenu z heksogenem. (tablica 3, rycina 3).

Na obydwu krzywych dostrzegamy wyjątkowo wyraźne zagięcie w pobliżu 50%-wej mieszanki. Dzięki temu podział krzywych na trzy odcinki jest bardzo ułatwiony: przy zawartości trotylu poniżej 30% mieszanki mają wrażliwość zbliżoną do heksogenu; mieszanki o zawartości 40—90% trotylu wykazują wrażliwość pośrednią między trotylem a heksogenem, przyczem przejście od mieszanek zawierających 30% trotylu do zawierających 45% charakteryzuje się raptownym skokiem wrażliwości.

Przy przejściu od mieszanek bogatych w trotyl (ponad 90%) do czystego trotylu znajdujemy znów raptowne zmniejszanie wrażliwości.

Podobnie jak w poprzednich mieszankach, dodanie małowrażliwego trotylu do hekso-



Rycina 2.

geny powoduje uczulenie heksogenu. Dodanie znów heksogenu do trotylu powoduje raptowne zwiększenie czułości (krzywa I i II).

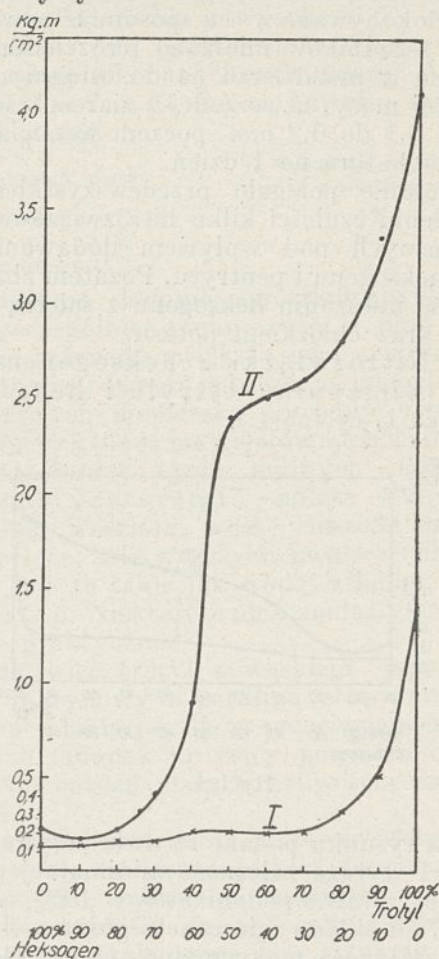
II. Nitrozwiazki z pentrytem.

4. Mieszanki tetrylu z pentrytem (tablica 4, rycina 4).

Zasadniczy kształt krzywych nie odbiega od podanych poprzednio. Różnica między układem tetryl—pentryt, a układem tetryl—heksogen polega głównie na większym obszarze mieszanek o dużej czułości. Obszar ten ogarnia mieszanki zawierające do 40% pentrytu, przyczem mieszanki zawierające 10—20% tetrylu są czulsze niż czysty pentryt.

Obszar przejściowy średniej czułości zawarty jest między mieszankami o 50—90%

trotylu. Podobnie jak w poprzednio opisanych przypadkach, dodanie pentrytu do tetrylu wywołuje raptowne zwiększenie czułości, co widoczne jest jednakowo wyraźnie na obu krzywych: I i II.

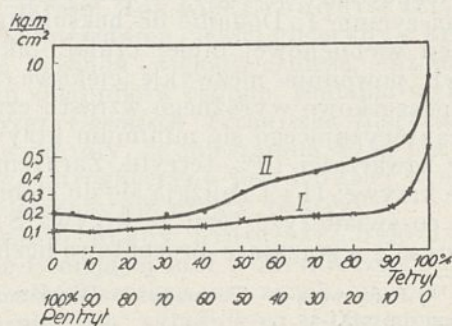


Rycina 3.

5. Mieszanki trotylu z pentrytem. (tablica 5, rycina 5).

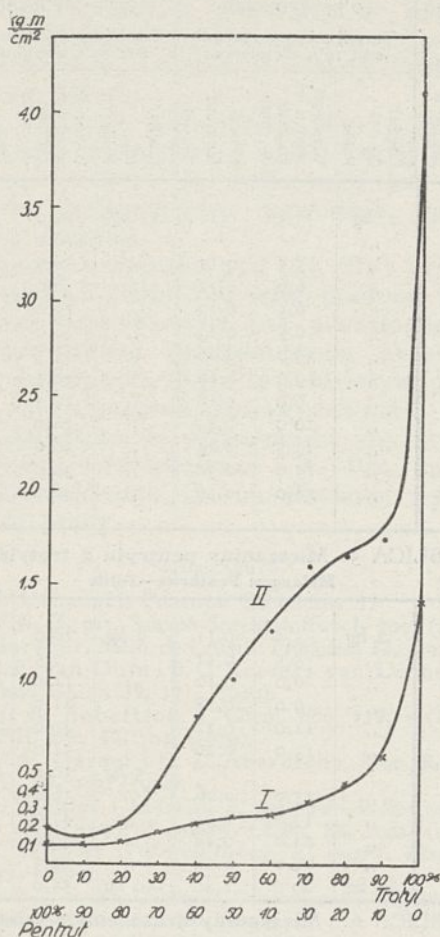
Bieg krzywej I i II przypomina ogromnie przypadek mieszanin kwasu pikrynowego z heksogenem.

Podobnie jak i tam mamy łagodne przejście (krzywa II) od mieszanek bardzo czułych do mieszanek średniej czułości. Poza-



Rycina 4.

tem obserwujemy te same zjawiska, co i w poprzednich układach: gwałtowny spadek czułości trotylu pod wpływem dodania niewielkich ilości pentrytu, uczulenie pentrytu przez dodanie do niego trotylu.

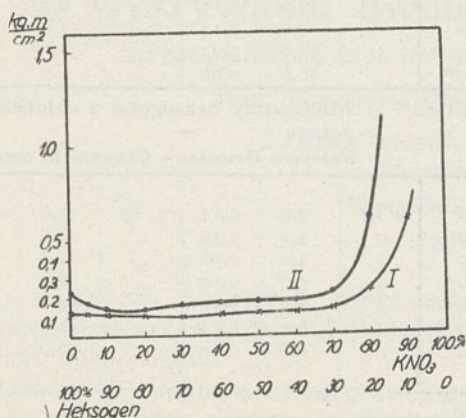


Rycina 5.

III. Substancja wybuchowa znośnikiem tlenu.

6. Mieszaniny heksogenu z saletą potasową (tablica 6, rycina 6).

Obserwacje są tu podobne do poprzednich. Dodanie salety potasowej uczula he-



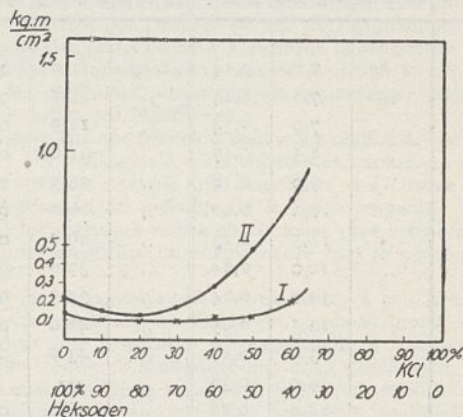
Rycina 6.

ksogen na bardzo dużej przestrzeni, obejmującej mieszanki, zawierające do 60% salety potasowej, co uwydatnia się widocznie na obu krzywych — I i II.

IV. Substancja wybuchowa z solą niewybuchową.

7. Mieszaniny heksogenu z chlorkiem potasu. (tablica 7, rycina 7).

Uczulenie heksogenu jest tutaj również bardzo silne, jednak obejmuje nieco węższy obszar, co się tłumaczy pewnego rodzaju



Rycina 7.

flegmatyzującym działaniem większych ilości chlorku potasu, wskutek czego również mieszanki o zawartości heksogenu mniejszej niż 40% wybuchają od uderzenia z dużym trudem i bardzo nierównomiernie.

Streszczenie.

Stosując metodę kafarową badania czułości materiałów wybuchowych z pewnymi wprowadzonymi poprzednio (1) ulepszeniami, dającymi dokładność pomiarów do 10% autor zbadał wrażliwości na uderzenie szeregu mieszanek, składających się z pentrytu lub heksogenu z jednej strony a rozmaitych nitrozwiązków aromatycznych, nośnika tlenu lub soli niewybuchowej z drugiej strony.

Badanie te doprowadziły do spostrzeżeń następujących:

1) Mieszaniny dwóch substancji wybuchowych o niejednakowej wrażliwości wykazują wrażliwość zależną od składu mieszanin. Obserwujemy przytem, że mieszaniny bogate w składnik wrażliwszy są zbliżone pod względem wrażliwości do tego składnika; mieszaniny o równych ilościach obu składników lub bogatsze w składnik mniej wrażliwy, wykazują wrażliwość średnią, leżącą między wrażliwościami obu składników. Przejście od wrażliwości mieszanek bardziej wrażliwych do mniej wrażliwych charakteryzuje się dosyć wyraźnym przeskokiem (nieciągłością).

2) Jeżeli do substancji takich jak heksogen i pentryt doda się substancji wybuchowej

TABLICA 1.

Mieszanki heksogenu z tetrylem
Melanges: Hexogène—Tetryl

Skład mieszanin % wagowe heksogenu Melanges: % d'hexogène en poids:	I Min. praca dająca 10% wybuchów Travail minimum produisant 10% d'explosions			II Maks. praca dająca 50% wybuchów Travail maximum produisant 50% d'explosions		
	Ciężar kg	Poids	Praca kg m/cm ² Travail	Ciężar kg	Poids	Praca kg m/cm ² Travail
	Wysokość spadku cm Hauteur de chute	Wysokość spadku cm Hauteur de chute	Wysokość spadku cm Hauteur de chute	Wysokość spadku cm Hauteur de chute	Wysokość spadku cm Hauteur de chute	Wysokość spadku cm Hauteur de chute
100	2 kg	7,0	0,14	2 kg	11,0	0,22
90	"	7,0	0,14	"	7,5	0,15
80	"	7,0	0,14	"	11,5	0,23
70	"	8,5	0,17	"	21,0	0,42
60	"	9,0	0,18	"	25,5	0,51
50	"	10,0	0,20	"	29,0	0,58
40	"	11,5	0,23	"	29,0	0,58
30	"	12,0	0,24	"	33,0	0,66
20	"	12,0	0,24	"	35,5	0,71
10	"	12,5	0,25	"	40,0	0,80
5	"	13,0	0,26	"	43,0	0,86
2	"	19,0	0,38	"	—	—
0	"	28,0	0,56	"	46,0	0,92

TABLICA 2: Mieszanki heksogenu z kwasem pikrynowym

Melanges: Hexogène—acide picrique

	I			II		
	Ciężar kg	Poids	Praca kg m/cm ² Travail	Ciężar kg	Poids	Praca kg m/cm ² Travail
100	2 kg	7,0	0,14	2 kg	11,0	0,22
95	"	6,0	0,12	"	8,5	0,17
90	"	7,0	0,14	"	7,5	0,15
85	"	7,0	0,14	"	10,5	0,21
80	"	7,0	0,14	"	12,0	0,24
70	"	9,5	0,19	"	21,0	0,42
60	"	10,0	0,20	"	29,0	0,58
50	"	10,5	0,21	"	34,0	0,68
40	"	12,0	0,24	"	44,0	0,88
30	"	12,0	0,24	"	48,0	0,96
20	"	12,0	0,24	"	55,0	1,10
10	"	13,0	0,26	"	68,0	1,36
5	"	13,0	0,26	—	—	—
0	"	32,0	0,64	10 kg	35,0	2,55

TABLICA 3: Mieszanki heksogenu z trotylem

Melanges: Hexogène—Tolite

	I			II		
	Ciężar kg	Poids	Praca kg m/cm ² Travail	Ciężar kg	Poids	Praca kg m/cm ² Travail
100	2 kg	7,0	0,14	2 kg	11,0	0,22
90	"	7,0	0,14	"	8,0	0,16
80	"	8,5	0,17	"	10,5	0,21
70	"	8,0	0,16	"	21,0	0,42
60	"	11,0	0,22	5 kg	30,0	0,95
50	"	11,0	0,22	10 kg	32,0	2,40
40	"	11,0	0,22	"	34,0	2,50
30	"	11,0	0,22	"	36,0	2,60
20	"	17,0	0,34	"	39,0	2,80
10	"	26,0	0,52	"	44,0	3,35
0	10 kg	20,0	1,40	"	55,0	4,10

TABLICA 4.

Mieszanki pentrytu z tetrylem
Melanges: Penthrite—Tetryl

Skład mieszanin % pentrytu Melanges: % de pentrite en poids	I Min. praca dająca 10% wybuchów Travail minimum produisant 10% d'explosions			II Maks. praca dająca 50% wybuchów Travail maximum produisant 50% d'explosions		
	Ciężar kg	Poids	Praca kg m/cm ² Travail	Ciężar kg	Poids	Praca kg m/cm ² Travail
	Wysokość spadku cm Hauteur de chute	Wysokość spadku cm Hauteur de chute	Wysokość spadku cm Hauteur de chute	Wysokość spadku cm Hauteur de chute	Wysokość spadku cm Hauteur de chute	Wysokość spadku cm Hauteur de chute
100	2 kg	5,5	0,11	2 kg	10,0	0,20
95	"	—	—	"	10,0	0,20
90	"	5,5	0,11	"	8,5	0,17
80	"	6,0	0,12	"	8,0	0,16
70	"	6,5	0,13	"	10,0	0,20
60	"	6,5	0,13	"	10,0	0,20
50	"	8,0	0,16	"	15,5	0,31
40	"	9,0	0,18	"	18,5	0,37
30	"	9,0	0,18	"	20,5	0,41
20	"	10,0	0,20	"	24,0	0,48
10	"	11,5	0,23	"	26,0	0,52
5	"	15,0	0,30	"	30,0	0,60
0	"	28,0	0,56	"	46,0	0,92

TABLICA 5: Mieszanki pentrytu z trotylem
Melanges: Penthrite—Tolite

	I			II		
	Ciężar kg	Poids	Praca kg m/cm ² Travail	Ciężar kg	Poids	Praca kg m/cm ² Travail
100	2 kg*	5,5	0,11	2 kg	10,0	0,20
90	"	5,5	0,11	"	7,5	0,15
80	"	6,0	0,12	"	11,0	0,22
70	"	9,0	0,18	"	21,0	0,42
60	"	11,0	0,22	"	40,0	0,80
50	"	13,0	0,26	"	51,0	1,02*
40	"	13,0	0,26	5 kg	30,0	0,95*
30	"	17,0	0,34	"	39,0	1,25
20	"	22,0	0,44	"	47,0	1,60
10	"	29,0	0,58	"	49,0	1,65
0	10 kg	20,0	1,40	10 kg	55,0	4,10

TABLICA 6: Mieszanki heksogenu z saletą potasową

Melanges: Hexogène—Nitrate de potassium

	I			II		
	Ciężar kg	Poids	Praca kg m/cm ² Travail	Ciężar kg	Poids	Praca kg m/cm ² Travail
100	2 kg	7,0	0,14	2 kg	11,0	0,22
95	"	6,5	0,13	"	9,5	0,19
90	"	6,0	0,12	"	7,0	0,14
80	"	6,0	0,12	"	6,5	0,13
70	"	5,0	0,10	"	8,0	0,16
60	"	6,0	0,12	"	8,5	0,17
50	"	6,0	0,12	"	8,5	0,17
40	"	6,0	0,12	"	9,0	0,18
30	"	7,0	0,14	"	11,0	0,22
20	"	12,0	0,24	"	31,0	0,62
10	"	30,0	0,60	"	—	—

TABLICA 7: Mieszanki heksogenu z chlorkiem potasu

Melanges: Hexogène—Chlorure de potassium

	I			II		
	Ciężar kg	Poids	Praca kg m/cm ² Travail	Ciężar kg	Poids	Praca kg m/cm ² Travail
100	2 kg	7,0	0,14	2 kg	11,0	0,22
90	"	5,0	0,10	"	8,0	0,16
80	"	5,0	0,10	"	6,5	0,13
70	"	5,0	0,10	"	9,0	0,18
60	"	6,0	0,12	"	14,0	0,28
50	"	6,0	0,12	"	24,5	0,49
40	"	10,0	0,20	"	37,0	0,74

*) Przeciętnie z oznaczenia ciężaru 2 kg i 5 kg — 0,99 kgm/cm².

mniej wrażliwej, jak np. tetryl, trotyl, kwas pikrynowy w ilości do 10%, to osiąga się zwiększenie czułości heksogenu i pentrytu.

3) Zwiększenie czułości osiąga się również przez dodanie do heksogenu nośnika tlenu takiego jak saletra potasowa w ilości do 60% oraz przez dodanie soli niewybuchowej i nie biorącej udziału w reakcji takiej jak chlorek potasu.

4) Dodanie niewielkich ilości (do 5%) substancji wybuchowej czulej takiej jak heksogen, pentryt do małowzrostowej jak nitrozwiazki aromatyczne powoduje znaczny wzrost czułości.

Zjawiska opisane pod (2), (3) i (4) mają niewątpliwie jedno i to samo podłoże: wzrost czułości spowodowany jest prawdopodobnie oddziaływaniem mechanicznym kryształów obcej substancji, które to oddziaływanie polega na zwiększeniu tarcia wewnątrz masy.

Korzystam ze sposobności aby wyrazić serdeczne podziękowanie P. Plk. inż. S. Witkowskiemu za umożliwienie wykonania tej pracy.

Literatura.

1. T. Urbański, Przemysł Chemiczny 19
2. Will, Z. ges. Schiess-Sprengstoffw. 1, 209, (1906).
3. Muraour, Mém. de l'Artill. Française 12, 559, (1933).
4. C. F. van Duin i B. G. Roeters van Lennep, Rec. Trav. Ghim. 39, 171, (1920).
5. Sir R. Robertson, J. Chem. Soc. 119, 1 (1921).
6. Will, Ber. 47, 704, (1914).
7. W. E. Garner i C. L. Abernethy, Proc. Roy. Soc. [A], 99, 213, (1921).
8. L. Wöhler i Martin, Z. ges. Schiess-Sprengstoffw. 2, 181, (1907); Z. angew. Chem. 24, 2092, (1911).
9. L. Wöhler i Wenzelberg, Z. angew. Chem. 46, 173, (1933).
10. Nobel, według Naouma, Nitroglycerin u. Nitroglycerinsprengstoffe, str. 126, (1924).
11. Mowbrey według Naouma, ibid.
12. Beckerhinn według Naouma, ibid.
13. Hess, Mitt. Artill. u. Geniewesen. 1876, 213.
14. Will, Z. Berg-Hütten u. Salinen-Wes. 1905, 26.
15. J. Hackel, Praca nieogłoszona (dysertacja — Warszawa, 1935).
16. Hibbert, Z. ges. Schiess-Sprengstoffw. 9, 305, (1914).
17. F. Lenze, Atti VI Congr. intern. 2, 522, (1907).
18. Snitko, Teoria wzrywczych wieszcstw. str. 35, Leningrad, (1934).
19. O. Wenzelberg, dysert. Darmstadt 1930. str. 25.
20. L. Wöhler, Ber. 46, 2045, (1913).
21. Cronquist, Berg- u. Hütten. Z. 1894, 221.
22. Gody, Matières explosives, str. 271, (1896).
23. Will, Ber. V Intern. Kongress 2, 421, (1903).
24. Taylor i Weale, Proc. Roy. Soc. [A], 138, 92, (1932).
25. Brunswick, Explosivstoffe, Lipsk 1923 str. 11.
26. Snitko, ibid., str. 37.
27. Jahresber. Chem. Techn. Reichsanstalt, 8, 121, (1929).

RESUME:

Au moyen de la méthode du mouton qui a été antérieurement modifiée par l'auteur en vue de l'augmentation de la précision des essais l'auteur a examiné la sensibilité au choc de quelques mélanges composés de penthrite et d'hexogène avec les différents nitrocomposés aromatiques ainsi qu'un nitrate ou un sel indifférent.

Les essais ont permis d'établir les régularités suivantes:

1) Un mélange de deux substances explosives à sensibilités inégales possède une sensibilité qui change suivant la composition du mélange de la façon suivante:

a) les mélanges riches en composé plus sensible possèdent une sensibilité du même ordre que le composé plus sensible;

b) les mélanges ayant des quantités à peu près égales des deux composés, ou riches en composé moins sensible possèdent une sensibilité correspondante à une sensibilité moyenne (entre la sensibilité des deux composants).

Le passage de la sensibilité des mélanges plus sensibles aux mélanges moins sensibles peut être quelquefois très brusque, s'accroissant sur les courbes: sensibilité—composition par une discontinuité nette (fig. 3, 5). Parfois cependant il peut être plus doux (fig. 1, 2, 4).

2) En ajoutant à la penthrite ou à l'hexogène une certaine quantité (ne dépassant pas 10 p. c.) d'un explosif moins sensible comme le tetryl, la tolite, l'acide picrique — on augmente la sensibilité de la penthrite ou de l'hexogène.

3) On obtient une forte augmentation de la sensibilité d'un explosif au choc par l'addition des sels tels que NO_2K ou ClK . Dans le cas de la penthrite et de l'hexogène la quantité des sels serait de 5 à 60 p. c.

4) L'addition d'une toute petite quantité (moins de 5 p. c.) d'un explosif très sensible (comme la penthrite, l'hexogène) aux explosifs peu sensibles comme les nitrocomposés aromatiques provoque une augmentation nette de la sensibilité.

On peut généraliser la cause du fait décrit sous (2), (3) et (4) comme suit: l'augmentation de la sensibilité d'un explosif au choc pourrait être attribuée à l'action mécanique des cristaux étrangers qui provoquent l'accroissement de la friction au sein de la masse explosive.

O wykrywaniu dwuacetylu w tłuszczach jadalnych

La détermination de la présence du diacétyle dans les graisses comestibles

Mag. KRYSZYNA PRZYBYSZEWSKA-SPORZYŃSKA

Z Działu Badania Żywności i Przedmiotów Użytku
Państwowego Zakładu Higjenu

Kierownik Działu: Dr. S. KRAUZE

Nadeszło 30 marca 1936

Na rynkach krajowych coraz częściej spotyka się tłuszcze jadalne, fałszowane dodatkami dwuacetylu.

Dwuacetyl¹⁾, znany w literaturze chemicz-

nej pod nazwą dwumetylogliksalu, jest to ciecz zielonkawa-żółta, o cięż. wł. 0,9734 (22°) i temperaturze wrzenia 87,5°—88°. Rozpuszcza się łatwo w wodzie (1 część dwuacetylu w 4 częściach wody), w alkoholu i chloroformie. Posiada bardzo silny, swoisty

¹⁾ Beilstein, t. I, str. 1015 (1905).

zapach, w dużym stężeniu bardzo nieprzyjemny, w wielkich zaś rozcieńczeniach, w dawkach nieprzekraczających kilku *mg* zapach ten jest miły, charakterystyczny dla masła. Stąd pochodzi najczęściej spotykana nazwa handlowa niemiecka: *Bulleraroma*. Dzięki tej własności używa się często dwuacetylu w przemyśle spożywczym, szczególnie margarynowym.

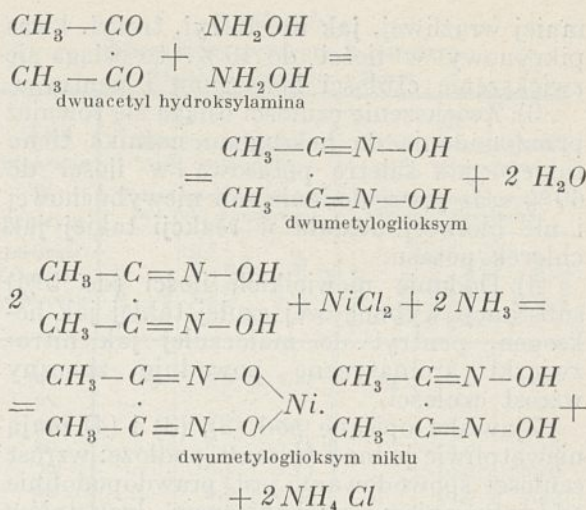
Rozporządzenie Ministra Spraw Wewnętrznych z dnia 21. 7. 30. (Dz. U. R. P. Nr. 53, poz. 453) zabrania dodawania do tłuszczów roślinnych, zwierzęcych, zestalonych i mieszanych, jakichkolwiek środków zapachowych. W Niemczech dopuszczalny jest dodatek tych substancji do tak zwanych tłuszczów sztucznych (*Kunstspeisefette*).

W ostatnich latach zajęto się kwestją badania rozmaitych produktów spożywczych na obecność dwuacetylu. Jako pierwszych badaczy w tej dziedzinie wymienić należy: Testoni i Ciusa²⁾, Vizerna i Guillota³⁾, Schmalfussa⁴⁾ i Barthmayera⁵⁾.

Obecność dwuacetylu stwierdzono w następujących produktach⁶⁾: w maśle, miodzie, tytoniu, moczu, przy procesach palenia (w palonej kawie), lub przy silnym ogrzewaniu węglowodanów. Fizjologowie uważają go za produkt bakteryjnej przemiany materji. Hoduje się specjalne szczepy bakterij⁷⁾, które wytwarzają przede wszystkim bardzo duże ilości butylenoglikolu i metyloacetylokarbinolu; utlenianie się następuje tych produktów do dwuacetylu następuje bardzo powoli, tak, że dwuacetyl w poszczególnych produktach znajduje się w nieznacznych ilościach. Np. w świeżym maśle według Schmalfussa (l. c.) ilość dwuacetylu w 1 *kg* masła waha się w granicach od 0,0002 *g* w październiku do 0,0006 *g* w maju.

Ze wszystkich znanych i wypróbowanych metod wykrywania dwuacetylu, najdokładniejszą i najprostszą w użyciu okazała się metoda przeprowadzania dwuacetylu działaniem hydroksylaminy w dwumetylogliksym, który z solami niklu tworzy czerwony osad (reakcja Czugajewa⁸⁾).

Reakcja przebiega według następującego równania:



Jest to reakcja nadzwyczaj czuła. Wykonanie całego szeregu prób dało mi możność stwierdzenia, że czułość reakcji jest tak znaczna, że pozwala na wykrycie 0,025 *mg* dwuacetylu.

Przy wykonywaniu reakcji dla tak małych ilości dwuacetylu należy roztwór zawierający utworzoną sól dwumetylogliksymu niklu wyklócać z chloroformem. Dwumetylogliksym niklu przechodzi ilościowo do roztworu chloroformowego. Po odparowaniu chloroformu pozostaje na parownicze czerwona plama soli niklu, wolna od wszelkich zanieczyszczeń. Wielkość jej i intensywność zależy jedynie od ilości dwuacetylu w badanym roztworze. Metodę tę zastosowali w swej pracy Mohler i Herzfeld⁹⁾, którzy po przygotowaniu całego szeregu rozcieńczeń badanego roztworu dwuacetylu dochodzili do granicy czułości reakcji. Przyjmując tę granicę za 0,03 *mg*, oraz mnożąc tę ilość przez dane rozcieńczenie, otrzymywali ilość dwuacetylu, znajdującą się w badanym roztworze. Praca ich wymaga całego szeregu kolejnych oznaczeń dla przeprowadzenia jednej analizy nieznanego roztworu dwuacetylu.

Korzystając z wielu wskazówek, znajdujących się w pracy Mohlera i Herzfelda, zastosowałam pewną modyfikację, polegającą na porównywaniu wielkości i intensywności powstałej plamy dwumetylogliksymu niklu ze skalą, przygotowaną za pomocą znanych ilości dwuacetylu.

Badanie tłuszczu na zawartość dwuacetylu przeprowadzałam w sposób następujący:

50 do 250 *g* (w zależności od przypuszczalnej zawartości dwuacetylu) niestopionego tłuszczu wprowadza się do kolby destylacyjnej, połączonej z długą chłodnicą, zalewa alkoholem 96° w ilości 1/10 (objętościowo)

²⁾ Ann. fals. **25**, 459 (1932).

³⁾ Ann. chim. and chim. appl. **21**, 147 (1931) i Chem. Zentr. 1931, II, 511.

⁴⁾ Biochem. Z. **216**, 330, (1929).

⁵⁾ Z. Untersuch. Lebensm. **63**, 283 (1932) Chem. Zentr. 1932, II, 142.

⁶⁾ Häffner, Z. Untersuch. Lebensm. **70**, 117 (1935).

⁷⁾ Ann. fals. **28**, 278 (1935).

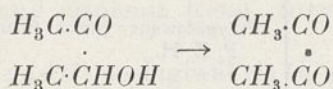
⁸⁾ Z. anorg. Chem. **46**, 144 (1905) i B. **38**, 2520 (1905).

⁹⁾ Mitt. Lebensm. Hyg. **26**, 34 (1935).

użytego do badania tłuszczu. Destylację przeprowadza się, ogrzewając w łaźni glicerynowej, której temperaturę doprowadza się do 130°, przyczem odbieralnik oziębia się lodową wodą, aby uniknąć strat bardzo lotnego dwuacetylu. Należy zwrócić uwagę na to, aby powierzchnia stopionego tłuszczu nie wystawała ponad powierzchnię gliceryny w łaźni, a następnie na temperaturę, w której odbywa się destylacja. Po przeprowadzeniu licznych badań zaobserwowałam, że wtedy, gdy termometr w kolbie destylacyjnej wskazuje 80° i alkohol zaczyna destylować, należy łaźnię silniej podgrzewać, a szyjkę kolby destylacyjnej okryć ścierką lub azbestem, gdyż w tej temperaturze dwuacetyl nie przechodzi do destylatu ilościowo. Dla uniknięcia strat Mohler i Herzfeld (l. c.) proponują nawet powtórna destylację z nową porcją alkoholu. Gdy w odbieralniku zbierze się ilość alkoholu równa tej, którą dodano do tłuszczu, należy destylację przerwać, a całą ilość destylatu przelać do rozdzielacza. Następnie dodaje się podwójną ilość wody i wyciąga trzykrotnie chloroformem (każdorazowo po 3 cm³). Do wyciągu chloroformowego dodaje się kolejno 0,5 cm³ 10%-owego wodnego roztworu chlorowodoru hydroksylaminy, 0,6 cm³ 1 n ługu sodowego, wstrząsa przez 2 minuty, a następnie dodaje 0,5 cm³ 1%-owego roztworu siarczanu niklu i 0,2 cm³ 1 n kwasu octowego. Po silnem wyklóceniu pozostawia się roztwór w rozdzielacu. Po całkowitem rozdzieleniu się warstw, co trwa około godziny, zlewa się warstwę chloroformową przez mały sącdek do parowniczk, przemywa sącdek 1 cm³ chloroformu i połączeniu przesączy odparowuje do sucha na łaźni wodnej.

Czerwona plama dwumetylogliksymu niklu wskazuje na obecność dwuacetylu.

Badając masło, lub margarynę na obecność dwuacetylu, należy zwrócić uwagę na możliwość utlenienia się metyloacetylokarbinolu na dwuacetyl



Metyloacetylokarbinol powstaje jako produkt naturalnej fermentacji przy kwaśnieniu mleka lub śmietany. Ponieważ przy fabrykacji margaryny dodaje się często mleka kwaśnego, metyloacetylokarbinol może się znajdować w niewielkiej ilości i w margarynach. W celu uniknięcia zarzutów, że przy ogrzewaniu mogło nastąpić wspomniane utlenienie, przepuszczałam przy destylacji, w myśl wskazówek Schmalfussa, (l.c.), silny strumień dwutlenku węgla.

Porównując wielkość i intensywność czerwonej plamy dwumetylogliksymu niklu ze skalą porównawczą, określa się ilość miligramów dwuacetylu w badanym produkcie, następnie wynik przelicza na 1 kg produktu.

Dla otrzymania skali porównawczej odważa się 5 razy po 100 g tłuszczu, wolnego od dwuacetylu (najlepiej czystego tłuszczu kokosowego), potem miesza się każdą próbę z 10 cm³ alkoholu 96% oraz z 1 cm³ wodnego roztworu dwuacetylu, która to ilość roztworu zawierać ma:

w I próbie	1 mg	dwuacetylu
„ II	0,75	„
„ III	0,5	„
„ IV	0,25	„
„ V	0,12	„

W powyższych mieszaninach określałam dwuacetyl w sposób podany wyżej.

Stosując się ściśle do opisanych wyżej warunków przy przeprowadzaniu doświadczenia, należy przede wszystkim zwrócić uwagę na to, aby użyte ilości chloroformu były zawsze jednakowe i aby chloroform był poddawany powolnemu odparowywaniu w parowniczkach o jednakowej średnicy, tak, aby plamy czerwone były równomiernie odparowane na dnie parowniczek. Skala taka, przechowywana w suchem i czystym miejscu, zdala od światła, nie ulega zmianie przez dłuższy okres czasu.

Próba, oznaczona Nr. V załączonej skali porównawczej, daje bardzo małą, jednak wyraźną czerwonawą plamkę. Tak przygotowana skala pozwala nam zatem na określanie 0,12 mg dwuacetylu.

Przystępując do badania jakiegoś nieznanego tłuszczu, należy zatem, na podstawie jego cech zewnętrznych (zapachu), użyć do badania takiej jego ilości, aby zawartość dwuacetylu wahała się w granicach skali (do 1 mg). Przy pewnej wprawie nie jest to trudne, tembardziej, że tłuszcze—nawet bardzo silnie perfumowane—nie zawierają więcej niż 15 mg dwuacetylu w 1 kg produktu.

Należy zaznaczyć, że metoda opracowana przez B. van Niela¹⁰⁾, a uzupełniona następnie przez Schmalfussa i Rethorna¹¹⁾, pozwala na wagowe określenie zawartości dwuacetylu w ilościach nie mniejszych jednak, niż 0,05 g.

Tłuszcze jadalne rynku warszawskiego poddałam systematycznym badaniom na obecność dwuacetylu.

¹⁰⁾ Biochem. Z. 187, 472, (1927).

¹¹⁾ Z. Untersuch. Lebensm. 70, 233, (1935).

T A B L I C A 1.

Nr. próby	Nazwa produktu	Rodzaj tłuszczu	Z a p a c h	Zawartość dwuacetylu w mg/kg
1	Axa	margaryna	dość przyjemny świeżego masła	4
2	Rekord	"	bardzo silny	10—14
3	Dama	"	słaby, dość przyjemny	4
4	Menora	"	silny	7
5	Standart-Amada	"	dość przyjemny	4
6	Triumf	"	bardzo silny	10
7	bez firmy	"	silny	6
8	bez firmy	"	silny	8
9	bez firmy	t. zw. tłuszcz piekarski	po stopieniu bardzo silny	8
10	Ogus	100% tłuszcz kokosowy	bez zapachu	0
11	Ceres	" "	" "	0
22	bez firmy	" "	" "	0

Otrzymane wyniki zebrane są w tabelicy 1.

Badając masła na obecność dwuacetylu, przekonałam się, że produkt otrzymany ze śmietany, poddanej normalnej fermentacji kwasowej, zawiera bardzo małe ilości dwuacetylu (od 0,2 mg do 1 mg dwuacetylu na

1 kg masła), natomiast masła, przygotowane za pomocą specjalnego zakwasu, zawierającego bakterje, wytwarzające bardzo duże ilości metyloacetylokarbinolu, wykazały obecność dwuacetylu w ilości 5—8 mg na 1 kg masła. Masło o tak dużej zawartości dwuacetylu (8 mg) nie jest jednak produktem

T A B L I C A 2.

Nr. próby	N A Z W A F I R M Y	Z A P A C H	Użyta ilość masła w gramach	Znaleziona ilość mg dwuacetylu	Ilość dwuacetylu w 1 kg masła	U W A G I
1	Masło Luksusowe Ml. „Drobin“	swoisty, przyjemny	250	0,2	0,8	Przygotowane przez fermę Służew P. Z. H.
1	„Lubraniec“	swoisty, przyjemny	250	0		
3	„Dla Znaców“	swoisty	250	0		
4	„Lubienica“	swoisty	250	0		
5	masło normalne	swoisty	250	0		
6	masło normalne	swoisty	500	0,2	0,4	Masła przygotowane przez Inst. Przemysłu Ferment. i Bakt. Rolnej za pomocą specjalnego szczepu bakt. wytwarzającego dużą ilość metyloacetylokarbinolu.
7	masło specjalne	bardzo silny swoisty	100	0,75	7,5	
8	masło specjalne	trochę zjeźczały	200	0		} Jak Nr. 7, badane po 2 tygodniach.
9	masło specjalne	trochę zjeźczały	500	0		
10	masło specjalne	swoisty, przyjemny	250	1,25	5,0	} Masło wyrabiane za pomocą specjalnego szczepu bakteryj.
11	bez firmy	bardzo silny	125	1,00	8,0	} Masła sprzedawane z napisem „masło z zapachem“.
12	bez firmy	bardzo silny	120	0,75	6,0	
13	„Ciechanów“	dość silny	100	0,75	7,5	

normalnym, posiada bowiem ostry, specyficzny zapach.

Większe zatem od 8 mg ilości dwuacetylu w maśle należy uważać za sztuczny dodatek wolnego dwuacetylu, sprzedawanego jako roztwór w oleju.

Wyniki badania masel zebrane są w tabelicy 2.

Porównując wyniki badań, dochodzimy do wniosku, że ilości dwuacetylu, znalezione w margarynach (4—14 mg/kg) nie mogą być w żadnym wypadku wytlómaczone dodatkiem specjalnie zakwaszonego mleka. Rozporządzenie Min. Spr. Wewn. z dnia 21. VII. 30. (Dz. U. R. P. Nr. 53, poz. 453) dozwala bowiem na dodatek 4% tłuszczu z masła do margaryn; zawartość więc dwuacetylu w 1 kg margaryny mogłaby wynosić conajwyżej 0,2—0,3 mg. Stwierdzenie zatem tak znacznych ilości dwuacetylu w badanych próbkach margaryn wskazuje niezbicie na dodatek niedozwolonego wolnego dwuacetylu przy fabrykacji tłuszczów jadalnych.

RÉSUMÉ

L'auteur présente une méthode simplifiée de détermination quantitative du diacétyle dans les matières grasses, basée sur la réaction de Czugajew et les travaux de Mohler et Herzfeld (*Mitt. Lebensm. Hyg.* 26, 34 (1935)). La méthode consiste à comparer la tache laissée par le sel de diméthylglyoxime de nickel avec un étalon préparé de la manière suivante: à une graisse qui ne renferme pas de diacétyle (graisse de coco) on en ajoute des quantités déterminées (0—1 mg); après avoir distillé avec de l'alcool, on exécute la réaction de Czugajew. A l'aide de cette méthode on peut déceler 0,12 mg de diacétyle.

Les quantités de diacétyle trouvées dans les graisses comestibles sont de 4—14 mg/kg (Tableau 1) dans le beurre ordinaire de 0—1 mg/kg, dans les beurres préparés avec de la crème préalablement fermentée (à l'aide de microbes dont l'effet est de produire de grandes quantités de méthyl-acétyl-carbinol) — jusqu'à 8 mg/kg (Tableau 2).

En examinant les graisses comestibles et les beurres en vente à Varsovie, l'auteur arrive à la conclusion que la quantité de diacétyle contenu dans le beurre normal ne doit pas dépasser 8 mg/kg et dans les graisses comestibles 0,2—0,3 mg/kg. Les grandes quantités de diacétyle qu'on trouve parfois dans les graisses comestibles (4—14 mg/kg) prouvent que le produit a été falsifié avec du diacétyle libre, ce qui est interdit par l'ordonnance du Ministre de l'Intérieur. (Dz. U. R. P. Nr. 53, p. 453).

Institut d'Hygiène d'Etat.

Laboratoire des recherches des matières alimentaires.

Szybkość rdzewienia różnych gatunków żelaza i stali w wodzie zawierającej tlen

La vitesse de formation de la rouille sur diverses sortes de fer et d'acier dans l'eau contenant de l'oxygène

Dr. WALTER BECK i mgr. EDWARD MALEC

Zakład Chemji Fizycznej Uniwersytetu Józefa Piłsudskiego

Nadeszło 14 lutego 1936

Wstęp.

Do badań szybkości rdzewienia żelaza pod działaniem atmosfery, Kröhnke¹⁾ stosował metodę objętościową, polegającą na mierzeniu zmiany ciśnienia tlenu, zużywanego na korozję.

K. Arndt²⁾ posługiwał się tą metodą, porównując szybkość rdzewienia różnych gatunków żelaza. W nowszych czasach Benghough³⁾ wykazał, że można stosować tę me-

todę także wówczas, gdy metal jest zanurzony w cieczy. W ostatnich czasach zaczęto stosować zwłaszcza w Ameryce, nieco inną metodę, polegającą na oznaczaniu zmiany stężenia tlenu, rozpuszczonego w cieczy, podczas korozji badanego metalu. Jest to metoda miareczkowa oznaczania rozpuszczonego tlenu, podana przez Winklera, którą stosował Speller⁴⁾, Forrest⁵⁾ i współpracownicy. Porównanie obu metod prowadzi do wniosku, że tlen zużywa się nie tylko na sam proces rdzewienia żelaza, lecz także na utlenianie związków żelazawych w żelazowe. Zaletą metody miareczkowej jest ta, że wydzielający się w małych ilościach wodór, powstający przez działanie wody na żelazo, nie wpływa na pomiary. Stąd wynika, że można stosować tę metodę nawet do roztworów słabo kwaś-

1) O. Kröhnke i W. Beck: *Korrosion*.

2) K. Arndt: *Feststellungen und Untersuchungen der Rost-Gefahr bei schweiseseisernen, flusseisernen und harten flusseisernen Rohren sowie bei gusseisernen Rohren*. Bericht erstattet dem Deutschen Gussrohren-Syndikat, A.-G. in Cöln, von Professor Dr.-Ing. Alwin Nachtweh in Hannover und Professor Dr. phil. Kurt Arndt in Charlottenburg, 1911.

3) G. D. Benghough: *Proc. Roy. Soc. Edinburg.* 116, 425 (1927).

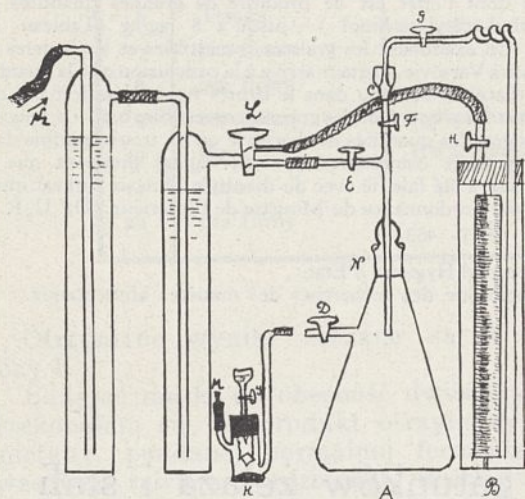
4) F. N. Speller: *J. Ind. Eng. Chem.* 15, 434 (1923).

5) H. O. Forrest: *Eng. Chem.* 22, 1197 (1930).

nych. Do celów technicznych dogodniejszą jest jednak metoda objętościowa, gdyż oznaczania miareczkowe tlenu, rozpuszczonego w cieczy, są dość uciążliwe.

Opis metody.

Praca, którą wykonaliśmy w Zakładzie Chemii Fizycznej Uniwersytetu J. P. w Warszawie, miała na celu porównanie szybkości rdzewienia różnych gatunków żelaza i stali w przyrządzie, przedstawionym na rycinie 1.

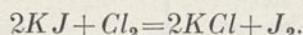
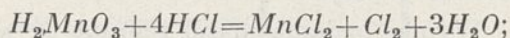
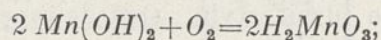


Rycina 1

Zasada przyrządu polega na metodzie miareczkowej. Do szklanego cylindra B, napełnionego wodą, nasyconą powietrzem, wstawia się odcinek rury, wypełnionej wewnątrz woskiem i oczyszczonej papierem szmerglowym. Zewnętrzna powierzchnia rury była dokładnie wymierzona. Cylinder B zamyka się szczelnie korkiem gumowym, przez który przechodzą dwie rurki szklane z kranami, za pomocą których można połączyć cylinder z właściwym przyrządem. Kran G połączony jest z cylindrem B za pomocą węzownicy, która czyni to połączenie bardziej elastycznym, co ułatwia dopasowanie szlifu lejka C. Przed waniem wody do cylindra oznaczamy w niej ilość rozpuszczonego tlenu. Po upływie pewnego czasu analizujemy wodę z cylindra, w którym odbywała się korozja danej próbki żelaza.

Analizy tlenu, rozpuszczonego w wodzie, wykonywaliśmy metodą Winklera. Metoda ta polega na tym, że określoną objętość wody w naczyniu, zamkniętym od dostępu powietrza, zadaje się wodorotlenkiem manganowym, który utlenia się do kwasu manganowego kosztem rozpuszczonego tlenu. Ilość zużytego tlenu oznacza się jodometrycznie

przez zadanie kwasu manganowego jodkiem potasu i kwasem solnym; wydzielony jod miareczkuje się tiosiarczanem sodu. Zachodzą tu następujące reakcje:



$1000 \text{ cm}^3 \text{ } 1/10 \text{ n } \text{Na}_2\text{S}_2\text{O}_3$ odpowiada $16 : 20 = 0,8 \text{ g}$ tlenu czyli $560,5 \text{ cm}^3$ w warunkach normalnych. Z różnicy ilości początkowej i końcowej tlenu, rozpuszczonego w danej objętości wody, określamy szybkość korozji żelaza. Wartość otrzymaną przeliczamy na 1 cm^2 powierzchni żelaza i z szeregu pomiarów wykreślamy krzywą, która wskazuje szybkość korozji danego gatunku żelaza.

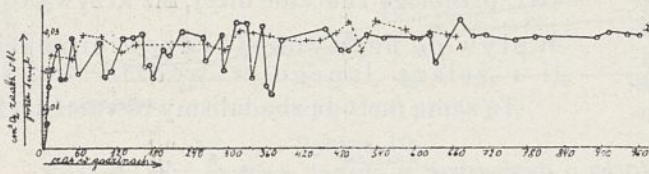
Wykonywanie analiz.

W kolbie A, zaopatrzonej w szlif N, wytwarzamy najpierw próżnię, potem łączymy kolbę A za pomocą kranu D z przyrządem K i usuwamy resztę powietrza z kolby za pomocą azotu, który przepuszczamy z bomby przez płótki z podsiarczynem sodu i pyrogalolem i przez dwudrożny kran L. Gdy azot wypełni kolbę, wtedy łączymy ją z przyrządem K, który służy do stwierdzenia, czy w kolbie znajduje się jeszcze powietrze. Azot uchodzi przez wentyl Bunsena M. Wewnątrz przyrządu zawieszony jest skrawek bibuły, zwilżony roztworem MnCl_2 , a przez korek gumowy przechodzi mały lejek, zawierający rozcieńczony ług potasowy. Lejek ten jest zakończony kapilarką, napełnioną stałym ługiem, który spływa kroplami po otwarciu kranu I. Jeżeli po waniu paru kropel ługu nie powstanie na bibule brunatne zabarwienie (utworzone przez utlenienie wodorotlenku manganowego), dowodzi to, że niema już tlenu w przyrządzie. Po usunięciu powietrza przekreślamy dwudrożny kran L tak, aby azot wchodził do cylindra B, wypierając wodę przez rurkę ze spiralką do kolby A. Po wyparciu 250 cm^3 wody z cylindra B do kolby A, zamykamy krany E i F oraz G i H i odłączamy cylinder, wyjmując rurkę ze szlifem C oraz zdejmując rurkę kauczukową przy kranie H. Wykonywamy analizę, dodając do wody najpierw ług potasowy, zawierającego jodek potasu, potem zaś chlorku manganowego i kwasu solnego. Po wydzieleniu się jodu otwieramy kolbę, przepłukujemy lejek i miareczkujemy jod. Do cylindra wlewamy świeżą wodę i postępujemy w ten sam sposób, jak poprzednio opisaliśmy. W ten sposób możemy rozciągnąć badania korozji danego gatunku żelaza na dłuższy okres czasu.

Wyniki badań.

Na wykresie 1 podaliśmy szybkości rdzewienia rur stalowych w zetknięciu z wodą. Krzywa przerywana OA wskazuje

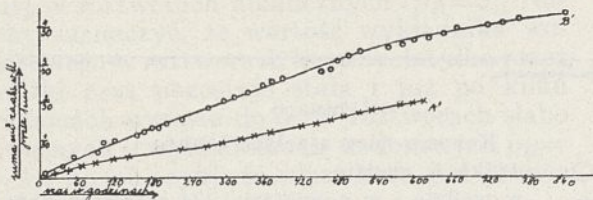
szybkości rdzewienia rury stalowej, która znajdowała się naprzemian 12 godzin w wodzie i 12 godzin w powietrzu. Należy nadmienić, że rdzewienie w powietrzu odbywa się szybciej niż w wodzie, gdyż tlen działa w tym przypadku bezpośrednio na wilgotną powierzchnię stali, podczas rdzewienia w wodzie zaś tlen musi dyfundować przez dość znaczną warstwę wody. Na wykresie (rycyna 2) podane są tylko szybkości rdzewienia w wodzie, oznaczone zapomocą wyżej opisanej metody. Przebieg krzywej OA wskazuje, że szybkość rdzewienia badanej rury stalowej w wodzie pozostaje stała, pomimo ciągłego narastania warstwy rdzy na powierzchni rury. Dowodzi to, że warstwa ta nie stanowi powłoki ochronnej na powierzchni metalu lecz jest łatwo przepuszczalna dla tlenu.



Rycyna 2.

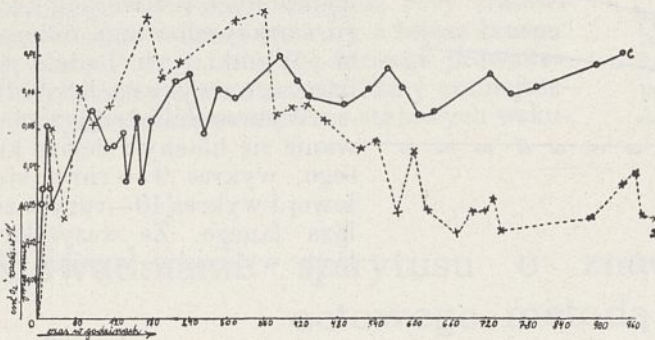
Korozja rury stalowej.

- ... tylko w wodzie
- + ... w wodzie i w powietrzu (po 360 godz.)



Rycyna 3.

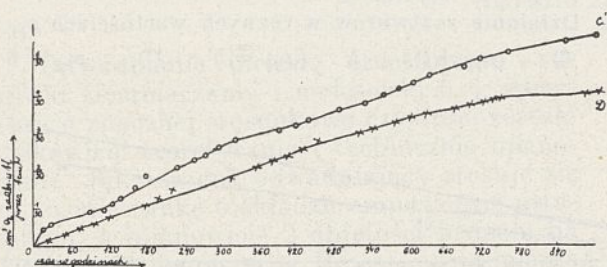
- ... tylko w wodzie.
- + ... w wodzie i w powietrzu.



Rycyna 4.

Korozja blachy żelaznej.

- ... tylko w wodzie.
- + ... w wodzie i w powietrzu (429 godz w wodzie, 520 godz w powietrzu).



Rycyna 5.

- ... tylko w wodzie.
- + ... w wodzie i w powietrzu.

Krzywa ciągła OB (rycyna 2) podaje szybkości rdzewienia rury stalowej o tym samym składzie chemicznym, która stale znajdowała się w wodzie. Charakterystyczne są perjodyczne zmiany szybkości rdzewienia, które występują również podczas rdzewienia żelaza lanego. W ogólności jednak należy stwierdzić, że średnia szybkości rdzewienia stali pozostaje stała w ciągu bardzo długiego okresu (960 godzin).

Na następnym wykresie (rycyna 3) podano całkowite ilości pochłoniętego tlenu. Krzywa OB' dotyczy rury stalowej, która się ciągle znajdowała w wodzie, krzywa OA' rury stalowej, która naprzemian znajdowała się 12 godz w wodzie i 12 godz w powietrzu. Z porównania tych dwóch krzywych wynika, że rura stalowa, która znajdowała się naprzemian w zetknięciu z wodą i z powietrzem, utlenia się wolniej niż rura, która stale znajduje się w zetknięciu z wodą.

Wykresy na rycinach 4 i 5 podają szybkości rdzewienia, względnie całkowite ilości tlenu, zużytego na rdzewienie blachy z żelaza kutego w tych samych warunkach, które podaliśmy poprzednio. A więc krzywa przerywana OD na rycinie 4 wskazuje przebieg szybkości rdzewienia żelaza kutego w wodzie w tym przypadku, kiedy blacha znajdowała się naprzemian w wodzie i w powietrzu po 12 godzin. Widzimy, że szybkość rdzewienia blachy, początkowo bardzo znaczna po 360 godzinach spada nagle do 1/3 maksymalnej wartości. Możemy więc stwierdzić, że podczas rdzewienia blachy z kutego żelaza w powietrzu powstaje spoista warstwa rdzy, dość

silnie przylegająca do powierzchni metalu i przeszkadzająca dalszemu procesowi rdzewienia.

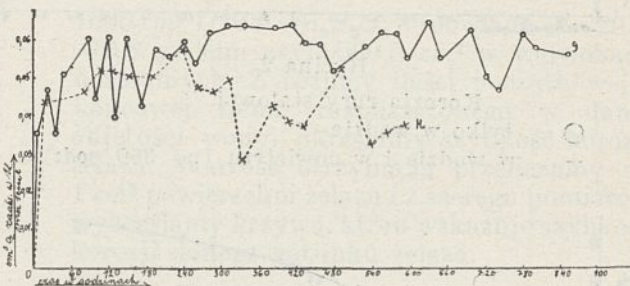
Natomiast przebieg krzywej ciągłej OC na tym samym wykresie dowodzi, że blacha kutego żelaza, pozostająca w ciągłym zetknięciu z wodą, rdzewieje w coraz szybszym tempie i jest w ogólności mniej odporna na działanie wody niż stal. Podobny wniosek możemy wyciągnąć z wykresu na rycinie 5, który podaje całkowite ilości tlenu, zużytego na rdzewienie badanej blachy. Krzywa OC', ilustrująca zachowanie się żelaza w ciągłym zetknięciu z wodą, przebiega znacznie wyżej, niż krzywa OD', ilustrująca zachowanie się tego samego żelaza podczas rdzewienia naprzemian: to w wodzie, to w powietrzu.

Wykresy na rycinach 6 i 7 podają nam zachowanie się rury z żelaza lanego podczas rdzewienia. Krzywa OH na wykresie 6 wskazuje nam, jak się zachowuje żelazo, pozostające naprzemian w zetknięciu z wodą i z powietrzem. Krzywa zaś OG na tym samym wykresie ilustruje zachowanie się żelaza lanego, znajdującego się w ciągłym zetknięciu z wodą. Krzywe OH' i OG' na wykresie 7 ilu-

po 360 godzinach szybkość rdzewienia znacznie spada; dowodzi to, że tlen powietrza, działając na żelazo, tworzy warstwę spoiłą rdzy, chroniącą je częściowo od dalszego rdzewienia. Tem można też objaśnić, że krzywa OH' przebiega znacznie niżej, niż krzywa OG'

Wpływ p_H na szybkość rdzewienia stali i żelaza lanego w wodzie.

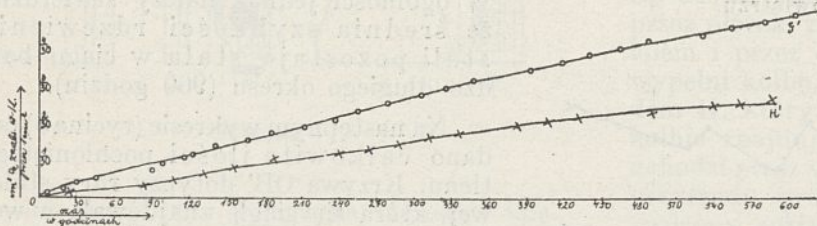
Tą samą metodą zbadaliśmy również szyb-



Rycina 6.

Korozja rury z żelaza lanego.

- ... tylko w wodzie
- + ... w wodzie i w powietrzu (234 godz w wodzie, 352 godz w powietrzu).



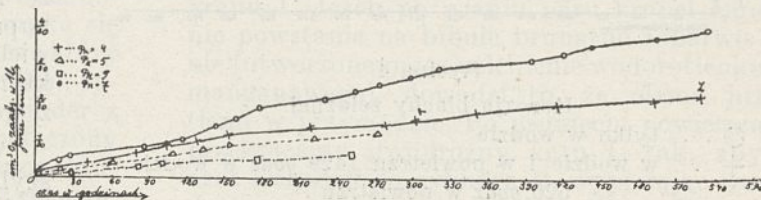
Rycina 7.

- ... tylko w wodzie.
- + ... w wodzie i w powietrzu

strują zachowanie się rury z żelaza lanego w tych samych warunkach. Łatwo zauważyć, że rura z żelaza lanego rdzewieje znacznie silniej niż rura stalowa. Już prosta obserwacja wykazuje, że żelazo lane rdzewieje równomiernie na całej powierzchni w przeciwieństwie do stali, która rdzewieje tylko w pewnych miejscach. Przebieg krzywej OG wskazuje, że szybkość rdzewienia nie zmniejsza się nawet po upływie dłuższego czasu. Polega to na tem, że rdza, powstająca na powierzchni żelaza lanego, nie chroni go od dalszego rdzewienia. Jeżeli jednak rura z lanego żelaza znajduje się naprzemian 12 godzin w wodzie i 12 godzin w powietrzu, wówczas już

kości rdzewienia różnych gatunków żelaza w bardzo rozcieńczonych roztworach kwasu siarkowego i ługu sodowego. Wyniki tych badań podane są na wykresach 8, 9, 10.

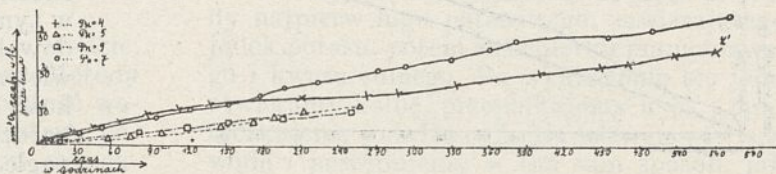
Wykres 8 ilustruje zachowanie się blachy z żelaza kutego, wykres 9 — rury stalowej i wykres 10 — rury z żelaza lanego. Ze wszystkich tych wykresów wynika, że



Rycina 8.

Blacha żelazna. Działanie roztworów w różnych wartościach p_H .

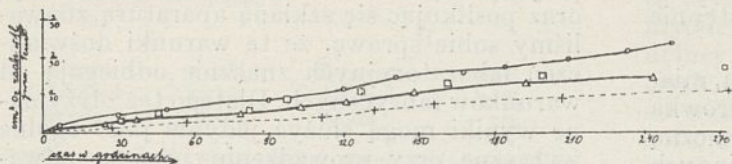
- + ... $p_H = 4$ □ ... $p_H = 9$ Δ ... $p_H = 5$ ○ ... $p_H = 6$



Rycina 9.

Rura stalowa. Działanie roztworów o różnych wartościach p_H .

korozja wszystkich trzech badanych gatunków żelaza odbywa się najszybciej w roztworze obojętnym o wykładniku wodorowym $p_H=7$,



Rycina 10.

Korozja rury z żelaza lanego w roztworach o różnych wartościach p_H .

□ ... $p_H = 4$ Δ ... $p_H = 5$ + ... $p_H = 9$ 0 ... $p_H = 7$.

slabiej w roztworach kwaśnych o wykładnikach wodorowych $p_H=4$ i $p_H=5$, a najsłabiej w roztworach alkalicznych ($p_H=9$). Należy zaznaczyć, że wartość wykładnika wodorowego w roztworach kwaśnych tylko przez krótki czas pozostaje stała i już po kilku godzinach wzrasta do 6. W roztworach słabo kwaśnych o wykładnikach wodorowych $p_H=4$ i $p_H=5$ szybkość rdzewienia jest prawie jednakowa.

Zakończenie.

Reasumując, można opisać wyniki, jak następuje: w wodzie do picia rury stalowe rdzewieją powolniej, niż rury z żelaza lanego. W okresie czasu, w ciągu którego prowadziliśmy pomiary, nie stwierdziliśmy zmniejszenia szybkości rdzewienia rur stalowych wsku-

tek powstawania rdzy na ich powierzchni (należy tu zaznaczyć, że wszystkie doświadczenia robiliśmy z rurami o powierzchni gładko wyszmerglowanej). To samo dotyczy żelaza lanego i blachy z żelaza kutego, pozostających stale w wodzie. Doświadczenia, przeprowadzone w roztworach o różnych wartościach wykładników wodorowych, wykazały, że szybkość rdzewienia jest największa w roztworze obojętnym, a najmniejsza w roztworze alkalicznym.

Szanownemu Panu Profesorowi Dr. M. Centnerszwerowi składamy serdeczne podziękowania za kierownictwo i pomoc w pracy.

ZUSAMMENFASSUNG.

Die Rostgeschwindigkeit von Stahl und verschiedenen Eisenarten in Sauerstoffhaltigem Wasser.

In der vorliegenden Arbeit wurde festgestellt:

- 1) dass Stahlröhren im Trinkwasser langsamer rosten als gusseiserne Röhren;
- 2) dass während der Dauer unserer Versuche, welche mit gut abgeschmirgelten Metalloberflächen angestellt wurden, keine Verminderung der Rostgeschwindigkeit infolge der Bedeckung der Oberfläche mit Rost eingetreten ist;
- 3) dass in Lösungen von verschiedenen p_H die Rostgeschwindigkeit am grössten in ganz neutralen Lösungen ist; sie ist kleiner in sauren und am kleinsten in alkalischen Lösungen.

Physikalisch-chemisches Institut
der Józef Piłsudski Universität. Warszawa.

Odwadnianie spirytusu o znacznej zawartości aldehydu octowego metodą azeotropową

La déshydratation par la méthode azeotropique de l'alcool contenant des quantités sensibles d'aldéhyde acétique.

S. BĄKOWSKI, E. TRESZCZANOWICZ i J. DULOWSKI

Komunikat 103

Dział Spirytusowy Chemicznego Instytutu Badawczego

Nadeszło 22 maja 1936

Odwadnianie metodą azeotropową surówki ziemniaczanej i melasowej t. j. spirytusu o znacznej stosunkowo czystości zostało całkowicie teoretycznie i technicznie opanowane. Jako środek odwadniający stosuje się m. in. mieszanę o składzie empirycznie ustalonym, a mianowicie 2 objętości benzolu na 1 objętość benzyny¹⁾. Proces odwadniania

¹⁾ Guinot. Pat. franc. 29112 (1924). Jako benzynę stosuje się frakcję zebraną w granicach wrzenia od 100—101°, lub od 101—102°.

jest tu połączony z procesem usuwania zawartego w surówkach aldehydu octowego. Mianowicie z górnej części kolumny odwadniającej odbiera się pary przedgonów, stanowiących mieszaninę heteroazeotropu trójskładnikowego z dużą ilością aldehydu octowego. Kondensat tych par przemywa się wodą, przyczem w rozdzielaczu tworzą się dwie warstwy. Aldehyd zostaje usunięty wraz z dolną warstwą, składającą się głównie z rozcieńczonego spirytusu, górna warstwa,

zawierająca czynnik azeotropujący, wraca na kolumnę odwadniająca. Warstwę dolną frakcjonuje się w specjalnej kolumnie na t. zw. „lekkie frakcje”, oraz wolny od aldehydów spirytus, który przerabia się następnie na kolumnie wzmacniającej.

Ponieważ niektóre gatunki spirytusu, mianowicie t. zw. poślednie gatunki i surówka drożdżowa, ze względu na bardzo znaczną zawartość w nich aldehydu octowego i innych zanieczyszczeń, nie znajdowały dotychczas zastosowania i stanowiły poniekąd produkt odpadkowy, wyłoniło się zagadnienie przeróbki ich na spirytus odwodniony.

Próby odwadniania i oczyszczania przeprowadzone na skalę fabryczną w aparaturze przeznaczonej do odwadniania surówek o niewielkiej zawartości aldehydów, dały wyniki negatywne. Mianowicie otrzymywany jako produkt spirytus odwodniony nie odpowiadał stawianym mu warunkom, pozatem w samym procesie fabrykacji następowały zakłócenia.

Obecność aldehydu może wpływać na przebieg procesu odwadniania w dwojaki sposób: bezpośrednio i pośrednio. Niskowrzący aldehyd octowy (o temperaturze wrzenia $20,8^{\circ}$) powoduje obniżenie temperatury na górnych półkach kolumny odwadniającej, oraz jako dobry homogenizator, utrudnia rozwarstwianie cieczy w rozdzielaczu lekkich frakcyj. W jeszcze większym stopniu wpływa obecność aldehydu na proces odwadniania pośrednio. Otrzymywany jako produkt spirytus odwodniony nie powinien mianowicie zawierać aldehydu²⁾, który tworzy stałe produkty polimeryzacji i uniemożliwia zastosowanie spirytusu jako paliwa do silników spalinowych. Dlatego też aldehyd musi być możliwie całkowicie wyodrębniony i usunięty w toku procesu odwadniania.

Celem niniejszej pracy było zbadanie na skalę laboratoryjną przebiegu odwadniania spirytusu o znacznej zawartości aldehydu. Chodziło mianowicie o ustalenie, czy i w jakim stopniu proces odwadniania azeotropowego może być jednocześnie procesem oczyszczania spirytusu. W tym celu zbadano:

1. Wpływ ilościowego składu mieszanki odwadniającej benzol-benzyna, oraz zawartości aldehydu w spirytusie wyjściowym na przebieg krzywej dystalacji w procesie odwadniania.

2. Zawartość octaldehydu w poszczególnych frakcjach, otrzymywanych podczas dystalacji azeotropowej, oraz w spirytusie odwodnionym.

3. Wpływ zawartości aldehydu na rozdział warstw w rozdzielaczu, oraz jaka ilość wody jest conajmniej potrzebna do rozwar-

stwienia i przemycia poszczególnych frakcyj heteroazeotropów i azeotropów.

Prowadząc proces odwadniania w sposób perjodyczny, z niewielkimi ilościami cieczy, oraz posilując się szklaną aparaturą, zdawaliśmy sobie sprawę, że te warunki doświadczeń laboratoryjnych znacznie odbiegają od warunków fabrycznych. Dlatego też otrzymane wyniki mogą służyć jedynie jako ogólne wytyczne przy prowadzeniu procesu odwadniania na skalę techniczną.

Część doświadczalna.

W celu zbadania wpływu składu mieszanki odwadniającej benzol-benzyna na przebieg procesu odwadniania, wykonano serje doświadczeń, stosując środki odwadniające o następującym składzie:

TABLICA I.

Nr.	Benzolu % obj.	Benzyny % obj.
1	100	—
2	66,7	33,3
3	50	50
4	—	100

Wykonano ogółem 12 doświadczeń, podając odwadnianiu spirytus o zawartości aldehydu ok. 7 g/l i 22 g/l, oraz dla porównania przebiegu krzywych dystalacji, spirytus, nie zawierający aldehydu.

Sposób prowadzenia procesu odwadniania. 1000 cm³ rektyfikatu pierwszego gatunku rozcieńczano wodą dystalowaną do mocy 92^o objętościowych³⁾, zadawano odpowiednią ilością chemicznie czystego aldehydu octowego. W zanieczyszczonym w ten sposób spirytusie oznaczano dokładnie zawartość aldehydu metodą: kolorymetryczną⁴⁾, jodometryczną⁵⁾, oraz zapomocą chlorowodoru hydroksylaminy⁶⁾.

Jako środków odwadniających używano benzolu i benzyny, które mieszano w odpowiednim stosunku. Benzol posiadał ciężar właściwy $d_{15}^{\circ}=0,879$ i granicę wrzenia 78° — $80,5^{\circ}$, był więc, praktycznie biorąc, chemicznie czystym benzenem. Skład i własności benzyny używanej do odwadniania zostały opisane w oddzielnej publikacji⁷⁾. Teoretyczną ilość środka, potrzebną do całkowitego odwodnienia spirytusu, obliczano na podstawie składu podanego przez Sidney Younga dla heteroazeotropu: benzen—alkohol—woda, oraz oznaczonego przez jednego z nas

³⁾ Przeciętą moc spirytusu poddawanego odwadnianiu.

⁴⁾ Wojciechowska-Struszyńska. Przemysł Chemiczny 14, 222, (1930).

⁵⁾ Lunge-Berl. Chem. Techn. Untersuchungs-methoden III. 870, (1923).

⁶⁾ G. Foth. Handb. Spiritusfabr. 1088 (1929); patrz również Morasco, Ind. Eng. Chem. 18, 702, (1926).

²⁾ Zawartość aldehydu nie powinna przekraczać 0,2 g/l spirytusu.

$$a'_b = \frac{a'_w \cdot V_w}{a_w \cdot V'_w - a'_w \cdot V_w}$$

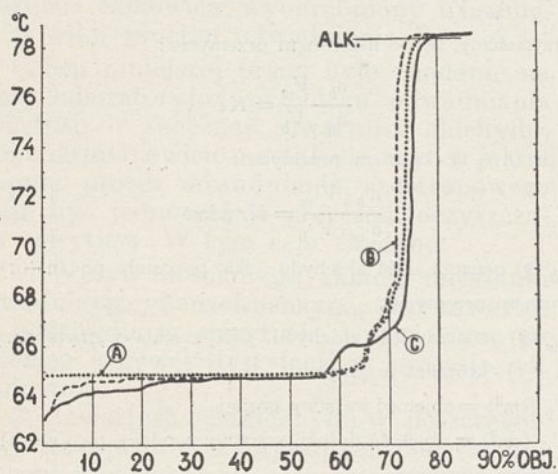
Mając oznaczone na drodze analizy a'_w oraz znając V_w , można na podstawie powyższego równania obliczyć a'_b t. j. ilość aldehydu pozostałą w warstwie górnej.

Przebieg procesu odwadniania zapomocą benzolu.

A. Odwadnianie spirytusu, niezawierającego aldehydu. Przed przystąpieniem do właściwych prób nad odwadnianiem spirytusu o różnej zawartości aldehydu, wykonano próbę odwadniania rektyfikatu rozcieńczonego do mocy 92° objętościowych. Na 904 cm³ spirytusu wzięto 1096 cm³ benzolu, co odpowiadało ilości teoretycznej plus 10% nadmiaru. Przebieg krzywej dystylacji uwidoczniony jest na wykresie (rycina 1, krzywa A).

Jak wynika z przebiegu krzywej, temperatura wrzenia początkowych frakcyj odpowiadała ściśle temperaturze wrzenia heteroazeotropu: benzen — alkohol etylowy — woda (64,85°). Dolna warstwa frakcyj azeotropu trójskładnikowego stanowiła 16% całości (patrz na tablicę 4, w rubryce A). Otrzymany spirytus odwodniony posiadał moc 98,8° objętościowych.

B. Odwadnianie spirytusu, zawierającego w litrze 7,81 g aldehydu. Stosunek ilości środka odwadniającego do ilości użytego spirytusu był taki sam, jak w poprzednich doświadczeniach. Przebieg krzywej dystylacji przedstawiono na wykresie (rycina 1, linja B). Jak wynika z przebiegu krzywej, temperatura wrzenia pierwszych



Rycina 1.

6 frakcyj była niższa od temperatury wrzenia heteroazeotropu (64,85°). Na tej podstawie frakcje te, jako zawierające znaczną ilość aldehydu, można zaliczyć do przedgonu, który stanowił ok 60% całości. Wskutek homo-

genizujących własności aldehydu dolne warstwy w pierwszych frakcjach były mniejsze, niż w przypadku odwadniania czystego spirytusu (tablica 4, rubryka 6). Zawartości aldehydu w poszczególnych frakcjach podano w tablicy 2.

TABLICA 2.

Nr. frakcji	Przemrywano za każdym razem 100 cm ³ wody	Zawartość aldehydu	
		w g	w %-ach całkowitej ilości
I	po 1-em przemyciu	3,32	64,8
	„ 2-em „	0,84	
	„ 3-em „	0,27	
	„ 4-em „	0,11	
	„ 5-em „	0,03	
	pozostało w warstwie benzolowej razem	0,011 4,581	
II	po 1-em przemyciu	0,644	13,5
	„ 2-em „	0,207	
	„ 3-em „	0,070	
	pozostało w warstwie benzolowej razem	0,036 0,957	
III	po 1-em przemyciu	0,41	7,08
	„ 2-em „	0,09	
	razem	0,50	
IV	po 1-em przemyciu	0,059	0,83
V	po 1-em przemyciu	0,176	3,10
	„ 2-em „	0,044	
	razem	0,220	
VI	po 1-em przemyciu	0,137	2,32
	„ 2-em „	0,027	
	razem	0,164	
VII	po 1-em przemyciu	0,159	3,0
	„ 2-em „	0,053	
	razem	0,212	
VIII	po 1-em przemyciu	0,116	2,18
	„ 2-em „	0,038	
	razem	0,154	
IX		0,120	1,17
X		0,056	
	łącznie	6,964	

Otrzymany spirytus odwodniony (frakcja X) posiadał moc 98,74° obj. i zawierał 0,23 g ald./l.

Jak wynika z liczb przytoczonych w tabelicy 2, aby osiągnąć możliwie dokładne przemycie (t. j. aby dojść do zawartości aldehydu w warstwie wodnej, odpowiadającej ok 0,1 g na 100 cm³, trzeba było użyć do przemycia:

I frakcji	500 cm ³ wody
II „	300 „ „
III „	200 „ „
IV „	100 „ „
V „	200 „ „
IV „	200 „ „
VII „	200 „ „
VIII „	200 „ „
IX „	100 „ „
razem 2000 cm ³ wody	

C. Odwadnianie spirytusu, zawierającego w litrze 20,16 g aldehydu. Na wykresie (rycina 1) przedstawiono graficznie przebieg dystalacji (krzywa C). Jak wynika z przebiegu krzywej, temperatura wrzenia pierwszych pięciu frakcyj była niższa od temperatury wrzenia heteroazeotropu (64,85°). Frakcje te, jako zawierające znaczną ilość aldehydu, można zaliczyć do przedgonu, który stanowił ok 50% całości. Wpływ homogenizujących własności aldehydu na zmniejszenie dolnej warstwy azeotropu został uwidoczniony liczbowo w tabelicy 4 (rubryka C).

Zestawienie zawartości aldehydu w poszczególnych frakcjach zostało podane w tabelicy 3.

TABLICA 3.

Nr. frakcji	Zawartość aldehydu	
	g	w %-ch całkowitej ilości
I	8,119	44,9
II	4,774	26,3
III	3,106	17,11
IX	1,252	6,9
V	0,213	1,18
VI	0,139	0,76
VII	0,124	0,6
VIII	0,133	0,7
IX	0,158	0,87
X	0,137	0,7

łącznie: 18,155

Otrzymany spirytus odwodniony posiadał moc 98,1° objętościowych i zawierał 0,5 g ald./l.

Aby osiągnąć dokładne usunięcie aldehydu z poszczególnych frakcyj, trzeba użyć do przemycia:

I frakcji	500 cm ³ wody
II „	500 „ „
III „	400 „ „
IV „	300 „ „
V „	200 „ „
VI „	200 „ „
VII „	200 „ „
VIII „	200 „ „
IX „	100 „ „
razem: 2,800 cm ³ wody	

W tabelicy 4 zestawione zostały dane, dotyczące %-wej zawartości warstwy dolnej w pierwszych frakcjach, otrzymanych:

1) przy odwadnianiu spirytusu czystego (rubryka A),

2) spirytusu, zawierającego 7,84 g ald./l. (rubryka B),

3) spirytusu, zawierającego 20,16 g ald./l. (rubryka C).

TABLICA 4.

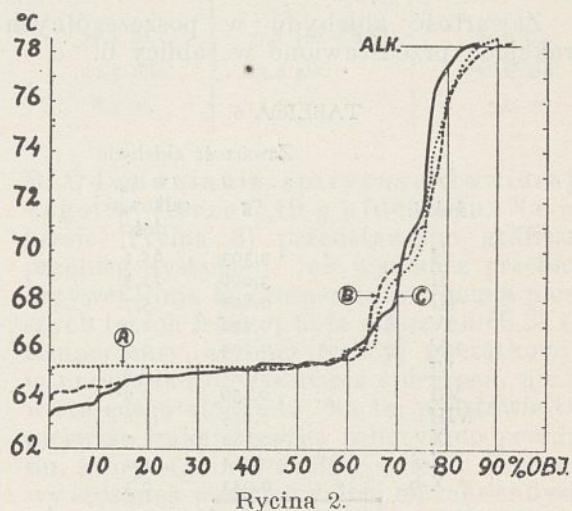
Nr. frakcji	A. (Spir. bez- aldehydowy)	B. (Spir. zaw. 7,81 g ald./l.)	C. (Spir. zaw. 20,16 g ald./l.)
	% -wa zawartość dolnej warstwy		
I	16	13,5	13
II	16	15	13
III	16	15	14,5
IV	16	15	14,5
V	16	15	14,5

Z powodu homogenizujących własności aldehydu, przy większej jego zawartości, następuje zmniejszenie warstwy dolnej dystalatu, co jest niekorzystne z punktu widzenia gospodarki cieplnej procesu.

2. Przebieg procesu odwadniania zapomocą mieszanki o składzie objętościowym: 66,7% benzolu i 33,3% benzyny.

A. Odwadnianie spirytusu, nie zawierającego aldehydu. Do odwadniania używano 890 cm³ spirytusu 92°-go i 1100 cm³ mieszanki odwadniającej, co odpowiada ilości teoretycznej plus 10% nadmiaru.

Przebieg krzywej dystalacji przedstawiono na wykresie (rycina 2, krzywa A). Jak wynika z przebiegu krzywej, temperatura



Rycina 2.

wrzenia początkowych frakcyj była wyższa od 64,85° t. j. temperatury wrzenia heteroazeotropu: benzen — alkohol etylowy — woda, a mianowicie wynosiła ok. 65,3°.

Dolna warstwa frakcji azeotropu trójskładnikowego wynosiła ok 19% całości (patrz tablicę 7, rubrykę A). Otrzymany spirytus odwodniony posiadał moc 98,6° obj.

B. Odwadnianie spirytusu, zawierającego 7,19 g aldehydu w litrze. Na wykresie (rycina 2) przedstawiono przebieg krzywej dystylacji. Jak wynika z przebiegu krzywej, temperatura wrzenia pierwszych czterech frakcyj była niższa od 65,3°, odpowiadającej temperaturze wrzenia początkowych frakcyj w przypadku odwadniania spirytusu czystego. Frakcje te można zaliczyć do przedgonu, który stanowił w danym wypadku ok. 40% całego dystylatu.

Procentowy stosunek warstwy dolnej do całości został przedstawiony w tablicy 7 (rubryka B).

W tablicy 5 zestawione są dane, dotyczące zawartości aldehydu w poszczególnych frakcjach i spirytusie odwodnionym.

Aby osiągnąć dokładne usunięcie aldehydu z poszczególnych frakcyj, trzeba było użyć do przemycia:

I frakcji	400 cm ³ wody
II "	300 " "
III "	300 " "
IV "	200 " "
<hr/>	
razem:	1200 cm ³ wody

C. Odwadnianie spirytusu, zawierającego w litrze 20,16 g aldehydu. Na wykresie (rycina 2) przedstawiono przebieg krzywej dystylacji (linja C). Temperatura wrzenia pierwszych czterech frakcyj była niższa od temp. 65,3°. Na tej podstawie frakcje te można zaliczyć do przedgonu, który stanowił około 40% całości.

Zawartość aldehydu w poszczególnych frakcjach przedstawiono w tablicy 6.

TABLICA 6.

Nr. frakcji	Zawartość aldehydu	
	g	w % całkowitej ilości
I	9,303	65,1
II	3,066	21,5
III	0,808	5,7
IV	0,272	1,9
V	0,104	0,7
VI	0,111	0,8
VII	0,136	0,9
VIII	0,255	1,8
IX	0,182	1,3
X-a	0,014	1,0
X-b	0,043	0,3
<hr/>		
łącznie:		14,294

Otrzymany spirytus odwodniony posiadał moc 98,4° objętościowych i zawierał 0,25 g ald./l.

TABLICA 5.

Nr. frakcji	Przemycano za każdym razem 100 cm ³ wody	Zawartość aldehydu	
		g	w % całkowitej ilości
I	po 1-em przemyciu	2,853	
	„ 2-em „	0,732	
	„ 3-em „	0,200	
	„ 4-em „	0,078	
	pozostało w warstwie benzol.-benzyn.	0,049	
	razem	3,912	61,1
II	po 1-em przemyciu	1,415	
	„ 2-em „	0,278	
	„ 3-em „	0,083	
	„ 4-em „	0,030	
	pozostało w warstwie benzol.-benzyn.	0,017	
	razem	1,823	28,4
III	po 1-em przemyciu	0,233	
	„ 2-em „	0,129	
	pozostało w warstwie benzol.-benzyn.	0,060	
	razem	0,432	6,7
IV	po 1-em przemyciu	0,232	
	„ 2-em „	0,028	
	„ 3-em „	0,006	
	razem	0,266	4,15
V		0,042	0,6
VI		0,011	0,2
VII		0,005	0,1
VIII		0,009	0,1
IX		0,011	0,2
X-a		0,005	0,1
X-b		0,051	0,8
	łącznie	6,627	

Otrzymany spirytus odwodniony (frakcja X-b) posiadał moc 98,3° objętościowych i zawierał 0,36 g ald./l.

Aby osiągnąć możliwie dokładne usunięcie aldehydu z poszczególnych frakcyj, trzeba było użyć do przemycia:

I frakcji	500 cm^3 wody
II „	400 „ „
III „	300 „ „
IV „	200 „ „
V „	200 „ „
VI „	200 „ „
VII „	200 „ „
VIII „	200 „ „
IX „	200 „ „
razem: 2400 cm^3 wody	

W tabelicy 7 zestawione zostały dane, dotyczące zawartości dolnej warstwy w pierwszych frakcjach, otrzymanych przy:

1) odwadnianiu spirytusu czystego (rubryka A),

2) spirytusu, zawierającego 7,19 g ald./l. (rubryka B), oraz

3) spirytusu, zawierającego 20,16 g ald./l. (rubryka C).

TABLICA 7.

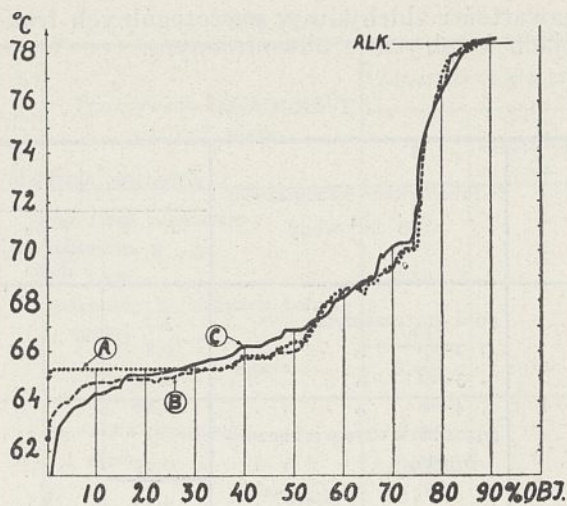
Nr. frakcji	A (Spir. bez- aldehydowy)	B (Spir. zaw. 7,19 g ald./l)	C (Spir. zaw. 20,16 g ald./l)
	% -owa zawartość dolnej warstwy		
I	19,1	16	11
II	19,2	17,5	15,5
III	19,2	18,5	17,5
IV	19,0	19,0	18,5
V	19,5	19,5	20,0
VI	21,0	21,0	21,5

Dzięki dehomogenizującym własnościom benzyny objętość warstwy dolnej jest większa w przypadku odwadniania zapomocą mieszanki benzolowo-benzynowej, niż w przypadku użycia samego benzolu. Wpływ homogenizujących własności aldehydu zaznacza się wyraźnie jedynie w pierwszych 3—4 frakcjach.

3. Przebieg procesu odwadniania zapomocą mieszanki o składzie 50% benzolu i 50% benzyny.

A. Odwadnianie spirytusu, niezawierającego aldehydu. Do odwadniania wzięto 880 cm^3 spirytusu 92^o-go i 1120 cm^3 mieszanki, co odpowiada ilości teoretycznej plus 10% nadmiaru. Krzywą dystalacji przedstawiono na wykresie (rycina 3, linia A). Jak wynika z przebiegu krzywej, temperatura wrzenia początkowych frakcji również w tym wypadku była wyższa od 64,85^o t. j. temp. wrzenia azeotropu: benzen — alkohol — woda, wynosiła mianowicie ok 65,3^o. Objętość dolnej warstwy wynosiła ok 19% całości (tablica 11, rubryka A). Otrzymany spirytus odwodniony posiadał moc 98,84^o.

W związku z zaobserwowanym podwyższeniem temp. wrzenia początkowych frakcji w wypadku użycia jako środka



Rycina 3.

odwadniającego mieszanki benzolu z benzyną, wykonano analizę frakcji: I i II.

Wyniki analizy podano w tabelicy 8, gdzie przytoczono również dla porównania dane liczbowe składu objętościowego heteroazeotropu benzen—alkohol—woda i „heteroazeotropu” benzyna—alkohol—woda. Jak wynika z porównania składów, frakcję badaną można uważać za mieszaninę dwóch wyżej wymienionych heteroazeotropów. Znając ciężary właściwe i cząsteczkowe benzenu, wody, alkoholu, temperaturę wrzenia azeotropu benzen—alkohol—woda, ciężar właściwy i pozorny ciężar cząsteczkowy benzyny, oraz temperaturę wrzenia azeotropu „benzyna—alkohol—woda”⁸⁾ można obliczyć skład molowy, a następnie temperaturę wrzenia cieczy badanej, jeśli przyjąć, że mieszanina dwóch azeotropów podlega prawu Raoult’a. Obliczona w ten sposób temperatura wrzenia wynosiła 65,5^o, wobec 65,3^o, oznaczonej doświadczalnie.

TABLICA 8.

Skład w % objętościowych		
heteroazeotrop bl.-alk.-w.	Frakcja badana	„heteroazeotrop” bz.-alk.-w.
73,2 bl.	71,1 (bl.+bz.)	64,0 bz.
20,3 alk.	23,0 alk.	31,0 alk.
6,5 w.	5,9 w.	5,0 w.

B. Odwadnianie spirytusu, zawierającego w litrze 7,19 g aldehydu. Na wykresie (rycina 3) przedstawiono graficznie przebieg dystalacji. Jak wynika z przebiegu krzywej (linia B) temperatura wrzenia pierwszych trzech frakcji była niższa od 65,3^o t. j. temperatury wrzenia frakcji początkowych w przypadku odwadniania spirytusu, nie zawierającego aldehydu. Na tej podstawie trzy pierwsze frakcje można zaliczyć do przedgonu, który stanowił ok 30% całości. Procentowy stosunek warstwy dolnej do całości dystalatu został przedstawiony w tabelicy 11 (rubryka B).

W tabelicy 9 podane są liczby, dotyczące

⁸⁾ S. Sosnowski i E. Treszczanowicz, l. c. str.

zawartości aldehydu w poszczególnych frakcjach i spirytusie odwodnionym.

TABLICA 9.

Nr. frakcji	Przemysłowano każdorazowo 100 cm ³ wody	Zawartość aldehydu	
		g	w % całkowitej ilości
I	po 1-em przemyciu	3,7	78,5
	„ 2-em „	0,8	
	„ 3-em „	0,29	
	„ 4-em „	0,10	
	pozostało w warstwie benzol.-benzyn.	0,05	
	razem	4,94	
II	po 1-em przemyciu	0,86	17,0
	„ 2-em „	0,17	
	„ 3-em „	0,04	
	razem	1,07	
III	po 1-em przemyciu	0,15	2,8
	„ 2-em „	0,03	
	razem	0,18	
IV		0,006	
V, VI VII		0,023	
VIII		0,023	
IX-Xa		0,033	
X-b		0,064	
	Łącznie we frakcjach I-Xb znaleziono	6,338	

Otrzymany spirytus odwodniony posiadał moc 98,95° objętościowych i zawierał 0,36 g ald./l.

Aby osiągnąć dokładniejsze usunięcie aldehydu z poszczególnych frakcyj, trzeba było użyć do przemycia:

I frakcji	500 cm ³ wody
II „	300 „ „
III „	200 „ „
	razem: 1000 cm ³ wody

C. Odwadnianie spirytusu, zawierającego w litrze 20,16 g aldehydu. Na rycinie 3 przedstawiono przebieg krzywej dystalacji (linja C). Poniżej 65,3° przedystylowały trzy pierwsze frakcje, co stanowi 30% całości. W tablicy 10 podano zestawienie zawartości aldehydu w poszczególnych frakcjach.

TABLICA 10.

Nr. frakcji	Zawartość aldehydu	
	g	w % całkowitej ilości
I	13,784	77,4
II	3,342	18,7
III	0,511	2,8
IV	0,075	0,4
V	0,008	0,05
VI	0,007	0,04
VII	0,005	0,03
VIII	0,01	0,06
IX	0,038	0,21
Xa	0,051	0,28
	łącznie: 17,831	

Otrzymany spirytus posiadał moc 98,38° objętościowych i zawierał 0,3 g ald./l.

Aby osiągnąć dokładne usunięcie aldehydu z poszczególnych frakcyj, trzeba było użyć do przemycia:

I frakcji	600 cm ³ wody
II „	400 „ „
III „	300 „ „
	razem: 1300 cm ³ wody

W tablicy 11 zestawione zostały dane, dotyczące dolnej warstwy w pierwszych frakcjach, otrzymanych przy:

- 1) Odwadnianiu spirytusu czystego (rubryka A),
- 2) spirytusu, zawierającego 7,19 g ald./l. (rubryka B),
- 3) spirytusu, zawierającego 20,16 g ald./l. (rubryka C).

TABLICA 11.

Nr. frakcji	A (Spir. b=aldehyd.)	B (Spir. zaw. 7,19 g ald/l)	C (Spir. zaw. 20,16 g ald/l)
	% zawartość dolnej warstwy		
I	19,2	16	15,2
II	10,4	18,2	18,0
III	19,4	19,5	19,0

4. Przebieg procesu odwadniania zapomocą benzyny.

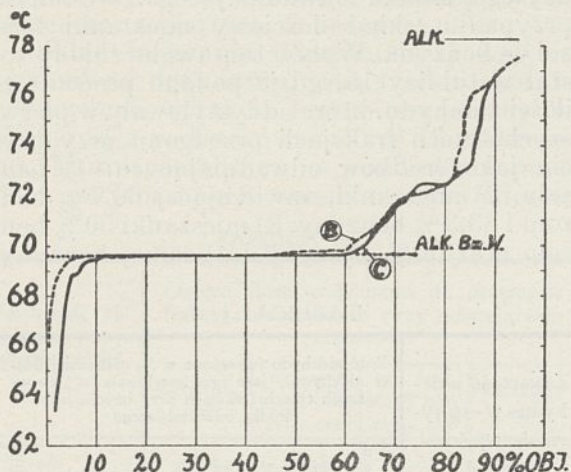
Odwadnianie spirytusu, zawierającego w litrze 7,5 g aldehydu. Ponieważ temperatura wrzenia „azeotropu” benzyna — alkohol — woda, wynosząca 69,6°, została oznaczona na podstawie poprzednio wykonanych doświadczeń⁹⁾, dodatkowej dystalacji azeotropowej spirytusu czystego z benzyną nie powtarzano, a przystąpiono od razu do odwadniania spirytusu, zawierającego w litrze 7,5 g aldehydu. Na 848 cm³ spirytusu 92°-go użyto 1152 cm³ benzyny, co odpo-

⁹⁾ S. Sosnowskii i E. Treszczanowicz, l. c. str.

wiada ilości teoretycznej plus 10% nadmiaru. W tych warunkach powinno się otrzymać¹⁰⁾ po rozdystylowaniu 2000 cm³ cieczy:

„heteroazeotropu“ trójskładnikowego . . . 1636 cm³
 „azeotropu“ dwuskładnikowego . . . 199 „
 spirytusu odwodnionego 165 „

Przebieg krzywej dystylacji przedstawiono na wykresie (rycina 4, krzywa B). Poni-



Rycina 4.

żej temperatury wrzenia „heteroazeotropu“ (69,6°) przedystylowało zaledwie 200 cm³ przedgonu (pierwsza frakcja). Jak wskazuje przebieg krzywej dystylacji, nie osiągnięto temperatury wrzenia alkoholu 78,3°, jakkolwiek teoretycznie winno było oddystylować 165 cm³ spirytusu odwodnionego.

Pozostała w kolbie ciecz posiadała ciężar właściwy 0,85, a więc wyższy od użytego do odwadniania spirytusu 92°-go. Po zadaniu wodą ciecz uległa rozwarstwieniu, co wskazywało, że prócz alkoholu zawierała ona węglowodory.

Po rozdzieleniu w rozdzielaczu warstwy górnej, przemyto nasyconym roztworem NaCl i wysuszono nad CaCl₂. Wyodrębniona w ten sposób ciecz, posiadała zabarwienie brunatne, ciężar właściwy 0,89 i wrzała w granicach od 82°—120°. Po rozdystylowaniu cieczy stwierdzono, że zawierała ona ok. 60% toluenu, pochodzącego z benzyny użytej do odwadniania.

Jak wiadomo toluen tworzy z alkoholem i wodą azeotropy wrzące w temperaturze 74,5° i 76,7°, które, ze względu na małą różnicę temperatur wrzenia, bardzo trudno jest oddzielić od spirytusu odwodnionego¹¹⁾. Zawartości aldehydu w poszczególnych frakcjach, otrzymanych w toku procesu odwadniania, przedstawiono w tabelicy 12.

Aby osiągnąć dokładne usunięcie aldehydu z poszczególnych frakcyj, trzeba było użyć do przemycia:

¹⁰⁾ Nie uwzględniając zjawiska kontrakcji.
¹¹⁾ Prawdopodobnie z tego względu w niektórych patentach (pat. hol. 31413) zastrzeżone jest stosowanie do odwadniania spirytusu benzyny, nie zawierającej węglowodorów aromatycznych.

TABELICA 12.

Nr. frakcji	Przemywano każdorazowo 100 cm ³ wody	Zawartość aldehydu	
		g	w % całkowitej ilości
I	po 1-em przemyciu	5,23	81,05
	„ 2-em „	0,173	
	„ 3-em „	0,045	
	pozostało w warstwie benzynowej	0,015	
	razem	5,463	
II	po 1-em przemyciu	0,340	5,6
	„ 2-em „	0,040	
	razem	0,380	
III	po 1-em przemyciu	0,280	4,4
	„ 2-em „	0,020	
	razem	0,300	
IV	po 1-em przemyciu	0,19	3,08
	„ 2-em „	0,018	
	razem	0,208	
V	po 1-em przemyciu	0,010	0,14
VI	po 1-em przemyciu	0,015	0,22
VII	po 1-em przemyciu	0,110	1,7
	„ 2-em „	0,010	
	razem	0,120	
VIII	po 1-em przemyciu	0,120	1,9
	„ 2-em „	0,010	
	razem	0,130	
IX		0,120	1,7
X		Zawartości aldehydów nie oznaczono	
	łącznie	6,74	
	I frakcji	300 cm ³ wody	
	II „	200 „ „	
	III „	200 „ „	
	IV „	200 „ „	
	V „	100 „ „	
	VI „	100 „ „	
	VII „	200 „ „	
	VIII „	200 „ „	
	IX „	100 „ „	
	razem: 1600 cm ³ wody		

Odwadnianie spirytusu zawierającego w litrze 22,52 g aldehydu. Przebieg krzywej dystylacji przedstawiono na wykresie (rycina 4, linja C). Poniżej temperatury 69,6° przedystylowało zaledwie 200 cm³ przedgonu (frakcja I). W tabelicy 13

podane zostały zawartości aldehydu w poszczególnych frakcjach.

TABLICA 13.

Nr. frakcji	Zawartość aldehydu	
	g	w % całkowitej ilości
I	15,277	87,3
II	0,560	3,2
III	0,126	0,72
IV	0,105	0,6
V	0,075	0,4
VI	0,170	0,97
VII	0,358	2,0
VIII	0,701	4,0
IX	0,118	0,67

łącznie: 17,490

Aby osiągnąć dokładne usunięcie aldehydu z poszczególnych frakcji, trzeba było użyć do przemycia:

I frakcji	300 cm ³ wody
II „	200 „ „
III „	200 „ „
IV „	200 „ „
V „	100 „ „
VI „	200 „ „
VII „	200 „ „
VIII „	200 „ „
IX „	100 „ „

razem: 1700 cm³ wody

W tabelicy 14 zestawiono liczby, dotyczące procentowej zawartości dolnej warstwy w pierwszych frakcjach, otrzymanych przy odwadnianiu spirytusu, zawierającego 7,5 g ald/l (rubryka B) i 22,5 g ald/l (rubryka C). Przy odwadnianiu spirytusu czystego warstwa dolna „heteroazeotropu” wynosi ok. 40% całości.

Wpływ obecności aldehydu na stosunek objętościowy warstw występuje jedynie w frakcji I, gdzie zgrupowana jest główna ilość aldehydu. Prawdopodobnie wskutek zlej rozpuszczalności aldehydu w benzynie następuje nieznaczne powiększenie dolnej warstwy kosztem górnej.

TABLICA 14.

Nr. frakcji	B. Spir. zaw. 7,5 g ald./l	C. Spir. zaw. 22,52 g ald./l.
	% zawartość dolnej warstwy	
I	41	43
II	40	40
III	40	40
IV	40	40

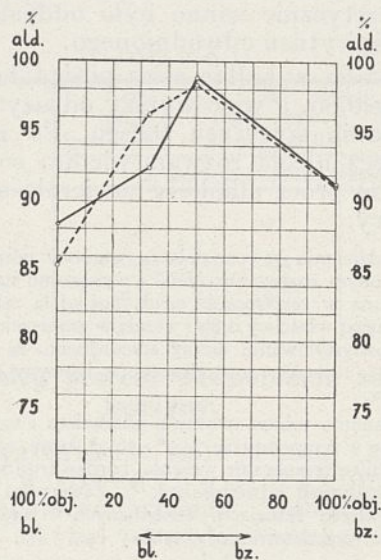
Przy odwadnianiu spirytusu o znacznej zawartości zanieczyszczeń chodzi o zgrupowanie całej ilości aldehydu w pierwszych frakcjach. Ze względu na gospodarkę cieplną

procesu należy dążyć do tego, aby przedgon, w którym zgrupowane są lotne zanieczyszczenia, był jaknajmniejszy i żeby nietylko spirytus odwodniony, lecz również azeotrop dwuskładnikowy i główna masa azeotropu trójskładnikowego były wolne od aldehydu. Jak wynika z przeprowadzonych doświadczeń, na ten podział aldehydu między poszczególne frakcje, wpływa w znacznym stopniu rodzaj użytego środka odwadniającego, w danym przypadku skład ilościowy mieszanki benzol — benzyna. Wpływ ten uwidocznił się w tabelicy 15, gdzie podano procentowe ilości aldehydu, które oddystylowały w pierwszych trzech frakcjach przedgonu przy użyciu jako środków odwadniających: 1) benzolu, 2) mieszanki, zawierającej 66,7% benzolu i 33,3% benzyny, 3) mieszanki 50% benzolu oraz 50% benzyny i 4) samej benzyny.

TABLICA 15.

Zawartość aldehydu w spirytusie wyjściowym g/l	Ilość aldehydu (wyrażona w % całkowitej ilości aldehydu), jaka przedystylowała w pierwszych trzech frakcjach przy użyciu jako środka odwadniającego			
	benzo u	m. 66,7% benzolu i 33% benzyny	m. 50% benzolu i 50% benzyny	benzyny
ok. 7 (krzywa B)	85,4	96,2	98,3	91,1
ok. 22 (krzywa C)	88,3	92,4	98,9	91,2

Graficznie wyniki doświadczeń przedstawiono na wykresie (rycina 5, krzywa B i C).



Rycina 5.

Jak wynika z danych liczbowych oraz przebiegu krzywych, najgorsze wyniki, jeśli chodzi o zgrupowanie i wydzielenie aldehydu, osiąga się, stosując jako środek odwadniający sam benzol, lepsze przy użyciu mieszanki zawierającej 33,3% benzyny, najlepsze przy

odwadnianiu zapomocą mieszanki o składzie 50% benzolu i 50% benzyny. Dalsze powiększenie zawartości benzyny w mieszance odwadniającej jest niecelowe, gdyż: 1) następuje wówczas ponownie spadek zawartości aldehydu w pierwszych frakcjach, 2) benzyna jest mniej ekonomicznym środkiem odwadniającym od benzolu.

Pozatem, stosując samą benzynę, otrzymano spirytus odwodniony, zanieczyszczony toluenem, zawartym w benzynie.

Skład mieszanki odwadniającej wpływa również na ilość wody, jaką trzeba użyć do całkowitego wymycia i usunięcia aldehydu. Widać to z podanego w tablicy 16 zestawienia, które sporządzono na podstawie poprzednio przytoczonych wyników doświadczeń.

TABLICA 16.

Zawartość aldehydu w spirytusie wyjść. g/l	Ogólna ilość wody użyta do przemycia frakcyj, otrzymanych przy odwadnianiu zapomocą:			
	benzolu cm ³	m. zaw. 33,5% ben- zyny cm ³	m. zaw. 66,7% ben- zyny cm ³	benzyny cm ³
ok. 7	2000	1200	1000	1600
ok. 22	2900	2500	1300	1700

Ponieważ w całym procesie odwadniania należy możliwie unikać wprowadzenia większych ilości wody, za najkorzystniejsze należy uważać wyniki, otrzymane przy użyciu mieszanki o składzie 50% benzolu i 50% benzyny jako środka odwadniającego.

Wnioski.

Na podstawie wyników przeprowadzonych prób można wysunąć następujące wnioski, dotyczące wpływu zawartości aldehydu w spirytusie wyjściowym, oraz składu wziętej mieszanki odwadniającej na przebieg procesu odwadniania:

1. Metoda odwadniania azeotropowego pozwala zasadniczo na otrzymanie alkoholu bezwodnego i wolnego od zanieczyszczeń nawet, jeśli stosuje się jako produkt wyjściowy spirytus o znacznej zawartości aldehydu.

2. Obecność aldehydu wpływa na obniżenie temperatury wrzenia jedynie pierwszych frakcyj, otrzymywanych w toku dystrylacji azeotropowej, nie wpływając na dalszy przebieg krzywej dystrylacji.

3. Zależnie od składu użytej mieszanki odwadniającej benzol—benzyna, wzrasta lub maleje zawartość aldehydu w przedgonach. Najlepsze wyniki, jeśli chodzi o zgrupowanie i wydzielanie aldehydu w pierwszych frakcjach, osiąga się, stosując mieszankę o składzie ok. 50% benzolu i 50% benzyny.

4. Niepożądanym składnikiem w benzynie frakcyjnej, zbieranej w granicach 100—101° i używanej do odwadniania, jest toluen,

którego azeotropy z alkoholem i wodą trudno jest oddzielić od spirytusu odwodnionego.

5. Dzięki swym własnościom homogenizującym aldehyd octowy wpływa na stosunek objętościowy warstw otrzymanego heteroazeotropu i utrudnia ich rozdzielenie.

6. Do wymycia aldehydu z frakcyj azeotropowych i oddzielenia go wraz ze spirytusem od środka odwadniającego teoretycznie należałoby użyć przy jednorazowym przemycaniu dużych ilości wody, ponieważ stosunek stężenia aldehydu, zawartego w warstwie górnej (środek azeotropujący) do stężenia aldehydu zawartego w warstwie dolnej (alkoholowo-wodnej) jest dla stałej temperatury wielkością stałą. Praktycznie wystarczyło kilkakrotnie przemycie niewielką ilością wody.

7. Do całkowitego wymycia i usunięcia znacznych ilości aldehydu z heteroazeotropu, trzeba użyć dużej stosunkowo ilości wody. Ilość ta zależy również od składu użytej mieszanki odwadniającej, mianowicie najmniej wody zużywa się, stosując do odwadniania mieszankę o składzie 50% benzolu i 50% benzyny.

Z tych wniosków, wysnutych na podstawie doświadczeń laboratoryjnych, wynikają następujące wskazówki, dotyczące modyfikacji aparatury i sposobu prowadzenia procesu przy odwadnianiu spirytusu o znacznej zawartości aldehydu w sposób ciągły, na skalę techniczną.

1. Ze względu na znaczne ilości aldehydu, jakie w toku procesu trzeba usuwać, należy powiększyć kolumnkę do przerobu lekkich frakcyj oraz kolumnę wzmacniającą.

2. Do całkowitego wymycia aldehydu z mieszanki odwadniającej, trzeba użyć znacznych ilości wody, kilkakrotnie większych, niż przy odwadnianiu surówki o niewielkiej zawartości zanieczyszczeń. Zamiast przemycia jednorazowego korzystniej jest zastosować przemycanie i rozdzielanie kilkakrotnie w kilku (2 lub 3) ustawionych szeregowo rozdzielaczach. W ten sposób, ten sam stopień oczyszczenia można osiągnąć, stosując mniejszy nadmiar wody.

3. Zamiast stosowanej mieszanki o składzie 2 objętości benzolu i 1 objętości benzyny korzystniej jest stosować, jako środek odwadniający, mieszankę o większej zawartości benzyny (n. p. 50% benzolu i 50% benzyny).

4. Benzyna frakcyjna, używana do odwadniania nie powinna zawierać węglowodorów aromatycznych, w szczególności toluenu.

ZUSAMMENFASSUNG.

Die Entwässerung von Spiritus mit einem bedeutenden Gehalt an Acetaldehyd nach der Azeotropmethode.

Ausgangsprodukt war ein künstlich mit verschiedenen Mengen von Acetaldehyd verunreinigtes Rektifikat. Der Entwässerungsprozess wurde periodisch geführt.

Geprüft wurde der Einfluss des Aldehydgehaltes im Spiritus sowie der der Zusammensetzung des zu entwässernden Gemisches auf den Verlauf der Reinigung und Entwässerung.

Es wurde festgestellt:

1. Nach dem Entwässerungsverfahren mit Hilfe der Azeotropmethode kann man auch bei grossen Gehalten an Aldehyd im Rohspiritus grundsätzlich einen wasserfreien reinen Alkohol erhalten.

2. Die Gegenwart des Aldehyds hat eine Erniedrigung des Siedepunktes nur bei den ersten Fraktionen zur Folge, während sie auf den weiteren Verlauf der Destillation ohne Einfluss bleibt.

3. Je nach der Zusammensetzung der, der Entwässerung dienenden, Benzol-Benzin-Mischung, ändert sich der Gehalt an Aldehyd im Vorlauf. Am vorteilhaftesten, zwecks Ansammlung und Abscheidung des Aldehyds in den ersten Fraktionen, ist es, mit einer Mischung etwa gleicher Volumina Benzol und Benzin zu arbeiten.

4. Unerwünscht ist im Entwässerungsbenzin, das bei 100—101° gewonnen wird, ein Gehalt an Toluol, dessen Azeotrope mit Alkohol und Wasser sich vom wasserfreien Spiritus schwer abscheiden lassen.

5. Dank seinen homogenisierenden Eigenschaften ist der Acetaldehyd von Einfluss auf das Volumenverhältnis der Schichten des erhaltenen Heteroazeotrops und erschwert deren Scheidung.

6. Um die bedeutenden Mengen des Aldehyds aus dem Heteroazeotrop auszuwaschen, sind verhältnismässig grosse Wassermengen vonnöten. Auch die Menge dieses Was-

sers ist abhängig von der Zusammensetzung des angewandten Entwässerungsgemisches: es ist nämlich am wenigsten Wasser nötig, wenn das Gemisch aus 50 Vol-% Benzol und 50 Vol-% Benzin besteht.

Bei der technischen kontinuierlichen, Entwässerung von Spiritus mit hohem Aldehydgehalt wären folgende Änderungen in der bisherigen fabrikmässigen Apparatur und in der Leitung des Prozesses notwendig:

1. Wegen der grossen Aldehydmengen die man im Laufe der Verarbeitung abzuscheiden hätte, wären die Fraktionierkolonne für die leichten Fraktionen sowie die Rektifikationskolonne zu vergrössern,

2. Zwecks vollkommen Auswaschens des Aldehyds aus der azeotropierenden Mischung, werden grosse Wassermenge gebraucht, die um ein Vielfaches grösser sind als gewöhnlich. Statt der einmaligen Waschung ist es vorteilhafter, das Auswaschen wiederholt vorzunehmen, in 2 oder 3 hintereinander aufgestellten Scheidetrichern. So kann man mit einem geringeren Wasserüberschuss den gleichen Reinheitsgrad erreichen.

3. Statt des bisher in Verwendung stehenden Entwässerungsgemisches aus 2 Volumenteilen Benzol und 1 Volumen Benzin, ist es vorteilhafter zum selben Zwecke ein Gemisch von höherem Benzingehalt (etwa ein solches aus gleichen Volumenteilen Benzol und Benzin) zu benutzen.

4. Die zur Entwässerung dienende Benzinfraction soll keine höheren aromatischen Kohlenwasserstoffe, besonders keinen Toluol, enthalten.

Badania nad przydatnością krajowego alkoholu amyłowego do celów butyrometrycznych

Sur la possibilité de faire emploi en butyrométrie de l'alcool amylique produit en Pologne

EUGENIUSZ PIJANOWSKI

Zakład Mikrobiologii i Przemysłu Rolnego Szkoły Głównej Gospodarstwa Wiejskiego w Warszawie

Nadeszło 28 października 1935.

WSTĘP.

Butyrometryczna metoda Gerbera, w przeciwieństwie do rozpowszechnionej w Ameryce Północnej metody Babcocka, wymaga, obok kwasu siarkowego, również alkoholu amyłowego w ilości 1 ml na każde oznaczenie tłuszczu. Alkohol amyłowy ułatwia z jednej strony zebranie się tłuszczu w jednolity, o ostro zarysowanej granicy dolnej i klarowny słupek prawdopodobnie dzięki zwiększeniu napięcia powierzchniowego na granicy zetknięcia w szyjce butyrometru dwóch faz: wodnej i tłuszczowej oraz z drugiej strony alkohol amyłowy sprawia, że tłuszcz ma mniejszą przyczepność do szklanych ścianek butyrometru, dzięki czemu unika się błędów, jakie mogłyby powstać przy niecałkowitem ścieknięciu tłuszczu, np. przy dokręcaniu korka.

Alkoholi amyłowych o ogólnym wzorze: $C_5H_{11}OH$ może być ośm, z czego cztery pierwszorzędowe, trzy dwurzędowe i jeden trzeciorzędowy. Różnicom budowy cząsteczki odpowiadają różnice w ciężarze właściwym

(0,810 — 0,827), punkcie wrzenia (102, 113—138) i innych własnościach fizycznych alkoholi amyłowych.

Przydatność alkoholu amyłowego dla celów butyrometrycznych wyraża się w tem, by alkohol ten nie przechodził do tłuszczu ani też nie rozpuszczał w sobie tłuszczu, co mogłoby już to powiększać, już to zmniejszać objętość słupka tłuszczu w butyrometrze. W tym celu przeprowadza się próbę kontrolną, która od normalnego oznaczenia tłuszczu różni się tem, że, zamiast mleka, wlewamy do butyrometru 11 ml wody. Po wymieszaniu i odwirowaniu nie powinno się dostrzegać żadnej warstewki, oddzielonej od fazy wodnej. Alkohol musi całkowicie przechodzić do roztworu wodnego kwasu siarkowego, z którym tworzy połączenia estrowe.

More¹⁾ zaleca sprawdzanie alkoholu amyłowego w sposób następujący: 10 ml alkoholu amyłowego zadać 10 ml HCl (c. wł. 1,16)

¹⁾ More A. Analyst. 58, 277, (1933). ref. Le Lait, 15, 289, (1935).

i wymieszać. Następne dodawanie wody do tej mieszaniny winno wywoływać zmętnienie.

Według Grimmera²⁾ do metody Gerbera najlepiej nadaje się alkohol amyłowy o wzorze: $C_2H_5.CH(CH_3).CH_2OH$ czyli metylo-etylo-karbino-karbinol o *t*. wrz. 128° i c. wł. = 0,816 (20°/4°). Alkohol ten ma jeden t. zw. asymetryczny atom węgla i dlatego jest optycznie czynny. Nazywa się go również alkoholem amyłowym fermentacyjnym, gdyż w dużej mierze reprezentuje on alkohole amyłowe, uzyskiwane z olejków fuzlowych przy rektyfikacji surówki ziemniaczanej. Produkt, otrzymany z fuzli skręca płaszczyznę polaryzacji w lewą stronę o kąt — 1,3° do — 2,1° w rurce o długości 2 dm, przyczem czysty fermentacyjny metylo-etylo-karbino-karbinol ma $[\alpha]^{20}_D = -5,9^\circ$. Jako lewo-skrętny ma jeszcze nazwę: alkohol d-amyłowy. Wykazuje on silne właściwości odurzające.

Dla celów butyrometrycznych wyłącznie stosuje się alkohol amyłowy, uzyskany z fuzli. Produkt taki, obok wyżej opisanego alkoholu d-amyłowego, w większym lub mniejszym stopniu jest jeszcze reprezentowany też przez pierwszorzędowy, alkohol amyłowy o wzorze $(CH_3)_2.CH.CH_2.CH_2OH$ czyli przez izo-butylo-karbinol lub prościej przez alkohol izo-amyłowy. Jego *t* wrz. wynosi 131° oraz *d* 20°/4° = 0,823. Jest on nieczynny optycznie. 1 l wody rozpuszcza 32,84 ml alkoholu izo-amyłowego, zaś 1 l tego alkoholu rozpuszcza w sobie 22,14 ml wody. W przeciwieństwie do alkoholu d-amyłowego pary jego drażnią błony oddechowe, zmuszając do kaszlu. Wykazuje on silne działanie trujące, 10 razy prawie silniejsze, niż alkohol etylowy³⁾.

Mając na względzie własności fizyczne dwóch omówionych alkoholi, More (1) podaje następujące granice dla alkoholu amyłowego do próby Gerbera: c. wł.: 0,813 — 0,816, *t* wrz.: 124 — 132°.

Według Herringtona⁴⁾ odpowiedni alkohol amyłowy wręcz powinien w granicach 128 — 132° oraz, oczywiście, nie powinien dawać słupka „tłuszczu” w próbie kontrolnej.

Tenże autor donosi jednak o próbkach alkoholu amyłowego, które w próbach z mlekiem dawały rezultat wyższy od rzeczywistego o 0,6 — 0,8%, podczas gdy z samą wodą dawały słupki na przestrzeni tylko 0,3 — 0,4%, wobec czego zachodzi uzasadniona obawa, że niektóre próbki alkoholu amyłowego, używane w mleczarniach, jako

niedające żadnego słupka „tłuszczu” w próbie z wodą, w rzeczywistości mogą być źródłem błędów w oznaczeniach, powodując wzrost odczytu o 0,1 do 0,3%. Wobec absolutnie niedużej zawartości tłuszczu w mleku (3—4%) błąd ten sięgać mógłby aż do 10% w stosunku do całej ilości tłuszczu w mleku.

Możliwość popełniania aż tak dużych błędów w praktyce oznaczeń tłuszczu w mleku skłoniła mnie do podjęcia prób w celu zbadania przydatności krajowych alkoholi amyłowych i to tembardziej, że z poprzednich, pojedynczych oznaczeń otrzymywałem temperaturę wrzenia około 127°, a więc poniżej wartości, podawanych przez Herringtona.

Doświadczenia.

Zbadano siedm próbek alkoholu amyłowego, dostarczanego mleczarniom przez domy handlowe i organizacje mleczarskie w Warszawie.

W każdej próbce oznaczono najpierw: 1) temperaturę wrzenia, 2) ciężar właściwy zwykle przy 15,5°, 3) polaryzację w rurce 2 dm przy 20° oraz 4) współczynniki załamania przy 16°. Poza tem z każdym alkoholem przerobiono próbę kontrolną (ślepa), nie uzyskując w żadnym wypadku oddzielnego słupka alkoholu. Wyniki oznaczeń podane są w tablicy w pierwszych czterech kolumnach, skąd wynika, że punkt wrzenia w dwóch tylko próbkach wykazuje 128°, w pozostałych zaś pięciu wynosi od 126 do 127°. Ciężar właściwy wartością przeciętną zbliża się do gęstości alkoholu d-amyłowego, wynosząc średnio 0,816 przy wahaniach od 0,814 do 0,818 (15,5°/15,5°). Ujemna polaryzacja pozostaje w zgodzie z fermentacyjnym pochodzeniem badanych próbek. W alkoholach A, B, C, D, E i F skręcenie płaszczyzny polaryzacji (światło sodowe) jest przeważnie około — 1,7°, w próbce F, dochodząc do — 2,0°. Natomiast dla alkoholu G polaryzacja jest znacznie wyższa: — 3,65°. Skręcenie właściwe dla alkoholu d-amyłowego wynosi — 5,9°. Przeliczając nasze wyniki na wartości $[\alpha]^{20}_D$, otrzymamy dla próbek od A do F około — 1,0°, zaś dla próbki G: — 2,1°. Wychodząc z założenia, że jedyna, praktycznie czynna przy polaryzacji, jest w technicznym alkoholu amyłowym zawartość alkoholu d-amyłowego, możnaby wnioskować, że badane próbki od A do F składały się w przybliżeniu w 20% z czynnego optycznie metylo-etylo-karbino-karbinolu a w około 80% z nieczynnego optycznie izo-butylo-karbinolu, zaś próbka G w około 35% z alkoholu d-amyłowego a w 65% z izo-amyłowego.

Wartość współczynnika załamania (16°) wykazała dużą stałość (1,4075 — 1,4088).

²⁾ Grimmer W. Milwirtschafliches Praktikum. Lipsk 1926, str. 47.

³⁾ Ullmann F. Enzyklopedie der technischen Chemie. wyd. II, Berlin 1928, t. I, str. 456 — 463.

⁴⁾ Herrington B. L. Journal of Dairy Science. 16, 557. (1933).

Rezultaty oznaczeń fizycznych w siedmiu próbkach alkoholu amyłowego oraz próby nad przydatnością jego do celów butyrometrycznych.

Sign. próbki	Oznaczenia fizyczne				Ilość mg tłuszczu o $d_{65/4} = 0,880$, odważona do butyrom	„1%” skali butyrometru odpowiada objętości ml	Odczyt w butyrometrze przy 65° (średnio)	Ilość mg tłuszczu otrzymana z obliczenia	Różnica między ilością znalezioną i odważoną	Wyniki oznaczeń w %	
	Temp. wrzenia 760 mm °C	Ciężar właściw. 15,5/15,5°	Polaryzacja α_{20} $l = 2$ dm	Współcz. refrakcji 16°						Poszczególne oznaczenia	Średnio dla danej próbki alk. amył.
A	127	0,818	-1,65	1,4088	510	0,1251	4,52	509	-1	99,8	100,1
					857	0,1258	7,66	862	+5	100,6	
					519	0,1250	4,60	518	-1	99,8	
B	126	0,818	-1,65°	1,4090	539	0,1250	4,84	545	+6	101,1	101,1
					533	0,1254	4,80	539	+6	101,1	
C	126	0,814	-1,65°	1,4080	671	0,1242	6,04	676	+5	100,7	100,7
					457	0,1253	4,08	460	+3	100,7	
D	127	0,817	-1,7°	1,4083	393	0,1260	3,50	398	+5	101,3	100,1
					637	0,1244	5,65	630	-7	98,9	
E	127	0,815	-1,7°	1,4075	444	0,1251	3,93	442	-2	99,6	99,8
					453	0,1247	4,085	458	+5	101,1	
					530	0,1250	4,73	531	+1	100,2	
					796	0,1247	7,09	791	-5	99,4	
F	127	0,816	-2,0°	1,4085	548	0,1250	4,88	548	0	100,0	99,9
					627	0,1252	5,605	629	+2	100,3	
					551	0,1254	4,85	546	-5	99,1	
					397	0,1253	3,515	397	0	100,0	
G	128	0,814 (20°/4°)	-3,65°	1,4 88	711	0,1252	6,34	711	0	100,0	99,8
					617	0,1250	5,485	616	-1	99,8	
					700	0,1250	6,235	699	-1	99,9	
					715	0,1247	6,34	711	-4	99,5	
Średnio	127	0,816	-2,0°	1, 084	—	0,1252	—	—	—	—	100,1

Świadczy to o braku większych różnic w konstytucji cząsteczek obecnych w badanych próbkach alkoholi amyłowych.

Przydatność alkoholi amyłowych do celów butyrometrycznych przeprowadzono na wiadomych zgóry, ilościach tłuszczu mlecznego. Tłuszcz ten zupełnie świeży, wykazał $d_{65/4} = 0,8880$.

Kontrolę rezultatów można było przeprowadzić dwójako:

1) wychodząc z założenia, że butyrometr daje na skali odsetki wagowe tłuszczu w mleku przy użyciu 11 ml mleka o średnim c. wł. = 1,032, skąd wynika, że 1% skali odpowiada $11 \cdot 1,032 / 100 = 0,1133$ grama tłuszczu oraz:

2) dokładniej przez uprzednie wymierzenie np. z pomocą rtęci objętości, reprezentowanych przez podziałki skali użytych butyrometrów i obliczanie wagi tłuszczu przez pomnożenie objętości, zajmowanej w butyrometrze, przez znany ciężar właściwy użytego tłuszczu, przy uwzględnianiu objętości, zajmowanej przez menisk.

Sposób 2) uniezależnia nas od błędów, którymi obciążona jest skala każdego butyrometru oraz od zmiennej, w pewnym zakresie, gęstości tłuszczu mlecznego i dlatego zastosowano go w tych badaniach.

Kolumna VII tablicy podaje objętości, reprezentowane przez „1%” skali poszczególnych butyrometrów od mleka. Wartości te

są przeciętne dla każdego butyrometru i uzyskane w wyniku pomiarów rtęcią objętości całej skali każdego butyrometru. Z pomiarów tych wynika, że kalibrowanie butyrometrów (7 firm niemieckich) przeprowadzane jest dość precyzyjnie. Wypadło, że „1%” skali butyrometru do mleka odpowiada średnio objętości 0,1252 ml przy wahaniach od 0,1242 do 0,1260. W stosunku do przeciętnej rozpiętość ta wynosi ok. 0,5%. Na wartości odczytu przy normalnych oznaczeniach tłuszczu w mleku błąd taki się jeszcze nie odbija, gdyż normalnie nie przekroczy jednej piątej części podziałki, wskazującej 1/10% na skali butyrometru, podczas gdy dokładność odczytu tłuszczu w warunkach praktycznych nie przekracza połowy podziałki. W opisywanych jednak badaniach nad alkoholem amyłowym dokładność odczytywania sięgała 1/10 części podziałki, co już czyniło koniecznym uwzględnienie indywidualnych błędów butyrometrów.

W ogólnym zarysie próby właściwe nad alkoholem amyłowym przeprowadzono następująco: Do sprawdzonych z pomocą rtęci i wymytych gorącą mieszaniną chromową, butyrometrów od mleka odważono z dokładnością do 0,5 mg ilości tłuszczu, zajmujące około 2/3 całej skali (400 — 800 mg), dolewano ok. 20 ml H_2SO_4 65% i 1 ml badanego alkoholu amyłowego. Po wymieszaniu butyrometry wstawiano na 5 min do wody

o 65°, znów wirowano i ponownie wstawiano do kąpielii o 65°. Odczytywano trzykrotnie wartość słupka tłuszczu z dokładnością do 1/10 części podziałki (=0,01%) poprzez przezroczyste ściany naczyń z kąpielą, dzięki czemu unikano błędów, powstających przy oziębianiu się tłuszczu wkrótce po wyjęciu butyrometru z kąpielii. Łącznie dla 7-miu próbek alkoholu amyłowego wykonano 21 oznaczeń.

Dla spotęgowania kontroli wyników, próbowałem również przeprowadzać oznaczenia bez użycia alkoholu amyłowego, wyniki jednak były niedokładne, co spowodowane było zatrzymywaniem się kropli tłuszczu powyżej skalibrowanej części butyrometrów. Wynika z tego, że alkohol amyłowy zmniejsza przyczepność tłuszczu do szklanych ścianek butyrometrów.

Przy obliczaniu wagi tłuszczu, na zasadzie objętości, zajmowanej w butyrometrze należało uwzględnić również objętość tłuszczu, znajdującą się powyżej menisku dolnego w górnej części słupka. Doświadczalnie otrzymano, że objętość ta wynosi w butyrometrze do mleka, o zakresie skali 7—9% około 0,07 ml.

Przyjmijmy teraz, że odczyt w butyrometrze wynosi n t. zw. procentów skali, v — oznacza objętość, zajmowaną przez „1%” skali, d — ciężar właściwy tłuszczu 65°/4°, V_m — objętość menisku i M — szukaną masę tłuszczu, — otrzymujemy wtedy: $M = vnd - V_md = d(vn - V_m)$; ponieważ $d = 0,888$ a $V_m = 0,07$, przeto: $M = 0,888(vn - 0,07)$. Podstawiając na v przeciętną wartość 0,1252ml, otrzymamy: $M = 0,1112n - 0,06$.

Obliczane w ten sposób wartości i wyrażone w mg podane są w kolumnie IX-ej. Wartości te wyrażano jeszcze w procentach w stosunku do, odważonych na początku, ilości tłuszczu, uzyskując w ten sposób wspólną miarę porównawczą dla wszystkich próbek alkoholu amyłowego.

Wyniki prób wypadły naogół dodatnio dla wszystkich zbadanych alkoholi amyłowych. Przeciętnie uzyskano na zasadzie odczytu w butyrometrach 100,2% odważanej ilości tłuszczu przy wahanich średnich od 99,8% do 101,1%. Tak więc 5, z ogólnej liczby siedmiu, próbek alkoholu amyłowego dało wyniki, równe praktycznie 100%, dwie zaś próbki (B i C) dały w próbie butyrometrycznej tłuszczu więcej o ok. 1%. Zaznaczyć trzeba, że, jeśli chodzi o używanie próbek B i C do oznaczania tłuszczu w mleku, to podwyższenie z tego tytułu wyników o 1% praktycznie jeszcze się nie odbija na odczycie, gdyż 1% od 3,5 (najczęstszego odsetka tłuszczu w mleku krowim), wynosi 0,035, a więc mniej, niż połowę podziałki, oznaczającej 1/10% na skali butyro-

metru, podczas gdy w praktyce odczytuje się z dokładnością do 0,5 — 1 takiej podziałki. Natomiast przy oznaczaniu % tłuszczu w maśle większy o 0,5 — 1% wynik wyraźnie daje się już zauważyć na skali tak zwanego *Productenpruefer* lub też butyrometrów precyzyjnych. Rzecz charakterystyczna, że w dwóch tych próbkach alkoholu amyłowego punkty wrzenia wypadły najniższe, wynosząc po 126°.

Streszczenie.

Ponieważ z pracy Herringtona wynika możliwość istnienia próbek alkoholu amyłowego, które z wodą będą się w próbie kontrolnej całkowicie mieszać, a w próbie z mlekiem powodować mogą wzrost wyników oznaczeń tłuszczu o ok. 0,2%, przeto aktualnym było zbadanie pod tym względem alkoholi amyłowych krajowego pochodzenia, tembardziej, że punkty ich wrzenia leżą często poniżej 128°.

Zbadano 7 próbek alkoholu amyłowego fermentacyjnego, pochodzenia krajowego. W pierwszej tylko wrz. wyniosła 128°, w pozostałych wynosiła od 126 do 127°. Cięż. wł. (15,5/15,5) wypadł na 0,816 przy wahanich od 0,814 do 0,818; polaryzacja przy $l = 2dm$ od $-1,65°$ do $-3,65°$, współczynniki załamania od 1,4075 do 1,4088.

Przydatność alkoholi amyłowych do celów butyrometrycznych stwierdzono w tłuszczu o wiadomym c. wł. i w butyrometrach, których objętości części skalibrowanych sprawdzono przy pomocy rtęci. Otrzymano wynik, że zasadniczo wszystkie 7 próbek nadaje się do oznaczeń tłuszczu w mleku, gdyż 5 próbek dało prawie równo 100%-ową wydajność tłuszczu w butyrometrze, dwie zaś wydajność za dużą o niespełna 1%, co przy próbach w mleku jeszcze nie odbija się na wynikach, przy próbach zaś w maśle już daje się odczuć.

SUMMARY AND CONCLUSIONS.

Suitability of Polish Amyl-alcohols for Butyrometric Measurements.

In order to ascertain whether Polish commercial amyl-alcohols produce certain errors in creamery tests for milk fat content, — a possibility, in spite of negative blank tests, suggested by Herrington⁴), — seven samples of commercial amyl-alcohols were examined for specific gravity, boiling point, polarisation and refraction. It was found that only one sample boiled at 128°, the other six boiling at 126—127° (760 mm Hg).

Special careful tests based on weighed quantities of a fat of known specific gravity as well as on milk butyrometers previously tested with mercury showed that the 7 amyl samples examined may, successfully be used for butyrometric purposes, the yield of fat being always practically 100% in 5 samples of amyl-alcohol and about 101% in two samples. An error of 1% does not affect the readings on the graduated butyrometer necks, so that 5 of the samples could be used in the Gerber tests with absolute certainty; the other two samples were admissible for such purpose only in the case of determination of fat in the milk and not in the case of butter or cheese analyses.

Wiadomości bieżące

Nouvelles du jour

Hojny dar Związku Chemików Polskich. Pragnąc przyjść z pomocą uczącej się młodzieży szkół handlowych i gimnazjów kupieckich, Zarząd Główny Związku Chemików Polskich postanowił przeznaczyć dla najuboższych uczniów tych szkół zł. 1000.— w postaci wydawanych przez siebie podręczników „Towaroznawstwo”.

Odpowiednia ilość podręczników została już przekazana Dyrekcjom poszczególnych szkół zarówno stołecznych, jak i prowincjonalnych, celem wręczenia ich poszczególnym uczniom.

Niezależnie od powyższego Zarząd Główny Związku Chemików Polskich w najbliższych dniach przekaże pozostałym szkołom dodatkowo jeszcze pewną ilość podręczników.

Zjazd chemików niemieckich w Monachjum. W czasie od 7-go do 11-go lipca r. b. odbył się w Monachjum I-szy Zjazd nowoutworzonego Związku Chemików Niemieckich (*Bund Deutscher Chemiker*). Związek powyższy powstał z inicjatywy władz państwowych, jednocząc trzy najpoważniejsze zrzeszenia chemików w Niemczech: Towarzystwo Chemiczne im. Bunsena (t. z. *Deutsche Bunsen-Gesellschaft*), Zjednoczenie Chemików Niemieckich (*Verein Deutscher Chemiker*) oraz Niemieckie Towarzystwo Chemiczne (*Deutsche Chemische Gesellschaft*). Oprócz politycznego celu — związania chemików niemieckich z ruchem narodowo-socjalistycznym i poddaniu ich organizacyj kontroli władz, nowoutworzony związek postawił sobie zadanie odbudowy pierwszeństwa w świecie niemieckiego przemysłu chemicznego i niemieckiej myśli chemicznej, oraz zorganizowanie planowej pracy nadawczej w kierunku rozwiązywania zagadnień gospodarki państwowej żyjącej pod hasłem autarkji. Ciężar gatunkowy nowoutworzonego Związku wynika z faktu, że przemysł chemiczny jest w Niemczech przemysłem przodującym, dostarcza on państwu w obecnej ciężkiej sytuacji finansowej prawie połowę wszystkich dewiz, od niego też w pierwszym rządzie zależy rozwiązanie doniosłej sprawy surowców.

Znaczenie Zjazdu było podkreślone przez udział w otwarciu Zjazdu i w dalszych jego pracach delegatów rządu i wojskowości. Nowoutworzony Związek liczy około 10 000 członków, z których około 2 800 przybyło na Zjazd. Wygłoszono około 300 referatów, zawsze przy licznych udziałach słuchaczy. Specjalne zaciekawienie budziły prace związane z zagadnieniem samowystarczalności Niemiec.

W tej dziedzinie nabiera znaczenia chemia wysokocząsteczkowych ciał. Nic w tem dziwnego, jeśli się zważy, że jeszcze obecnie wartość sprowadzanych przez Niemcy z zagranicy ciał wysokocząsteczkowych (włókna, skóry, drzewo, kauczuk), wynosi około jednego miljarda RM rocznie, co przy szczupłości zapasu dewiz jest wielkim obciążeniem państwa. Teoretyczna strona zagadnienia ciał wysokocząsteczkowych została rozpatrzona w referatach prof. Staudingera, prof. Hessa i szeregu innych. Praktyczna część przedstawiona była w odczytach dr. Konrada o kauczuku syntetycznym, dr. Kränzleina i innych o masach plastycznych. Z referatu dr. Konrada dowiedzieliśmy się, że butadien (1, 3), będący podstawowym produktem niemieckiego kauczuku syntetycznego (*Buna*), otrzymuje się z acetyleny poprzez octaldehyd i butylenoglikol, że gatunki N i S *Buny*, przewyższające cennością swoich własności kauczuk naturalny, otrzymuje się na drodze polimeryzacji emulsji, tak samego butadienu (2, 3), jak i jego mieszanin z innymi polimeryzu-

jącymi lub spolimeryzowanymi ciałami. Polimeryzacja emulsji jest, jak się wydaje, nową ciekawą dziedziną poszukiwań, która w kierunku mas plastycznych i wysokocząsteczkowych ciał otwiera szeroką perspektywę.

Wystawa mas plastycznych i produktów z kauczuku syntetycznego, zorganizowana w Deutsches Museum, uwidoczniła rozwój tych dwóch dziedzin wytwórczości i obiecujące możliwości na przyszłość.

Obok próbek wyrobów z kauczuku syntetycznego oraz próbek t. zw. perdurenu „H”, „L” i „G”, namiastki gumowej (siarczkietylenowej), specjalnie odpornej na benzynę i olej, uwagę zwracały wyroby z octanu winylu (poliwirole), służące jako węże do benzyn i olejów (wrażliwe na wilgoć), szkło organiczne (*Plexiglas* — z pochodnych kwasu akrylowego), szkło trójwarstwowe (*Sigla, Perkalglas*) o grubości 22 mm, odporne na przebicie kuli 7,63 mm, wystrzelonej z odległości czterech kroków, oraz wyroby z produktów polimeryzacji styrolu, znajdujące coraz szersze zastosowanie w elektrotechnice.

Do zdobyczy niemieckiej pracy badawczej, ogłoszonych na Zjeździe, należy również wyprodukowanie aktywnej sadzy niemieckiej, która przy odpowiednio dobranych mieszankach wulkanizacyjnych daje gumę nie ustępującą gumie, zawierającej najlepszą aktywną sadzę amerykańską.

W niemieckim przemyśle tłuszczowym tendencja zastosowania do fabrykacji mydeł zamiast tłuszczów jadalnych innych tłuszczów mniej potrzebnych do żywienia ludności, doprowadziła do eksperymentalnego stwierdzenia, że ciała białkowe nadają się również doskonale jako dodatki do mydeł. Jest to zdobycz ważna, gdyż w Niemczech jest dużo ciał białkowych — odpadkowych. Prowadzone badania pozwoliły również wynaleźć nowy surowiec krajowego pochodzenia wypuszczony obecnie na rynek pod nazwą *Synourinöl*. Olej powyższy nadaje się specjalnie dla przemysłu lakierniczego dzięki swoim własnościom dawania specjalnych efektów lakierniczych.

Dr. H. Popp z Frankfurtu n. M. informował o specjalnej metodzie uszlachetniania tytoniu zapomocą nadtlenu wodoru, zaś prof. dr. W. Stopp z Monachjum poruszył ważną sprawę racjonalnego żywienia ludności, podkreślając konieczność opracowania wzoru chleba, któryby był bogatszy w witaminy.

Referent obrony przeciwgazowej w Ministerstwie Wojny Dr. Knipfer wygłosił odczyt o obronie przeciwgazowej, ilustrowany krótkim, doskonale ułożonym, filmem propagandowym. W referacie zostały podkreślone zagadnienia i pytania, specjalnie interesujące władze, a dotychczas nierozwiązane. Do nich należy pytanie, czy możnaby zmniejszyć palność drzewa przez odpowiednią zmianę warunków jego hodowli, zagadnienie znalezienia produktów do odkażania terenu zagazowanego, dających się dobrze magazynować, znalezienia prostych środków do wykrywania gazów, wyprodukowania odpowiednich tkanin do ubrań przeciwgazowych, poprawy filtrów w maskach, znalezienia sztucznych sposobów wytwarzania naturalnych mgieł etc.

Z dużej ilości ciekawych teoretycznych referatów zasługuje na podkreślenie główny temat sekcji nieorganicznej chemii o reakcjach w stanie stałym. Temat ten został szeroko rozwinięty w odczytach profesorów W. Jandera, G. F. Hüttinga, G. Massinga i W. Eitela.

Cykl referatów na Zjeździe został zakończony pięknym odczytem prof. dr. P. Waldema na temat *Alte Weisheit und neues Wissen*. Zgodnie z programem Zjazdu odbyły się dla uczestników Zjazdu wycieczki po Bawarii, przedstawienie w Teatrze Narodowym w Monachjum, oraz szereg zebrań towarzyskich.

Szukiewicz.